

بِسْمِ اللَّهِ الرَّحْمَنِ الرَّحِيمِ





دانشکده مهندسی مکانیک

گروه طراحی کاربردی

پایان نامه کارشناسی ارشد

تحلیل ترمولاستیک کره های چرخان جدار ضخیم FGM پیزوالکتریک

به کمک نظریه‌ی الاستیسیته‌ی مستوی با توزیع توانی خواص

فoad سواری

استاد راهنما:

دکتر مهدی قناد کهتویی

بهمن ۱۳۹۳





شماره:

تاریخ:

ویرایش:

با اسمه تعالی

مدیریت تحصیلات تکمیلی

فرم شماره (۶)

### فرم صورت جلسه دفاع از پایان نامه تحصیلی دوره کارشناسی ارشد

با تأییدات خداوند متعال و با استعانت از حضرت ولی عصر (عج) نتیجه ارزیابی جلسه دفاع از پایان نامه کارشناسی ارشد آقای ..فؤاد سواری..... رشته .....مهندسی مکانیک..... گرایش طراحی کاربردی..... تحت عنوان تحلیل ترمومالاستیک کره های چرخان جدار ضخیم FGM پیزوالکتریک به کمک نظریه‌ی الاستیسیته‌ی مستوی با توزیع توانی خواص.. که در تاریخ ۹۳/۱۱/۲۹... با حضور هیأت محترم داوران در دانشگاه صنعتی شاهرود برگزار گردید به شرح ذیل اعلام می‌گردد:

<input type="checkbox"/> مردود	<input checked="" type="checkbox"/> دفاع مجدد	قبول (با درجه : <b>۱۷.۶۲</b> - امتیاز <b>۷</b> )
حذفه نظر داده شده		
۱- عالی (۲۰ - ۱۹)		۲- بسیار خوب (۱۸ - ۱۷/۹۹)
۳- خوب (۱۷/۹۹ - ۱۶)		۴- قابل قبول (۱۵/۹۹ - ۱۴)
۵- نمره کمتر از ۱۴ غیر قابل قبول		

امضاء	مرتبه علمی	نام و نام خانوادگی	عضو هیأت داوران
		دکتر مهدی قناد کهتویی	۱- استادراهنما
		-	۲- استاد مشاور
		دکتر حبیب احمدی	۳- نماینده شورای تحصیلات تکمیلی
		دکتر حمیدرضا ایپکچی	۴- استاد ممتحن
	استاد	دکتر محمد جعفری	۵- استاد ممتحن

امضاء **۶** رئیس دانشکده:**دکتر سروان**

## تشکر و قدردانی

سپاس خدای را که دریای بیکران علم و رحمت است. آفریدگار بینیازی که به انسان قدرت تفکر و اندیشیدن و توانایی مهر ورزیدن ارزانی داشت. در این قسمت لازم است از خدمات کلیه‌ی افرادی که در رساندن من به این مرحله تلاش نموده‌اند تشکر نمایم. بیش از همه از پدر، مادر و سایر اعضای خانواده‌ام که همواره مشوق من بوده‌اند و بستر رشد و پیشرفت مرا فراهم نموده‌اند تشکر می‌نمایم. از استاد راهنماییم جناب آقای دکتر قناد و اساتید گرانقدر دانشکده سپاسگزارم. قطعاً اینجانب با راهنمایی‌های ایشان در این زمینه توانسته‌ام گام بردارم. در انتهای از کلیه‌ی دوستان به ویژه جناب آقای مهندس پرهیزکار یعقوبی سپاسگزارم که در این مدت کمک‌های شایانی به اینجانب داشته‌اند.

فoad سواری

دانشجوی کارشناسی ارشد طراحی کاربردی

دانشکده‌ی مهندسی مکانیک، دانشگاه صنعتی شاهروود

۱۳۹۳ بهمن

## تعهدنامه

اینجانب فواد سواری دانشجوی دوره‌ی کارشناسی ارشد رشته‌ی مهندسی مکانیک-گرایش طراحی کاربردی دانشکده‌ی مهندسی مکانیک دانشگاه صنعتی شاهرود نویسنده‌ی پایان‌نامه‌ی تحلیل ترمولاستیک کره‌های چرخان جدار ضخیم FGM پیزوالکترویک به کمک نظریه‌ی الاستیسیتیه مستوی با توزیع توانی خواص، تحت راهنمایی دکتر مهدی قناد کهتویی متعهد می‌شوم.

- تحقیقات در این پایان‌نامه توسط اینجانب انجام شده است و از صحت و اصالت برخوردار است.
- در استفاده از نتایج پژوهش‌های محققان دیگر به مرجع مورد استفاده استناد شده است.
- مطالب مندرج در پایان‌نامه تاکنون توسط خود یا فرد دیگری برای دریافت هیچ نوع مدرک یا امتیازی در هیچ جا ارائه نشده است.
- کلیه حقوق معنوی این اثر متعلق به دانشگاه صنعتی شاهرود می‌باشد و مقالات مستخرج با نام «دانشگاه صنعتی شاهرود» و یا «Shahrood University of Technology» به چاپ خواهد رسید.
- حقوق معنوی تمام افرادی که در به دست آمدن نتایج اصلی پایان‌نامه تأثیرگذار بوده‌اند در مقالات مستخرج از پایان‌نامه رعایت می‌گردد.
- در کلیه مراحل انجام این پایان‌نامه، در مواردی که از موجود زنده (یا بافت‌های آن‌ها) استفاده شده است ضوابط و اصول اخلاقی رعایت شده است.
- در کلیه مراحل انجام این پایان‌نامه، در مواردی که به حوزه‌ی اطلاعات شخصی افراد دسترسی یافته یا استفاده شده است اصل رازداری، ضوابط و اصول اخلاق انسانی رعایت شده است.

### تاریخ امضای دانشجو

## مالکیت نتایج و حق نشر

- کلیه حقوق معنوی این اثر و محصولات آن (مقالات مستخرج، کتاب، برنامه‌های رایانه‌ای، نرم‌افزارها و تجهیزات ساخته شده) متعلق به دانشگاه صنعتی شاهرود می‌باشد. این مطلب باید به نحو مقتضی در تولیدات علمی مربوطه ذکر شود.
- استفاده از اطلاعات و نتایج موجود در پایان‌نامه بدون ذکر مرجع مجاز نمی‌باشد.

## چکیده

در این پژوهش با استفاده از نظریه‌ی الاستیسیته‌ی مستوی به استخراج معادلات حاکم بر پوسته‌ی کروی جدارضخیم ناهمگن پیزوالکتریک که تحت بار حرارتی، الکتریکی و مکانیکی قرار دارد، پرداخته می‌شود. خواص مواد به صورت توانی در راستای شعاعی تغییر می‌کند همچنین توزیع دما به صورت تابعی از شعاع در نظر گرفته شده است. نتایج برای بارگذاری حرارتی، الکتریکی، مکانیکی و الکتروترمو مکانیکی با شرایط مرزی متفاوت استخراج می‌گردد و با نتایج به دست آمده از روش اجزای محدود مورد مقایسه قرار می‌گیرد. دو روش تحلیلی و عددی در شرایط بارگذاری فشاری، الکتریکی و دمایی با یکدیگر مقایسه شده است که تطبیق مناسبی میان دو روش فوق مشاهده شده است. بررسی نتایج حاکی از آن است که ثابت ناهمگنی، تأثیر بسزایی در توزیع تنش‌ها و جابه‌جایی برای ماده‌ی مورد مطالعه دارد. همچنین با استفاده از اثر ناهمگنی مواد می‌توان رفتار حرارتی، الکتریکی و مکانیکی جسم را تغییر داد و اثرات بارگذاری را بر آن کمتر کرد.

**واژگان کلیدی:** کره‌ی جدارضخیم، ماده‌ی ناهمگن پیزوالکتریک (FGPM)، نظریه‌ی الاستیسیته‌ی مستوی (PET)، روش اجزای محدود (FEM)، کره‌ی چرخان.

# مطالب

۱	فصل ۱
۲	۱-۱ مقدمه
۳	۲-۱ دسته‌بندی پوسته‌ها
۴	۱-۲-۱ دیدگاه هندسی
۵	۲-۲-۱ دیدگاه مادی
۶	۳-۲-۱ دیدگاه رفتاری
۷	۳-۱ تئوری‌های ارائه شده برای پوسته‌ها
۸	۱-۳-۱ تئوری پوسته‌های نازک
۹	۲-۳-۱ تئوری پوسته‌های ضخیم
۱۰	۴-۱ مقدمه‌ای بر مواد
۱۱	۱-۴-۱ مواد پیزوالکتریک
۱۲	۲-۴-۱ مواد FG
۱۳	۵-۱ کاربرد پوسته‌های کروی
۱۴	۶-۱ نگاهی بر مطالعات گذشته
۱۵	۷-۱ معرفی پایان‌نامه‌ی حاضر
۱۶	۲۵ فصل ۲
۱۷	۱-۲ مقدمه
۱۸	۲-۲ روابط اساسی در دستگاه مختصات کروی

۲۷.....	۱-۲-۲ روابط تعادل
۲۸.....	۲-۲-۲ روابط سینماتیک
۲۹.....	۳-۲-۲ روابط ساختاری
۳۰.....	۴-۲-۲ رابطه‌ی انتقال حرارت هدایتی
۳۱.....	۳-۲ تحلیل ریاضی مسئله
۳۱.....	۱-۳-۲ فرضیات حاکم
۳۲.....	۴-۲ ساده سازی روابط
۳۲.....	۱-۴-۲ روابط سینماتیک
۳۳.....	۲-۴-۲ روابط ساختاری
۳۳.....	۳-۴-۲ روابط تعادل و بارخطی الکترواستاتیک
۳۴.....	۵-۵ ناهمگنی خواص
۳۸.....	۶-۲ استخراج روابط
۳۹.....	۱-۶-۲ حل رابطه‌ی ناویر
۴۵.....	فصل ۳
۴۶.....	۱-۳ مقدمه
۴۶.....	۲-۳ تحلیل اجزای محدود کره‌ی پیزو الکتریک در ANSYS
۴۶.....	۱-۲-۳ مدل‌سازی مواد ناهمگن
۴۷.....	۲-۲-۳ انتخاب المان و شبکه‌بندی مسئله
۴۹.....	۳-۳ تحلیل الاستیک کره‌های FGPM

۵۲	۱-۳-۳ مطالعه‌ی عددی
۵۳	۲-۳-۳ بررسی اثر ثابت ناهمگنی
۶۰	۳-۳-۳ بررسی اثر بارگذاری
۶۵	۴-۳ تحلیل کره‌های چرخان
۶۶	۱-۴-۳ مطالعه‌ی عددی
۷۵	فصل ۴
۷۶	۱-۴ مقدمه
۷۶	۲-۴ تحلیل اجزای محدود الکتروترمو مکانیکی در ANSYS
۷۷	۳-۴ مطالعه‌ی عددی الکتروترمو مکانیک کره‌ی FGPM
۷۸	۱-۳-۴ بررسی اثر ثابت ناهمگنی
۸۲	۲-۳-۴ بررسی اثر بارگذاری
۸۸	۴-۴ مطالعه‌ی عددی الکتروترمو مکانیک کره‌ی FGPM
۸۸	۱-۴-۴ بررسی اثر ثابت ناهمگنی
۹۴	۲-۴-۴ بررسی اثر بارگذاری
۱۰۱	فصل ۵
۱۰۲	۱-۵ مقدمه
۱۰۲	۲-۵ نتیجه‌گیری
۱۰۴	۳-۵ پیشنهادها
۱۰۵	مراجع

# شکل‌ها

..... شکل ۱-۱ دیسک پیزوالکتریک تغییر شکل یافته	۱۲
..... شکل ۲-۱ نمای برش طولی استخوان	۱۵
..... شکل ۳-۱ تغییرات خواص در مواد مختلف	۱۶
..... شکل ۴-۱ زمین به عنوان یک کره‌ی دور	۱۸
..... شکل ۵-۱ کاربرد کره در صنایع نفت و گاز و پتروشیمی	۱۸
..... شکل ۱-۲ دستگاه مختصات کروی راستگرد	۲۶
..... شکل ۱-۳ مدل‌سازی مقطع کره‌ی چرخان تحت بارگذاری الکتروترموگرانیکی	۴۸
..... شکل ۲-۳ نمودار همگرایی تحلیل المان محدود	۴۸
..... شکل ۳-۳ مقطع عرضی کره‌ی جدارضخیم تحت بارگذاری مکانیکی	۴۹
..... شکل ۴-۳ توزیع تنش شعاعی در امتداد جداره‌ی ضخامت کره	۵۴
..... شکل ۵-۳ توزیع تنش محیطی در امتداد جداره‌ی ضخامت کره	۵۴
..... شکل ۶-۳ توزیع جابه‌جایی شعاعی در امتداد ضخامت جداره‌ی کره پیزوالکتریک	۵۵
..... شکل ۷-۳ توزیع پتانسیل الکتریکی در امتداد جداره‌ی ضخامت کره	۵۶
..... شکل ۸-۳ توزیع تنش مؤثر در امتداد جداره‌ی ضخامت کره	۵۷
..... شکل ۹-۳ توزیع تنش شعاعی در امتداد جداره‌ی ضخامت کره	۶۰
..... شکل ۱۰-۳ توزیع تنش محیطی در امتداد جداره‌ی ضخامت کره	۶۱
..... شکل ۱۱-۳ شکل ۹-۳ توزیع جابه‌جایی شعاعی در امتداد جداره‌ی ضخامت کره	۶۲
..... شکل ۱۲-۳ شکل ۱۰-۳ توزیع پتانسیل الکتریکی در امتداد جداره‌ی ضخامت کره	۶۲
..... شکل ۱۳-۳ مختصات کروی	۶۶
..... شکل ۱۴-۳ توزیع تنش شعاعی در امتداد ضخامت جداره‌ی کره برای $\theta = 0$	۶۷

..... شکل ۳-۱۵ توزیع تنش محیطی در امتداد ضخامت جداره‌ی کره برای $\theta=0$	۶۷
..... شکل ۳-۱۶ توزیع تنش نصفالنهاری در امتداد ضخامت جداره‌ی کره برای $\theta=0$	۶۸
..... شکل ۳-۱۷ توزیع جابه‌جایی شعاعی در امتداد ضخامت جداره‌ی کره برای $\theta=0$	۶۹
..... شکل ۳-۱۸ شکل ۳-۱۶ توزیع تنش مؤثر در امتداد ضخامت جداره‌ی کره برای $\theta=0$	۶۹
..... شکل ۳-۱۹ توزیع پتانسیل الکتریکی در امتداد ضخامت جداره‌ی کره برای $\theta=0$	۷۰
..... شکل ۳-۲۰ توزیع تنش شعاعی در امتداد ضخامت جداره‌ی کره برای $\theta=\frac{\pi}{2}$	۷۱
..... شکل ۳-۲۱ توزیع تنش محیطی در امتداد ضخامت جداره‌ی کره برای $\theta=\frac{\pi}{2}$	۷۱
..... شکل ۳-۲۲ توزیع تنش نصفالنهاری در امتداد ضخامت جداره‌ی کره برای $\theta=\frac{\pi}{2}$	۷۲
..... شکل ۳-۲۳ توزیع جابه‌جایی شعاعی در امتداد ضخامت جداره‌ی کره برای $\theta=\frac{\pi}{2}$	۷۲
..... شکل ۳-۲۴ توزیع تنش مؤثر در امتداد ضخامت جداره‌ی کره برای $\theta=\frac{\pi}{2}$	۷۳
..... شکل ۳-۲۵ توزیع پتانسیل الکتریکی در امتداد ضخامت جداره‌ی کره برای $\theta=\frac{\pi}{2}$	۷۳
..... شکل ۴-۱ توزیع تنش شعاعی در امتداد جداره‌ی ضخامت کره	۷۸
..... شکل ۴-۲ توزیع تنش محیطی در امتداد جداره‌ی ضخامت کره	۷۹
..... شکل ۴-۳ توزیع جابه‌جایی شعاعی در امتداد جداره‌ی ضخامت کره	۷۹
..... شکل ۴-۴ توزیع تنش مؤثر در امتداد جداره‌ی ضخامت کره	۸۰
..... شکل ۴-۵ توزیع پتانسیل الکتریکی در امتداد جداره‌ی ضخامت کره	۸۰
..... شکل ۴-۶ توزیع تنش شعاعی در امتداد جداره‌ی ضخامت کره	۸۳
..... شکل ۴-۷ توزیع تنش محیطی در امتداد جداره‌ی ضخامت کره	۸۴
..... شکل ۴-۸ توزیع جابه‌جایی شعاعی در امتداد جداره‌ی ضخامت کره	۸۴
..... شکل ۴-۹ توزیع تنش مؤثر در امتداد جداره‌ی ضخامت کره	۸۵
..... شکل ۴-۱۰ توزیع پتانسیل الکتریکی در امتداد جداره‌ی ضخامت کره	۸۵
..... شکل ۴-۱۱ توزیع تنش شعاعی در امتداد جداره‌ی ضخامت کره	۸۹

..... ۹۰	شکل ۱۲-۴ توزیع تنش محیطی در امتداد جداره‌ی ضخامت کره
..... ۹۰	شکل ۱۳-۴ توزیع تنش مؤثر در امتداد جداره‌ی ضخامت کره
..... ۹۱	شکل ۱۴-۴ توزیع جابه‌جایی شعاعی در امتداد جداره‌ی ضخامت کره
..... ۹۱	شکل ۱۵-۴ توزیع میدان دمایی در امتداد جداره‌ی ضخامت کره
..... ۹۲	شکل ۱۶-۴ توزیع پتانسیل الکتریکی در امتداد جداره‌ی ضخامت کره
..... ۹۵	شکل ۱۷-۴ توزیع تنش شعاعی در امتداد جداره‌ی ضخامت کره
..... ۹۵	شکل ۱۸-۴ توزیع تنش محیطی در امتداد جداره‌ی ضخامت کره
..... ۹۶	شکل ۱۹-۴ توزیع تنش مؤثر در امتداد جداره‌ی ضخامت کره
..... ۹۶	شکل ۲۰-۴ توزیع میدان جابه‌جایی شعاعی در امتداد جداره‌ی ضخامت کره
..... ۹۷	شکل ۲۱-۴ توزیع پتانسیل الکتریکی در امتداد جداره‌ی ضخامت کره
..... ۹۷	شکل ۲۲-۴ توزیع میدان دمایی در امتداد جداره‌ی ضخامت کره

# جداول

جدول ۱-۳ خواص مکانیکی، الکتریکی و حرارتی کره ..... ۵۳
جدول ۲-۳ نتایج میدان جابه‌جایی شعاعی برای کره تحت فشار داخلی ..... ۵۸
جدول ۳-۳ نتایج توزیع تنش شعاعی برای کره تحت فشار داخلی ..... ۵۹
جدول ۴-۳ نتایج توزیع تنش محیطی برای کره تحت فشار داخلی ..... ۵۹
جدول ۵-۳ نتایج تنش شعاعی برای کره تحت بارگذاری‌های مختلف در $n=0$ ..... ۶۳
جدول ۶-۳ نتایج تنش محیطی برای کره تحت بارگذاری‌های مختلف در $n=0$ ..... ۶۴
جدول ۷-۳ جابه‌جایی شعاعی برای کره تحت بارگذاری‌های مختلف در $n=0$ ..... ۶۴
جدول ۸-۳ نتایج پتانسیل الکتریکی برای کره تحت بارگذاری‌های مختلف در $n=0$ ..... ۶۵
جدول ۱-۴ نتایج تنش محیطی برای کره تحت فشار داخلی و پتانسیل الکتریکی ..... ۸۱
جدول ۲-۴ نتایج تنش موثر برای کره تحت فشار داخلی و پتانسیل الکتریکی ..... ۸۱
جدول ۳-۴ نتایج جابه‌جایی شعاعی برای کره تحت فشار داخلی و پتانسیل الکتریکی ..... ۸۲
جدول ۴-۴ نتایج توزیع پتانسیل الکتریکی برای کره تحت فشار داخلی و پتانسیل الکتریکی ..... ۸۲
جدول ۵-۴ نتایج تنش شعاعی برای کره تحت فشار داخلی و پتانسیل الکتریکی ..... ۸۶
جدول ۶-۴ نتایج توزیع تنش محیطی برای کره تحت فشار داخلی و پتانسیل الکتریکی ..... ۸۷
جدول ۷-۴ نتایج جابه‌جایی شعاعی برای کره تحت فشار داخلی و پتانسیل الکتریکی ..... ۸۷
جدول ۸-۴ نتایج توزیع پتانسیل الکتریکی برای کره تحت فشار داخلی و پتانسیل الکتریکی ..... ۸۸
جدول ۹-۴ نتایج تنش شعاعی برای کره تحت بارگذاری حرارتی ..... ۹۳
جدول ۱۰-۴ نتایج جابه‌جایی شعاعی برای کره تحت بارگذاری حرارتی ..... ۹۴
جدول ۱۱-۴ نتایج میدان دما برای کره تحت بارگذاری حرارتی ..... ۹۴
جدول ۱۲-۴ نتایج توزیع تنش شعاعی برای کره تحت بارگذاری حرارتی ..... ۹۹

جدول ۱۳-۴ نتایج میدان جابه‌جایی شعاعی برای کره‌ی تحت بارگذاری حرارتی

جدول ۱۴-۴ نتایج میدان دمایی برای کره‌ی تحت بارگذاری حرارتی

# علائم

فاصله‌ی هر نقطه از پوسته تا محور تقارن	$R$
نسبت شعاع به شعاع داخلی در کره	$r$
شعاع داخلی کره	$R_i$
شعاع خارجی کره	$R_o$
مؤلفه‌های بردار جابه‌جایی	$u_i$
مؤلفه‌های تانسور تنش	$\sigma_{ij}$
مؤلفه‌های تانسور کرنش	$\varepsilon_{ij}$
مؤلفه‌های نیروهای حجمی مکانیکی	$F_i$
مؤلفه‌های بردار شبه ایستای میدان الکتریکی	$E_i$
مؤلفه‌های بردار جابه‌جایی الکتریکی	$D_i$
ثابت ناهمگنی خاصیت	$n$
سرعت دورانی ثابت	$\omega$
پتانسیل الکتریکی	$\psi$
مختصه‌ی نصف النهاری کره	$\theta$
مختصه‌ی محیطی کره	$\phi$
ضریب هدایت حرارتی ماده	$K$
نسبت شعاع خارجی به شعاع داخلی در کره	$k$
چگالی	$\rho$
دماهی ثابت مثبت مرجع	$\theta^*$
تغییرات دماهی از دماهی ثابت مثبت مرجع	$\Theta$
ثوابت معادله‌ی انتقال حرارت	$C_1, C_2$
ثوابت معادله‌ی توزیع پتانسیل الکتریکی در جسم	$S_1, S_2$
ثوابت الاستیک	$c_{ij}$
ثوابت پیزوالکتریک-تنش	$e_{ij}$
ثوابت دیالکتریک	$\epsilon_{ij}$

ف

ثوابت انبساط حرارتی	$\alpha_i$
خاصیت ماده در لایه‌ی داخلی کره	$M_i$
ثوابت الاستیک در شعاع داخلی کره	$c^0_{11}, c^0_{12}$ $c^0_{22}, c^0_{23}$
ثوابت ناهمگنی مربوط به ثوابت الاستیک	$n_1, n_2$ $n_3, n_4$
ثوابت پیزوالکتریک-تنش در شعاع داخلی کره	$e^0_{11}, e^0_{12}$
ثوابت ناهمگنی مربوط به ثوابت پیزوالکتریک-تنش	$n_5, n_6$
ثوابت تنش حرارتی-دما در شعاع داخلی کره	$\lambda^0_{11}, \lambda^0_{22}$
ثوابت ناهمگنی مربوط به ثوابت تنش حرارتی-دما	$n_7, n_8$
ثابت دیالکتریک در شعاع داخلی کره	$\epsilon^0_{11}$
ثابت ناهمگنی مربوط به ثوابت دیالکتریک	$n_9$
ضریب هدایت حرارتی در شعاع داخلی کره	$K^0$
ثابت ناهمگنی مربوط به ضریب هدایت حرارتی	$n_{10}$
چگالی در شعاع داخلی کره	$\rho^0$
ثابت ناهمگنی مربوط به چگالی	$n_{11}$
تنش‌های نرمال در مختصات کروی	$\sigma_r, \sigma_\theta, \sigma_\phi$
تنش‌های برشی در مختصات کروی	$\tau_{r\theta}, \tau_{r\phi}, \tau_{\theta\phi}$
کرنش‌های نرمال در مختصات کروی	$\varepsilon_r, \varepsilon_\theta, \varepsilon_\phi$
کرنش‌های برشی در مختصات کروی	$\gamma_{r\theta}, \gamma_{r\phi}, \gamma_{\theta\phi}$
مؤلفه‌های بردار میدان الکتریکی در مختصات کروی	$E_r, E_\theta, E_\phi$
مؤلفه‌های بردار جابه‌جایی الکتریکی در مختصات کروی	$D_r, D_\theta, D_\phi$
Jabehjaiyi شعاعی بی‌بعد	$u_r$
Jabehjaiyi محیطی	$u_\phi$
فشار داخلی	$p_i$
فشار خارجی	$p_o$

## فصل ۱

### مقدمه

## پیش‌گفتار

آنچه در این فصل می‌خوانیم:

۱- مقدمه‌ای بر پوسته‌ها؛

۲- دسته‌بندی پوسته‌ها؛

۳- تئوری‌های ارائه شده برای پوسته‌ها؛

۴- مقدمه‌ای بر مواد؛

۵- نگاهی بر مطالعات گذشته؛

۶- معرفی پایان‌نامه‌ی حاضر.

در این فصل ابتدا شرحی مختصر بر پوسته‌ها بیان می‌گردد و سپس با دسته‌بندی پوسته‌ها مروری گذرا به تئوری‌هایی که تا کنون برای تحلیل پوسته‌ها ارائه شده است انجام می‌شود. در ادامه کاربردهای پوسته‌ها از جمله پوسته‌های کروی در زمینه‌های مختلف ارائه شده و در گام بعدی به معرفی مواد ناهمگن یا FGM و پیزوالکتریک همچنین تعریف مبانی رفتاری مواد ناهمگن و پیزوالکتریک پرداخته می‌شود. در بخش پنجم، پژوهش‌های گذشته که در راستای این مطالعه قرار داشته‌اند، مورد بررسی قرار می‌گیرد. در انتهای با مشخص نمودن اهداف کلی این تحقیق، روش مطالعه و نوآوری‌های آن معرفی می‌شوند.

### ۱-۱ مقدمه

پوسته‌ها<sup>۱</sup> به طور کلی، سازه‌های خمیده هستند که از لحاظ رفتاری در برابر نیروها و لنگرهای وارد شده از مطلوبیت ویژه‌ای برخوردار هستند. مطالعه‌ی این رفتارها از گذشته‌ی نه چندان دور تا به امروز مورد توجه دانشمندان زیادی قرار گرفته و به دلیل فراوانی کاربرد همچنان ادامه دارد. نمونه‌های زیادی از این دسته سازه‌ها نظیر سقف‌های گنبدی شکل، تانکرها، مخازن نگه‌داری سیال، راکتورهای

1. Shells

اتمی، پرتابه‌ها، موشک‌ها و ... در سیستم‌های مصنوعی و ساخته شده توسط بشر یافت می‌شود. همچنین از جمله پوسته‌های آشنا در سیستم‌های طبیعی عبارتنداز: حباب صابون، جمجه، صدف، لاک، استخوانها و ... که این نمونه‌ها، تنها تعداد محدودی از کاربرد وسیع پوسته‌ها می‌باشند. موارد زیر را می‌توان به عنوان دلایل استفاده پرکاربرد سازه‌های پوسته‌ای برشمرد [۱].

۱- بازده بالای رفتاری در برابر تحمل بار

۲- بالا بودن درجه مقاومت ذخیره شده و یکپارچگی سازه

۳- نسبت مقاومت به وزن بالا

۴- سفتی بسیار بالا

۵- مهار فضا

از میان انواع پوسته‌ها ، پوسته‌های کروی اهمیت ویژه‌ای دارند و پژوهشگران به دنبال اعمال تغییرات بر روی جداره و ماده‌ی این دسته از پوسته‌ها بوده‌اند تا بتوانند مقاومت آن‌ها را در برابر بارگذاری‌ها افزایش و وزن آن‌ها را کاهش دهند.

## ۱-۲ دسته‌بندی پوسته‌ها

در این بخش، پوسته‌ها را از دیدگاه هندسی، مادی و رفتاری دسته‌بندی می‌کنیم.

### ۱-۱ دیدگاه هندسی

پوسته‌ی حاصل از انتقال<sup>۱</sup>(شامل ورق‌ها و...): از انتقال یک منحنی یا سطح مادی در امتداد خط راست خارج از صفحه‌ی قوس، حاصل می‌شود.

پوسته‌ی حاصل از دوران<sup>۲</sup>(شامل استوانه، کره‌ها و ...): از دوران یک منحنی یا سطح مادی حول محور واقع در صفحه‌ی قوس، حاصل می‌شود.

---

1. Shell of Translation  
2. Shell of Revolution

پوسته‌ی جدار نازک<sup>۱</sup>: پوسته‌ای که نسبت ضخامت به شعاع انحنای سطح میانی آن کوچکتر از  $\frac{1}{20}$  باشد.

پوسته‌ی جدار ضخیم<sup>۲</sup>: پوسته‌ای که نسبت ضخامت به شعاع انحنای سطح میانی آن بزرگتر از  $\frac{1}{20}$  باشد.

### ۲-۲-۱ دیدگاه مادی

پوسته‌های همگن<sup>۳</sup>: در این نوع پوسته‌ها خواص مکانیکی ماده‌ی پوسته در نقاط مختلف جسم یکسان است و تابع موقعیت نقاط نمی‌باشد.

پوسته‌های ناهمگن<sup>۴</sup>: در این نوع پوسته‌ها خواص مکانیکی ماده‌ی پوسته در نقاط مختلف جسم یکسان نیست و تابع موقعیت نقاط می‌باشد.

پوسته‌های همسانگرد<sup>۵</sup>: در این نوع پوسته‌ها خواص مکانیکی ماده‌ی پوسته در جهات مربوط به هر نقطه، یکسان است.

پوسته‌های ناهمسانگرد<sup>۶</sup>: در این نوع پوسته‌ها خواص مکانیکی ماده‌ی پوسته در جهات مربوط به هر نقطه، یکسان نیست.

### ۲-۳-۱ دیدگاه رفتاری

پوسته با تغییر شکل‌های کوچک<sup>۷</sup>: جایه‌جایی هر نقطه از پوسته بین شرایط بارگذاری و باربرداری کوچک است، (رفتار خطی از نظر هندسی).

پوسته با تغییر شکل‌های بزرگ<sup>۸</sup>: جایه‌جایی هر نقطه از پوسته بین شرایط بارگذاری و باربرداری

- 
1. Thin Shell
  2. Thick Shell
  3. Homogeneous Shell
  4. Inhomogeneous Shell
  5. Isotropic Shell
  6. Anisotropic Shell
  7. Small Deflection
  8. Large Deflection

کوچک نیست، (رفتار غیر خطی از نظر هندسی).

پوسته با رفتار کشسان<sup>۱</sup> خطی: تغییر شکل‌ها بازگشت پذیرند و روابط تنش-کرنش از قانون عمومی هوک پیروی می‌کنند، (رفتار خطی از نظر مادّی).  
پوسته با رفتار موسمان<sup>۲</sup>: تغییر شکل‌ها بازگشت ناپذیرند و روابط تنش-کرنش از قانون عمومی هوک پیروی نمی‌کنند، (رفتار غیر خطی از نظر مادّی).

### ۱-۳ تئوری‌های ارائه شده برای پوسته‌ها

روش‌های تحلیلی تقریبی موجود برای تحلیل پوسته‌ها بر اساس فرضیاتی است که تئوری پوسته‌ها را تشکیل می‌دهند. تاکنون چندین تئوری برای تحلیل پوسته‌ها ارائه شده است. که می‌توان به صورت زیر تقسیم کرد:

#### ۱-۳-۱ تئوری پوسته‌های نازک

تئوری‌های این پوسته‌ها بر مبنای تئوری الاستیسیته‌ی دو بعدی بنا شده است. به طور کلی به دلیل کوچک بودن یک بعد نسبت به ابعاد دیگر، تئوری الاستیسیته‌ی سه بعدی استفاده نمی‌شود؛ و با ساده‌سازی روابط الاستیسیته، روش‌های تحلیلی تقریبی برای تحلیل این پوسته‌ها به دست می‌آید. دقیق نتایج تئوری‌های ارائه شده بستگی به درجه‌ی ساده‌سازی روابط الاستیسیته دارد. اولین فرضیات را کیرشهف<sup>۳</sup> (۱۸۵۰) درباره‌ی ورق‌ها ارائه کرد که پس از آن در بسط تئوری پوسته‌ها به کار گرفته شد. آرون<sup>۴</sup> (۱۸۷۴) تئوری پوسته‌ها را مبنی بر فرضیات کیرشهف معرفی کرد. لاو<sup>۵</sup> (۱۸۸۸) معادلات عمومی پوسته‌های نازک را ارائه کرد که اکنون به عنوان تئوری کلاسیک پوسته‌های نازک یا تئوری لاو-کیرشهف مشهور است. ریسنر<sup>۶</sup> (۱۹۱۲) با استفاده از فرضیات لاو تحلیل پوسته‌های حاصل از

- 
1. Elastic Behavior
  2. Plastic Behavior
  3. Kirchhoff
  4. Aron
  5. Love
  6. Reissner

دوران متقارن محوری<sup>۱</sup> را ارائه نمود. فلوگه<sup>۲</sup> (۱۹۳۲) تئوری پوسته‌ها با تقریب مرتبه‌ی دو را با لحاظ کردن خیزهای کوچک ارائه کرد که این معادلات به عنوان معادلات استاندارد پوسته‌های نازک شناخته می‌شوند و فقط در حالت‌های خاص قابل حل می‌باشند. بیرنه<sup>۳</sup> (۱۹۴۴) نظریات فلوگه را تکمیل کرد. با ساده‌سازی معادلات فلوگه تئوری پوسته‌ها با تقریب مرتبه‌ی صفر و یک حاصل می‌شود. نقدی (۱۹۵۷) تئوری غیرخطی پوسته‌های نازک را فرمول‌بندی کرد که به کارگیری آنها مشکل می‌باشد. سندرز<sup>۴</sup> (۱۹۵۹) به فرمول‌بندی پوسته‌ها با استفاده از اصل کار مجازی پرداخت و نووزیلف<sup>۵</sup> (۱۹۶۴) امکان ارائه‌ی نظریه‌ی پوسته‌ها را به شکل مختلط نشان داد و به‌این ترتیب معادلات به صورت فشرده‌تری نوشته شدند.

تئوری عمومی پوسته‌های نازک را می‌توان به‌این‌گونه تقسیم‌بندی کرد:

- ۱- تئوری با تقریب مرتبه‌ی صفر (تئوری غشایی): پوسته‌هایی که سختی خمشی خیلی کمی دارند و از نظر فیزیکی قادر به تحمل لنگرهای خمشی نیستند، با این تئوری تحلیل می‌شوند؛
- ۲- تئوری با تقریب مرتبه‌ی یک (تئوری خمشی): پوسته‌هایی که سختی خمشی قابل توجهی داشته باشند و از نظر فیزیکی قادر به تحمل لنگرهای خمشی هستند، با این تئوری تحلیل می‌شوند.

### الف) تئوری غشایی

پوسته‌هایی که سختی خمشی آنها خیلی کم است و از نظر فیزیکی نمی‌توانند لنگرهای خمشی را تحمل کنند، با این تئوری تحلیل می‌شوند. میدان نیروهای داخلی در اغلب پوسته‌های نازک، عمدتاً از نیروهای غشایی تشکیل می‌شود و از این جهت نیروهای غشایی برای تأمین تعادل ایستایی پوسته کافی هستند و به عبارتی دیگر پوسته از نظر ایستایی معین است. در تئوری غشایی، جابه‌جایی پوسته

1. Axisymmetric Shell of Revolution
2. Flugge
3. Byrne
4. Sanders
5. Novozhilov

با جابه‌جایی سطح میانی توصیف و مسائل در حالت تنش صفحه‌ای<sup>۱</sup> و کرنش صفحه‌ای<sup>۲</sup> با چشم‌پوشی از تنش عمودی و کرنش عمودی در راستای شعاعی، تحلیل می‌شوند [۲].

### ب) تئوری خمشی

ورق<sup>۳</sup> از دیدگاه مکانیکی، یک تیر<sup>۴</sup> دو بعدی است که علاوه بر نیروهای محوری، نیروهای برشی و لنگرهای خمشی را نیز می‌تواند تحمل کند. پوسته‌هایی که سختی خمشی آنها قابل توجه باشند و از نظر فیزیکی بتوانند لنگرهای خمشی را تحمل کنند، با این تئوری تحلیل می‌شوند. فرضیه‌ی مقدماتی تیرها توسط ناویر<sup>۵</sup> ارائه و سپس توسط کیرشهف در مورد ورق‌ها تعمیم داده شد و لاو با همین فرضیات، تئوری خمشی را صورت‌بندی نمود.

فرضیات تئوری غشایی و تئوری خمشی (تئوری کلاسیک) را فرضیات لاو-کیرشهف می‌نامند که عبارتند از [۲]:

۱- نسبت ضخامت پوسته به شعاع انحنای سطح میانی در مقایسه با واحد، کوچک است (پوسته‌ی نازک);

۲- خیزها در مقایسه با ضخامت پوسته، کوچک هستند (خیز کوچک);

۳- مؤلفه‌ی تنش عمود بر سطح میانی نسبت به سایر مؤلفه‌های تنش، قابل چشم‌پوشی است (تنش صفحه‌ای);

۴- مقاطع مستوی عمود بر سطح میانی پوسته، پس از بارگذاری و تغییر شکل، همچنان مستوی و عمود باقی می‌مانند. با این فرض، کرنش‌های برشی و مؤلفه‌ی کرنش عمود بر سطح میانی، صفر در نظر گرفته می‌شوند.

- 
1. Plane Stress
  2. Plane Strain
  3. Plate
  4. Beam
  5. Navier

## ۱-۳-۲- تئوری پوسته‌های ضخیم

اولین بار لامه<sup>۱</sup> (۱۸۵۲) با استفاده از تئوری الاستیسیته می‌تواند، حل دقیق استوانه‌های جدار ضخیم متقارن محوری با جدار ثابت را تحت فشار یکنواخت داخلی برای ماده‌ی همگن و همسانگرد ارائه کرد.<sup>۲</sup> گالرکین<sup>۳</sup> (۱۹۳۰) روابط پوسته‌های ضخیم را با استفاده از معادلات اساسی الاستیسیته به دست آورد. ولاسف<sup>۴</sup> (۱۹۴۹) با استفاده از تئوری الاستیسیته خطی، معادلات قابل حلی برای پوسته‌های ضخیم ارائه کرد. نقدی (۱۹۵۶) با لحاظ اثر برش عرضی و اینرسی دورانی، تئوری تغییر شکل برشی<sup>۵</sup> را برای پوسته‌های ضخیم پایه‌گذاری نمود. میرسکی<sup>۶</sup> و هرمان<sup>۷</sup> (۱۹۵۸) با به‌کارگیری تئوری تغییر شکل برشی مرتبه‌ی اول<sup>۸</sup>، تحلیل ارتعاشی پوسته‌های استوانه‌ای جدار ضخیم را ارائه کردند.<sup>۹</sup> گرینسپن<sup>۹</sup> (۱۹۶۰) مقادیر ویژه‌ی استوانه‌ی ضخیم را با تئوری‌های مختلف پوسته‌های نازک و ضخیم مقایسه نمود. بنابراین دو تئوری الاستیسیته می‌توانند، شش معادله‌ی پوسته‌های جدار ضخیم مطرح شد.

### الف) نظریه‌ی الاستیسیته می‌تواند (تئوری کلاسیک)

در تئوری الاستیسیته سه‌بعدی، ۱۵ معادله (سه معادله‌ی تعادل تنش، شش معادله‌ی سینماتیک و شش معادله‌ی رفتاری) و ۱۵ مجھول (شش مؤلفه‌ی تانسور تنش متقارن، شش مؤلفه‌ی تانسور کرنش متقارن و سه مؤلفه‌ی جابه‌جایی) وجود دارد که منجر به حل دقیق مسئله می‌شود ولی حل معادلات آن بسیار پیچیده می‌باشد و عملاً به‌کارگیری آنها امکان‌ناپذیر است. با فرضیات ساده‌شونده‌ای می‌توان معادلات بالا را کاهش داد یک نمونه از این فرضیات ساده کننده منجر به شکل‌گیری تئوری الاستیسیته می‌شوند. در این تئوری، فرض می‌شود که مقاطع می‌توانند

1. Lame<sup>۱</sup>

2. Plane Elasticity Theory (PET)

3. Galerkin

4. Vlassov

5. Shear Deformation Theory (SDT)

6. Mirsky

7. Hermann

8. First-Order Shear Deformation Theory (FSDT)

9. Greenspon

عمود بر محور استوانه، پس از اعمال فشار و تغییر شکل، همچنان مستوی و عمود بر محور استوانه باقی می‌مانند. در حقیقت کرنش برشی و تنش برشی صفر در نظر گرفته می‌شود در این تئوری مقاطع پس از بارگذاری همچنان مستوی و عمود باقی می‌مانند. این تئوری را لامه برای استوانه‌ی جدار ثابت متقارن محوری از ماده‌ی همگن و همسانگرد به کار برد و توزیع تنش را در استوانه‌ها به دست آورد. تئوری لامه به تئوری کلاسیک استوانه‌های ضخیم مشهور است [۳].

### ب) نظریه‌ی تغییر شکل برشی

با استفاده از بسط تیلور و تعریف جابه‌جایی هر نقطه به صورت جابه‌جایی سطح میانی و جابه‌جایی آن نقطه نسبت به سطح میانی می‌توان جابه‌جایی تئوری لامه را به صورت یک چندجمله‌ای نوشت. اگر فقط جمله‌ی اول چندجمله‌ای در نظر گرفته شود تحلیل پوسته‌های ضخیم به کمک تئوری تغییر شکل برشی مرتبه‌ی صفر نامیده می‌شود که مشابه تئوری خمی در پوسته‌های نازک است. و اگر دو جمله از این بسط در نظر گرفته شود ( $u_r^0 + z u_r^1 + \dots$ )، تحلیل پوسته‌های جدار ضخیم به کمک تئوری تغییر شکل برشی مرتبه اول نامیده می‌شود که مشابه تئوری فلوگه در پوسته‌های نازک می‌باشد. به همین ترتیب می‌توان تئوری‌های تغییر شکل برشی مرتبه‌ی بالاتر را استخراج و فرمول-بندی نمود. تئوری تغییر شکل برشی مرتبه‌ی اول به تئوری تغییر شکل برشی مرتبه‌ی اول میرسکی-هرمان نیز شهرت دارد که تعمیم تئوری Timoshenko<sup>1</sup> در تیرها و همچنین تئوری Mindlin<sup>2</sup> در ورق-هاست. در این تئوری علاوه بر اثر نیروهای محوری، برش، خمش، پیچش، اینرسی دورانی و میدان حرارتی را نیز می‌توان در نظر گرفت.

در تئوری تغییر شکل برشی مرتبه‌ی اول مقاطع مستوی و عمود بر سطح میانی پس از تغییر شکل مستوی باقی می‌مانند ولی الزاماً عمود بر سطح میانی باقی نمی‌مانند و این بدان معنی است که تنش و کرنش برشی در سطوح موازی صفحه‌ی میانی صفر در نظر گرفته نمی‌شوند.

---

1 Timoshenko  
2 Mindlin

تئوری تغییر شکل برشی برای تحلیل سازه‌های پوسته‌ای مختلف با انواع جداره، مواد، بارگذاری و شرایط مرزی، حتی نامتقارن محوری<sup>۱</sup>، روش مناسبی می‌باشد.

## ۱-۴ مقدمه‌ای بر مواد

همان‌طور که می‌دانیم ماده‌ی همگن ماده‌ایست که خواص آن در تمام نقاطش یکسان است و ماده‌ی همسان‌گرد ماده‌ایست که خواص هر نقطه‌ی مادی آن در تمام جهت‌ها یکسان است. با پیشرفت سریع صنایع هواپضا، توربین‌ها، و دیگر ماشین‌ها نیاز به موادی با مقاومت مکانیکی و حرارتی بالا به وجود آمده است. بنابراین دانشمندان همواره در تلاش بوده‌اند که از مواد جدید با خواص برتر استفاده کنند. ایده‌ی مواد مرکب (کامپوزیت‌ها) در پایان دهه‌ی ۱۹۴۰ و آغاز دهه‌ی ۱۹۵۰ در صنایع دریایی عملی شد. مواد مرکب از ترکیب دو یا چند ماده‌ی ناهمساز بوجود می‌آیند که خواص فیزیکی متفاوت و گاهی ناسازگار دارند. کامپوزیت‌ها از دیدگاه متالورژی (میکروسکوپی)، ناهمگن و ناهمسانگرد هستند، ولیکن از دیدگاه مکانیکی (ماکروسکوپی)، همگن و ناهمسانگرد تلقی می‌شوند.

اشکال عمده‌ی مواد مرکب، تغییر ناگهانی مواد و خواص آنهاست که درنتیجه موجب تغییر ناگهانی رفتار مواد بویژه در مرز لایه‌ها می‌شود، لذا ایده‌ی تغییر تدریجی خواص مواد پی‌ریزی شد. مواد با تغییرات تابعی خواص در ساختار ارگانیسم‌های زنده مانند استخوان وجود داشته است. به عنوان مثال: استخوان در لایه‌ی بیرونی که نیاز به مقاومت مناسبی در برابر عوامل خارجی از قبیل ضربه دارد، از استحکام بیشتری برخوردار است و به تدریج از سختی آن کم می‌شود تا لایه‌ی درونی که کاملاً نرم می‌باشد تا شرایط مناسب برای جذب مواد غذایی را داشته باشد. از این‌رو تغییرات خواص به صورت کاملاً پیوسته و تدریجی ایجاد می‌شود. مواد FG ناهمگن هستند.

## ۱-۴-۱ مواد پیزوالکتریک

در بلورها پراکندگی و فاصله‌ی اجزا دارای نظم هندسی ویژه‌ای است که معمولاً در تمام جهت‌ها یکسان نیست. برخلاف بلورها در جامد‌های بی‌شکل یا غیربلورین پراکندگی و فاصله‌ی اجزای سازنده-ی آنها در تمام جهت‌ها یکسان است از این رو برخی خواص فیزیکی جامد‌های غیربلورین، مانند رسانایی گرمایی، انتشارنور و رسانایی الکتریکی نیز در همه‌ی جهت‌ها یکسان است. به این جامدها همسانگرد گفته می‌شود. چون خواص فیزیکی بیشتر جامد‌های بلورین در جهت‌های مختلف متفاوت است به آنها (ناهمسانگرد) می‌گویند و تنها بلورهایی که در دستگاه مکعبی متبلور می‌شوند مانند اجسام غیربلورین عمل می‌کنند.

پدیده ناهمسانگردی سبب پیدایش خواصی در بلورها می‌شود که کاربردهای مختلف و مهمی در صنعت دارند مثلاً اگر بلورهایی مانند کوارتز و تورمالین از دو طرف کشیده یا فشرده شوند، درجهت عمود بر فشار یا کشش دارای بار الکتریکی مخالف یکدیگر می‌شوند. اگر جهت این فشار یا کشش را عوض کنیم نوع بارالکتریکی تغییر می‌کند. به این پدیده پیزوالکتریک می‌گویند. اثرپیزوالکتریک خاصیتی است که در بسیاری از مواد وجود دارد. نام پیزوالکتریک از دو قسمت تشکیل شده پیزو از یک کلمه‌ی یونانی است که به معنی فشار است و الکتریک نیز که از الکتریسیته می‌آید. به عنوان یک بیان کلی می‌توان گفت معنی پیزوالکتریک اثر و تاثیر فشار- الکتریسیته می‌باشد.

اثرپیزوالکتریک عبارت است از توانایی بلوری شدن (متبلورشدن) برخی مواد برای تولید کردن بارالکتریکی متناسب با نیروی خارجی. اولین رخدادی که سبب توجه به سمت مواد پیزوالکتریک<sup>۱</sup> گردید به تأثیر مواد پایروالکتریک<sup>۲</sup> باز می‌گردد. خاصیت پایروالکتریک که تولید پتانسیل الکتریکی در اثر ایجاد تغییرات دمایی است؛ در اواسط قرن هجدهم توسط کارلوس لینائوس<sup>۳</sup> و فرانز آئپینوس<sup>۴</sup>

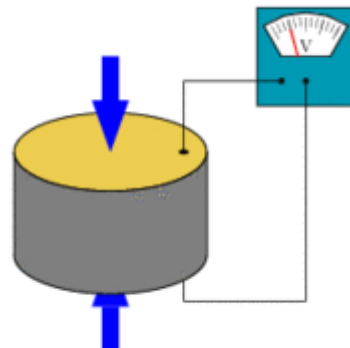
1. Piezoelectric

2. Pyroelectric

3. Carolus Linnaeus

4. Franz Aepinus

مورد پژوهش قرار گرفت. اثر پیزوالکتریک کاربرد زیادی در طراحی (مبدل‌ها<sup>۱</sup>، شتاب‌سنج‌ها، نیرو‌سنج‌ها، فشار‌سنج‌ها و...) دارد. مطابق با خاصیت معکوس پیزوالکتریک میدان الکتریکی باعث ایجاد تغییر شکل در مواد پیزوالکتریک می‌شود. این خاصیت معکوس پیزوالکتریک در طراحی محرک‌ها<sup>۲</sup> کاربرد دارد. مواد پیزوالکتریک موادی هستند که تحت تأثیر کرنش مکانیکی ایجاد شده در آنها یک میدان الکتریکی با جهت‌گیری خاص در این مواد پدید می‌آید، ایجاد میدان الکتریکی در این مواد به عنوان اثر پیزوالکتریکی شناخته می‌شود. کرنش مکانیکی فوق می‌تواند توسط هر عامل خارجی از قبیل: نیرو، فشار، شوک حرارتی و ... به وجود آید؛ [۵]. در صورتی که مواد پیزوالکتریک خاصیت پیزوالکتریک خود را از دست دهنند، دیپلاریزه می‌گردند؛ در حین دیپلاریزه شدن دو قطبی‌های موجود در ماده از بین می‌روند. دیپلاریزه شدن می‌تواند منشأ الکتریکی، مکانیکی و یا حرارتی داشته باشد.



شکل ۱-۱ دیسک پیزوالکتریک تغییر شکل یافته

در شکل (۱-۱) دیسک پیزوالکتریک تغییر شکل یافته، ولتاژ الکتریکی ایجاد می‌کند که بیانگر اثر مستقیم پیزوالکتریک می‌باشد. مواد پیزوالکتریک از گستردگی زیادی برخوردار است؛ پوست و استخوان انسان نیز خاصیت پیزوالکتریکی دارند [۶].

---

1. Transducer  
2. Actuators

## ۱-۱-۴ کاربردهای مواد پیزوالکتریک

کاربردهای بسیاری را، می‌توان برای مواد پیزوالکتریک متصور شد، در این قسمت به بخشی از این کاربردها که در [۷] آمده است، اشاره‌ای می‌شود.

یکی از کاربردهای اساسی سرامیک‌های پیزوالکتریک استفاده بهمنظوره آتش‌زنی گاز<sup>۱</sup> می‌باشد. ولتاژ بسیار بالای تولید شده در سرامیک پیزوالکتریک به وسیلهٔ تنفس مکانیکی، سبب جرقه<sup>۲</sup> و مشتعل شدن گاز می‌گردد؛ به دو طریق افزایش ناگهانی و تدریجی می‌توان این نیروی مکانیکی را اعمال کرد.

سرامیک‌های پیزوالکتریک، به علت وجود اثر مستقیم پیزوالکتریک، می‌توانند به عنوان شتاب‌سنج‌ها و تنفس‌سنج‌ها مورد استفاده قرار گیرند. ارتعاشگرهای پیزوالکتریک در تجهیزات ارتعاشاتی مکانیکی می‌توانند به عنوان صافی<sup>۳</sup> و محرک یا نوسانگر<sup>۴</sup> استفاده شوند.

شوینده‌های فرacoتی، میکروفون‌های<sup>۵</sup> فرacoتی و دستگاه‌های اندازه‌گیری به کار رفته در سیستم‌های فرمان کوتاه برد، آشکارساز زیرآبی و ردیاب ماهی، سنجش‌گرهای غیرمخرب و ... نمونه‌ای از کاربردها می‌باشند. بررسی فرacoتی آشکارسازها در زمینه‌های پزشکی الکترونیکی، به منظور کاربردهای کلینیکی<sup>۶</sup> در گسترهٔ تشخیص تا درمان و جراحی مفید می‌باشند.

آنچه که گفته شد؛ تنها بخش کوچکی از کاربرد وسیع بیان شده مواد پیزوالکتریک در [۷] می‌باشد.

## ۲-۴-۱ FG مواد

مفهوم اولیه مواد متغیر تابعی توسط نینو<sup>۷</sup> و همکارانش در سال ۱۹۸۴ در سازمان هوافضای ژاپن مطرح شد[۸]. سازه‌هایی که از مواد تابعی ساخته می‌شوند، عموماً دارای بدن‌های ناهمگن از

- 
1. Gas Igniter
  2. Spark
  3. Filter
  4. Oscillator
  5. Microphones
  6. Clinic
  7. Niino

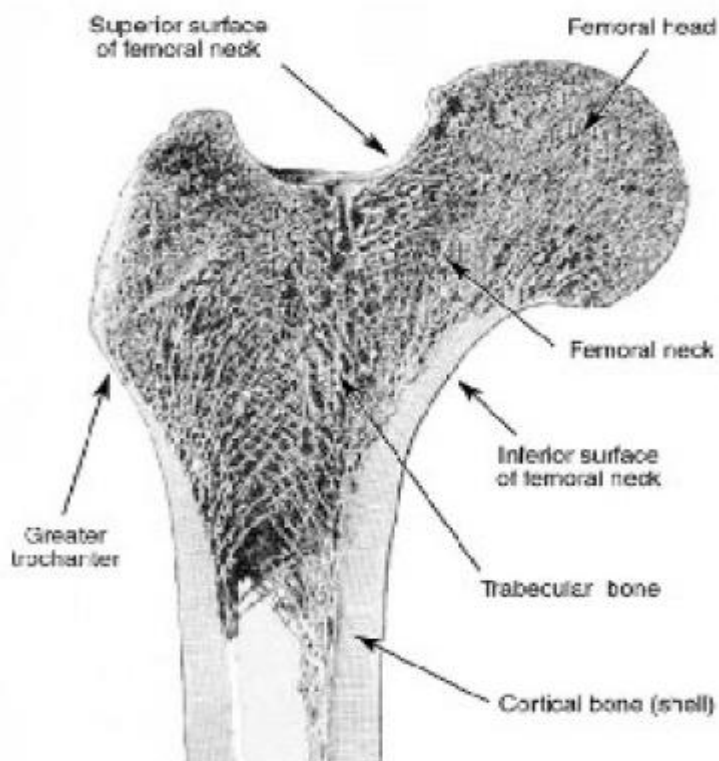
دو جنس متفاوت می‌باشند که به صورت کاملاً پیوسته با یکدیگر ترکیب شده‌اند، به طوری که در صد تغییرات حجمی این دو نسبت به هم در سازه می‌تواند به‌طور کاملاً یکنواخت تغییر کند. در حرارت‌های زیاد فلزات و آلیاژهای فلزی به شدت در معرض اکسیداسیون، خوردگی، خروش و... قرار می‌گیرند و این در حالی است که استفاده‌ی تنها از مواد با خواص ترمودینامیکی مطلوب همچون سرامیک‌ها بسیاری از خواص مورد نظر در طراحی مانند چقلمگی و استحکام بالا را برآورده نمی‌کنند. از این رو ایده‌ی مواد مرکب مطرح شد. این مواد از ترکیب دو یا چند ماده به وجود می‌آیند که خواص فیزیکی متفاوتی دارند. به عنوان مثال فلزات با پوشش عایق حرارتی<sup>۱</sup> پوشانده می‌شوند. این مواد از دید میکروسکوپی ناهمگن و ناهمسانگرد هستند ولی از دید ماکروسکوپی موادی همگن ولی ناهمسانگرد هستند. تغییر ناگهانی مواد و در نتیجه خواص در مواد مرکب که موجب تغییر ناگهانی رفتار مواد به ویژه در مرز لایه‌ها می‌شود از اشکالات عمدی آن‌هاست و باعث تمرکز تنش و ایجاد ترک و گسیختگی در مرز لایه‌ها می‌شود. با توجه به این مشکلات ساخت ماده‌ای مرکب که هم مقاومت حرارتی و مکانیکی بالا داشته و هم مشکلات ناشی از تغییرات ناگهانی خواص را نداشته باشد، ضرورت پیدا کرد و این بدان معنی است که نیاز به ماده‌ای با تغییرات تدریجی خواص در مقیاس میکروسکوپی به وجود آمد. به این مواد اصطلاحاً FGM<sup>۲</sup> گفته می‌شود. در سال ۱۹۸۶ مطالعات بر روی امکان ساخت این مواد در ژاپن آغاز شد و مرحله‌ی اول پروژه‌ای با نام «فناوری گسترش FGM» طی سال‌های ۱۹۸۷ تا ۱۹۸۹ اجرا و پس از دستیابی به هدف که ساخت قطعاتی به قطر ۳۰ میلی‌متر با خواص ذکر شده بود، در سال ۱۹۹۰ در سمپوزیومی در سنداي به جهانیان ارائه شد. مرحله‌ی دوم این پروژه در سال‌های ۱۹۹۰ تا ۱۹۹۱ اجرا شد که نتیجه‌ی آن ساخت ورق‌های مربعی به ضلع ۳۰۰ میلی‌متر و نیم کره‌هایی به قطر ۵۰ میلی‌متر با خواص ذکر شده برای استفاده در ساخت دماغه‌ی فضایی‌پیما بود که پس از آن دومین سمپوزیوم جهانی FGM در سال ۱۹۹۲ در سان‌فرانسیسکو برگزار شد. در

1. thermal barrier coating

2. Functionally Graded Materials (FGM)

سال‌های اخیر توجه بر روی FGM ها در اروپا به ویژه آلمان به شدت گسترش یافته است.

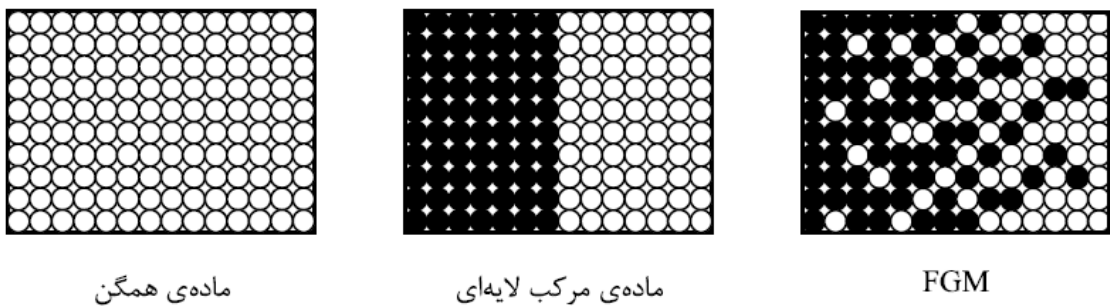
از مزایای FGM نسبت به مواد مرکب لایه‌ای، عدم گستگی در محل اتصال لایه‌ها می‌باشد، زیرا همانطور که گفته شد در FGM ترکیب مواد پیوسته است. از این مواد می‌توان در صنایع هوایی، فضایی، نظامی، هسته‌ای، نیروگاهی، الکترونیکی، پزشکی و ... به عنوان پوشش بخش‌های مختلف هواپیماها و فضاپیماها، ساخت لوله‌ی توب، راکتورها، مخازن، پوشش پردازنده‌ها، مواد دندان‌پزشکی و ارتپدی استفاده کرد و صدها کاربرد متنوع دیگر برای آن‌ها متصور شد. استخوان ماده‌ای طبیعی است که سطح خارجی محکمی دارد و در مرکز آن بافتی نرم وجود دارد که این موجب تغییر تدریجی خواص از داخل به خارج استخوان می‌شود بنابراین استخوان ماده‌ای ناهمگن است. خواص مکانیکی استخوان در جهت طولی با سایر جهات متفاوت است بنابراین استخوان ماده‌ای ناهمسان‌گرد نیز هست. در صورت صرفنظر از ناهمسان‌گردی استخوان می‌توان آن را FGM در نظر گرفت.



شکل ۱-۲ نمای برش طولی استخوان

مواد FG دارای ویژگی‌هایی به شرح زیر می‌باشند [۹]:

- ۱- مقاومت زیاد در برابر گرادیان دمایی بالا.
- ۲- مقاومت بالا در برابر بارهای مکانیکی .
- ۳- کاهش اثر تمرکز تنش در نواحی با شکل هندسی خاص.
- ۴- جلوگیری از ایجاد و رشد ترک.
- ۵- اگر پوشش ترد بر روی مواد نرم به صورت لایه‌های جدا انجام شود، احتمال جدا شدن لایه‌ی ترد بسیار زیاد است. به کمک مواد FG، این کار با تغییرات پیوسته و تدریجی انجام می‌پذیرد.
- ۶- تغییرات تدریجی خواص در ساختار مواد FG، موجب استحکام بین لایه‌های مختلف آن می‌شود. در صورتی که در مواد مرکب کامپوزیتی، تداخل بین ساختارهای زمینه و الیاف، نوعی ناهمانگی در خواص مکانیکی ایجاد می‌کند. شکل ۳-۱ مقایسه‌ی بین تغییرات خواص در مواد همسانگرد، کامپوزیت و FG را نشان می‌دهد.



شکل ۳-۱ تغییرات خواص در مواد مختلف

### ۱-۴-۲-۱ توزیع خواص

قبل از ساخت FGM باید مشخص شود که اجزای تشکیل‌دهنده به چه صورتی توزیع شده است، در بعضی مقاله‌ها هدف یافتن یک پروفیل با توجه به بهینه کردن یک کمیت است. در موقع دیگر پروفیل توزیع مواد انتخاب می‌شود و یک پارامتر برای اهداف بهینه در آن در نظر گرفته می‌شود.

از آن جا که هدف در ساخت این مواد ایجاد یک تابع پیوسته از خواص در طول ماده است می‌توان توابع مختلفی را برای توزیع خواص در نظر گرفت. توابع رایج برای خواص مکانیکی و حرارتی، توانی و نمایی می‌باشند.

معمولًا تابع توزیع خواص برای مدول الاستیسیته، استحکام تسلیم، ضریب هدایت حرارتی ضریب انبساط حرارتی در نظر گرفته می‌شود ولی نسبت پواسون در تمام نقاط ماده ثابت فرض می‌شود. علت این فرض تغییرات بسیار کوچک نسبت پواسون در مقابل مدول الاستیسیته است. در این تحقیق توزیع خواص به صورت توانی در جهت شعاع کره به صورت رابطه‌ی (۱-۱) در نظر گرفته می‌شود:

$$M(r) = M_i \left(\frac{R}{R_i}\right)^n \quad (1-1)$$

در رابطه‌ی فوق  $M$  خاصیت مورد نظر در هر نقطه از کره،  $M_i$  خاصیت مورد نظر در سطح داخلی کره،  $R_i$  شعاع داخلی کره و  $n$  ثابت ناهمگنی است.

## ۱-۵ کاربرد پوسته‌های کروی

کاربرد پوسته‌های کروی در صنعت و حتی در طبیعت کاملاً محسوس می‌باشد. به عنوان چند نمونه طبیعی می‌توان به هندسه‌ی کروی جمجمه‌ی انسان، هندسه‌ی سیارات و ستاره‌ها در شکل (۱-۴) و حتی پوسته‌ی سخت لاکپشت‌ها و ... اشاره کرد. در کاربردهای صنعتی، مخازن کروی از جمله تجهیزات ذخیره‌سازی سیالات بوده که در صنایع مختلف کاربرد فراوانی پیدا نموده است.



شکل ۱-۴ زمین به عنوان یک کرهٔ دوار

شکل هندسی مناسب آن در تحمل فشارهای بالا از یک سو و نحوه ساخت آن از سوی دیگر کاربری این تجهیزات را تحت الشعاع قرار می‌دهد. در صنایع نفت و گاز و پتروشیمی مخازن کروی از اهمیت ویژه‌ای برخوردار هستند.



شکل ۱-۵ کاربرد کره در صنایع نفت و گاز و پتروشیمی

ذخیره‌سازی گاز در دمای محیط تنها به روش متراکم‌سازی و مایع نمودن در فشار بالا امکان-پذیر می‌باشد و مخازن کروی به دلیل هندسه‌ی مناسب قادر به تحمل این فشارهای بالا می‌باشند. در صنایع ساختمانی نیز از شکل هندسی کره در توزیع مناسب نیروهای حجمی حاصل از وزن سازه در گنبدها، طاق‌ها و... بسیار استفاده می‌شود.

کره‌های چرخان نیز در کاربردهای مختلف از اهمیت ویژه‌ای برخوردار هستند. اخیراً مهندسان از

مخازن کروی ساخته شده از مواد کامپوزیتی با سرعت‌های دورانی بالا در ماشین‌های پرنده استفاده کردند که وزن آن‌ها از بسیاری از ماشین‌های پرنده کمتر و قابلیت عمود پرواز کردن را دارند.

## ۱-۶ نگاهی بر مطالعات گذشته

تاکنون پژوهش‌های بسیاری بر روی پوسته‌های جدارضخیم استوانه‌ای و کروی به دلیل اهمیت آن‌ها صورت گرفته است. از سوی دیگر مواد پیزوالکتریک به دلیل خاصیتی که دارند، در زمینه ساخت پوسته‌های جدارضخیم مورد توجه محققین قرار گرفته‌اند. این مواد هنگام تغییر شکل تولید میدان الکتریکی می‌کنند و بر عکس، از این خاصیت مواد پیزوالکتریک در ساخت وسایل الکتریکی یا الکترومکانیکی مانند عمل کننده‌ها، حس کننده‌ها و تبدیل کننده‌ها استفاده می‌شود.<sup>[۱۰]</sup> آنچه که در ادامه مطلب ذکر می‌گردد بخشی از پژوهش‌های موجود می‌باشد که با توجه به ارتباط و نزدیکی آن‌ها به پژوهش حاضر ارائه می‌گردد.

اولین بار لامه در سال ۱۸۵۲<sup>[۳]</sup> استفاده از نظریه‌ی الاستیسیتیه‌ی مستوی<sup>۱</sup>، حل دقیق استوانه‌ای کلفت متقارن محوری با جدار ثابت از ماده‌ی همگن و همسانگرد تحت فشار یکنواخت را ارایه کرد. در سال ۲۰۰۵ قناد و همکاران<sup>[۱۱]</sup> با استفاده از نظریه‌ی الاستیسیتیه‌ی مستوی، حل کلی استوانه‌های جدارضخیم متقارن محوری ساخته شده از مواد ناهمگن را ارائه نموده و روابط مربوط به توزیع تنش‌ها و جابه‌جایی شعاعی را استخراج نمودند. در همین سال، اسلامی<sup>[۱۲]</sup> حل تحلیلی و عددی کره‌های ساخته شده از مواد ناهمگن را تحت بارگذاری حرارتی و مکانیکی به‌طور همزمان مورد مطالعه قرار داد و روابط حاکم بر تنش‌های شعاعی و محیطی و جابه‌جایی شعاعی را به‌دست آورد.

توتونچو<sup>۲</sup><sup>[۱۳]</sup> در سال ۲۰۰۷، با استفاده از نظریه‌ی الاستیسیتیه‌ی مستوی و به‌کارگیری سری فربینوس، استوانه‌های جدارضخیم ناهمگن را که تحت فشار داخلی قرار داشت و مدول الاستیسیتیه‌ی آن به‌صورت نمایی تغییر می‌کرد را در حالت کرنش‌صفحه‌ای حل کرد. در این پژوهش اثر تغییر ثابت

۱· Plane Elasticity Theory

۲· Tutuncu

ناهمگنی بر روی توزیع تنش شعاعی، تنش محیطی و جابه‌جایی شعاعی مورد مطالعه قرار گرفت.

تحلیل تئوری و عددی کره‌های جدار ضخیم ناهمگن ساخته شده از مواد ناهمگن تحت بارگذاری مکانیکی در سال ۲۰۱۱ توسط بیات<sup>[۱۴]</sup> انجام گرفت. در این مطالعه، روابط حاکم بر تنش‌ها و جابه‌جایی به صورت کلی استخراج شده است. همچنین بیات و قناد<sup>[۱۵]</sup> در سال ۲۰۱۲ حل عددی و تئوری کره‌های جدار ضخیم همگن چرخان با درنظر گرفتن بارگذاری مکانیکی و حرارتی را مورد مطالعه قرار داد. در این پژوهش کره‌ی مورد نظر با سرعت زاویه‌ای ثابت در حال چرخش بوده و تحت فشار یکنواخت داخلی و خارجی قرار داشت. برای حل تحلیلی این مسأله از روش تابع پتانسیل استفاده شده است. اندکی بعد، قناد و زمانی نژاد<sup>[۱۶]</sup> با استفاده از نظریه‌ی الاستیسیته‌ی مستوی و تعریف روابط ساختاری، حل کامل کره‌های جدار ضخیم ناهمگن را که تحت فشار داخلی و خارجی قرار داشتند را به دست آورده‌اند. ایشان ناهمگنی خواص برای مدول الاستیسیته به صورت توانی در نظر گرفتند و فرض کردند ضریب پوآسون ثابت می‌باشد. بیات و همکاران<sup>[۱۷]</sup> در سال ۲۰۱۲ نیز با استفاده از نظریه‌ی کلاسیک حل تحلیلی کره‌ی ساخته شده از مواد ناهمگن را تحت بارگذاری مکانیکی و حرارتی ارائه نموده و نتایج حاصل از حل تحلیلی را با داده‌های به دست آمده از حل عددی توسط نرم‌افزار ABAQUS مقایسه نمودند.

حل تحلیلی مواد پیزوالکتریک همگن در سال ۱۹۹۸ توسط چن<sup>[۱۸]</sup> انجام گرفت که در این پژوهش مواد در راستای شعاع خود پلاریزه شده بودند. ژونگ<sup>۲</sup> و وانگ<sup>۳</sup> در سال ۲۰۰۳ با استفاده از نظریه‌ی تغییر شکل برشی مرتبه‌ی اول حل عمومی کره‌های جدار ضخیم همگن پیزوالکتریک را ارائه دادند. در این مطالعه حل سه‌بعدی مگنتوالکتروالاستیک<sup>۴</sup> پوسته‌های کروی همگن که دارای شرایط مرزی مکانیکی، الکتریکی و مغناطیسی در سطح داخلی و خارجی خود بودند ارائه گردید و در پایان روابط توزیع تنش، جابه‌جایی‌ها، میدان الکتریکی و میدان مغناطیسی استخراج گردید. وانگ و

1.Chen

2.Zhong

3.Wang

4. Magneto-Electro-Elastic

دای<sup>۱</sup> [۲۰] در سال ۲۰۰۵ با استفاده از نظریه‌ی الاستیسیته‌ی مستوی و به‌کارگیری روش‌های تبدیل هنکل<sup>۲</sup>، تبدیل لایپلاس و معکوس این تبدیلات، حل دقیق استوانه و کره‌های ناهمگن پیزوالکتریک را تحت بارگذاری مکانیکی، الکتریکی و حرارتی به‌صورت همزمان و وابسته به زمان ارائه نموده همچنین پاسخ گذرای این سازه‌ها را در زمان‌های مختلف بررسی نمودند و نتایج را به صورت نمودار گزارش دادند. در سال ۲۰۰۷ دای و همکاران [۲۱] با استفاده از نظریه‌ی الاستیسیته‌ی مستوی حل تحلیل سازه‌های توخالی از جنس مواد پیزو الکتریک را به‌دست آوردند. در این پژوهش استوانه و کره‌ی توخالی که تحت بارهای الکتریکی، مکانیکی و مغناطیسی قرار داشت و خواص آن به‌صورت توانی تغییر می‌کرد، مورد بررسی قرار گرفت. کار<sup>۳</sup> و کانوریا<sup>۴</sup> [۲۲] در سال ۲۰۰۹ حل عمومی ترمولاستیک کره‌ی جدارضخیم ناهمگن را تحت شوک حرارتی، با استفاده از اثر سه فاز تاخیری ارائه نمودند. در این پژوهش، اثر متقابل بارگذاری حرارتی و مکانیکی در مرحله‌ی اعمال اثر دما بر روی مرزهای سازه مورد مطالعه قرار گرفت.

در سال ۲۰۱۰ قربان‌پور و همکاران [۲۳] با استفاده از نظریه‌ی الاستیسیته‌ی مستوی حل تحلیلی مگنتوالکترو الاستیک پوسته‌های کروی ناهمگن را با درنظر گرفتن بارگذاری حرارتی ارائه دادند. در این پژوهش پوسته‌ی کروی موردنظر که دارای شرایط مرزی مکانیکی، الکتریکی و حرارتی در لایه‌های داخلی و خارجی بوده و تحت تاثیر میدان یکنواخت مغناطیسی قرار داشته همچنین در راستای شعاعی پلاریزه شده بود مورد بررسی قرار گرفت.

حل دقیق استوانه‌ی چرخان ناهمگن ساخته شده از مواد پیزو الکتریک توسط رحیمی و همکاران [۲۴] در سال ۲۰۱۱ انجام شد. طبق این پژوهش استوانه‌ی توخالی چرخان که تحت بارهای مکانیکی، حرارتی و الکتریکی قرار داشت و خواص آن به‌صورت توانی تغییر می‌کرد مورد بررسی قرار گرفت.

---

1. Dai  
2.Hankel  
3.Kar  
4.Kanoria

نتایج تحقیق نشان می‌داد، ثابت ناهمگنی تاثیر زیادی بر روی تنش و پتانسیل الکتریکی دارد. ژیفای<sup>۱</sup> و یینگ<sup>۲</sup> [۲۵] در سال ۲۰۰۵ با استفاده از نظریه‌ی الاستیسیته‌ی مستوی، حل دقیق استوانه‌ی جدارضخیم ناهمگن ساخته شده از مواد پیزوالکتریک را مورد مطالعه قرار دادند. در این تحقیق اثر بارگذاری یکنواخت حرارتی و الکتریکی به‌طور همزمان بررسی شده و پوسته‌ی مورد نظر دارای شرایط مرزی الکتریکی و حرارتی در مرزهای داخلی و خارجی خود درنظر گرفته شده است. در نهایت حل عددی مسئله برای یک پوسته‌ی استوانه‌ای با دو ساختار متفاوت FG که خواص پیزوالکتریک آن به‌صورت خطی متغیر بوده و ساختار دوم به‌صورت دو لایه با تغییر پارامترهای پیزوالکتریک به‌صورت دفعی استخراج شده و توزیع تنش‌های شعاعی و محیطی برای دو ساختار با یکدیگر مقایسه شده‌اند. در همین سال قربان‌پور و همکاران [۲۶]، تحلیل الکتروترموالاستیک<sup>۳</sup> استوانه‌ی جدارضخیم ناهمگن ساخته شده از مواد پیزوالکتریک که در راستای شعاع خود پلازیزه شده بود را با درنظر گرفتن پدیده خزش ارائه دادند. در سال ۲۰۱۲ نیز ایشان [۲۷] با استفاده از روش تحلیلی، حل الکتروترموالاستیک کره‌های جدارضخیم ناهمگن ساخته شده از مواد پیزوالکتریک را ارائه داده و نتایج حل تحلیلی را با نتایج حاصل از حل عددی مسئله مقایسه کردند.

دای و همکاران [۲۸] در سال ۲۰۱۲ با استفاده از نظریه‌ی الاستیسیته‌ی مستوی، حل تحلیلی و عددی کره‌ی جدارضخیم ناهمگن ساخته شده از مواد پیزوالکتریک را با درنظر گرفتن خزش ارائه دادند در این تحقیق سازه‌ی موردنظر تحت بارگذاری‌های مکانیکی، حرارتی، الکتریکی و مغناطیسی قرار داشته و خواص آن به‌صورت توانی در راستای شعاع تغییر می‌کرد. پرهیزکار یعقوبی [۲۹] در سال ۲۰۱۳ با بهره‌گیری از نظریه‌ی تغییر شکل برشی مرتبه‌ی اول<sup>۴</sup>، حل تحلیلی استوانه‌ی چرخان جدارضخیم ساخته شده از مواد پیزوالکتریک که در راستای شعاع خود پلازیزه شده بود را مورد مطالعه قرار داد. در این تحقیق اثر بارگذاری یکنواخت حرارتی و الکتریکی به‌طور همزمان بررسی شده

---

1. Zhifei

2. Ying

3. Electro-Thermo-Elastic

4. First-Order Shear Deformation Theory (FSDT)

و پوسته‌ی مورد نظر دارای شرایط مرزی الکتریکی و حرارتی در مرزهای داخلی و خارجی خود در نظر گرفته شده است در این پژوهش روابط حاکم بر تنش‌ها، جابه‌جایی شعاعی و توزیع پتانسیل الکتریکی در سازه‌ی مورد نظر استخراج گردیده و در نهایت، نتایج حل تحلیلی با نتایج حاصل از روش اجزای محدود مقایسه شده است.

## ۷-۱ معرفی پایان‌نامه‌ی حاضر

با توجه به مطالبی که درباره‌ی مطالعات انجام‌شده در گذشته بیان شد، می‌توان نتیجه گرفت که انجام تحقیقی نسبتاً جامع بر روی کره‌های جدار ضخیم ناهمگن پیزوالکتریک می‌تواند بسیار سودمند و راهگشای مسیر پژوهشگران، طراحان و مهندسین در این امر باشد در این پایان‌نامه یک مخزن چرخان کروی جدار ضخیم ناهمگن پیزوالکتریک، که تحت بارگذاری الکتروترمومکانیکی در حالت ایستا قرار دارد مورد مطالعه قرار گرفته است. همه خواص ماده به صورت تابع توانی در راستای شعاع متغیر می‌باشند. در این تحقیق، اثر بارگذاری مکانیکی، حرارتی و چرخشی به‌طور مجزا و همزمان بررسی شده است. به منظور اطمینان از استخراج معادلات و فرآیند حل تحلیلی، نتایج با روش اجزای محدود نیز استخراج شده‌اند.



## فصل ۲

# استخراج روابط تحلیلی پوسته‌های کروی FGPM تحت بارگذاری الکتروترمومکانیکی

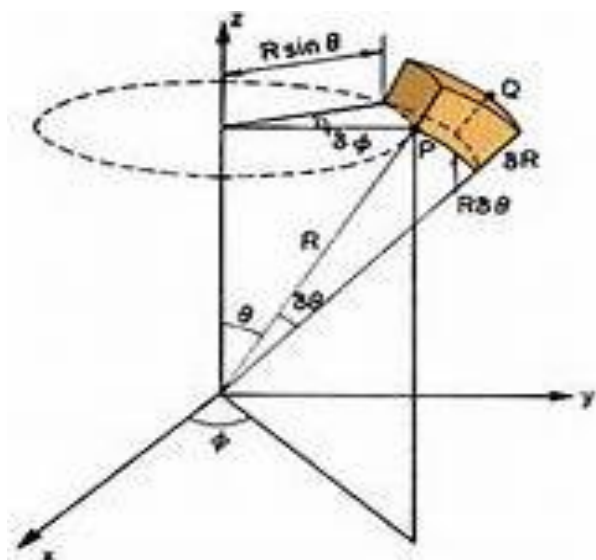
## ۱-۲ پیش‌گفتار

در این فصل ابتدا روابط کلی الکتروترموالاستیک حاکم بر پوسته‌های کروی ارائه شده است.

در گام بعدی، استخراج روابط برای یک کره‌ی FGM پیزوالکتریک در حالت کلی که تحت بارهای مکانیکی، الکتریکی و دمایی قرار دارد انجام گرفته؛ سپس به ساده سازی معادلات حاکم برای مسئله مورد مطالعه، با توجه به فرضیات حاکم بر آن پرداخته می‌شود، در نهایت با به دست آوردن معادلات ناویر برای پوسته‌های جدارضخیم کروی و درنظر گرفتن اثر مواد FG در این معادلات، حل مسئله ارائه می‌گردد.

## ۲-۲ روابط اساسی در دستگاه مختصات کروی

با در نظر گرفتن دستگاه مختصات راستگرد، یک المان دلخواه از یک جسم در مختصات کروی به صورت شکل زیر نمایش داده می‌شود. در این بخش با استفاده از مراجع [۱۹]، [۳۳] و [۳۴] به استخراج معادلات اساسی و تحلیل پیزوترمومووالاستیک مسئله پرداخته شده است.



شکل ۲-۱ دستگاه مختصات کروی راستگرد

که در این المان تانسور<sup>۱</sup> تنش به صورت زیر می‌باشد.

$$[\sigma_{ij}] = \begin{bmatrix} \sigma_R & \tau_{R\theta} & \tau_{R\phi} \\ \tau_{R\theta} & \sigma_\theta & \tau_{\phi\theta} \\ \tau_{R\phi} & \tau_{\phi\theta} & \sigma_\phi \end{bmatrix} \quad (1-2)$$

به همین ترتیب تانسور کرنش و بردار میدان جابه‌جایی را می‌توان به صورت زیر نشان داد.

$$[\varepsilon_{ij}] = \begin{bmatrix} \varepsilon_R & \frac{\gamma_{R\theta}}{2} & \frac{\gamma_{R\phi}}{2} \\ \frac{\gamma_{R\theta}}{2} & \varepsilon_\theta & \frac{\gamma_{\phi\theta}}{2} \\ \frac{\gamma_{R\phi}}{2} & \frac{\gamma_{\phi\theta}}{2} & \varepsilon_\phi \end{bmatrix} \quad (2-2)$$

$$\{u\} = \begin{cases} u_R = u_R(R, \theta, \phi) \\ u_\theta = u_\theta(R, \theta, \phi) \\ u_\phi = u_\phi(R, \theta, \phi) \end{cases} \quad (3-2)$$

## ۱-۲-۲ روابط تعادل و بار خطی الکترواستاتیک

روابط زیر، روابط تعادل تنش خطی حرکت و بار خطی الکترواستاتیک<sup>۲</sup> را بیان می‌کند.<sup>[۲۹]</sup>

$$\sigma_{ij,j} + F_i = 0 \quad (4-2)$$

$$D_{i,i} = 0 \quad (5-2)$$

که  $\sigma_{ij}$ ،  $D_i$  و  $F_i$  به ترتیب بیانگر مؤلفه‌های تانسور تنش متقارن کوشی<sup>۳</sup>، بردار جابه‌جایی الکتریکی و نیروهای حجمی مکانیکی می‌باشند

با بسط روابط فوق در سیستم مختصات کروی، روابط تعادل تنش و رابطه‌ی بار خطی

الکترواستاتیک به فرم زیر نوشته می‌شود.

---

1.Tensor  
2.Electrostatic  
3. Cauchy

$$\begin{cases} \frac{\partial \sigma_R}{\partial R} + \frac{1}{R} \frac{\partial \tau_{R\theta}}{\partial \theta} + \frac{1}{R \sin \theta} \frac{\partial \tau_{R\phi}}{\partial \phi} + \frac{1}{R} (2\sigma_R - \sigma_\phi - \sigma_\theta + \tau_{R\theta} \cot \theta) + F_R = 0 \\ \frac{\partial \tau_{R\theta}}{\partial R} + \frac{1}{R} \frac{\partial \sigma_\theta}{\partial \theta} + \frac{1}{R \sin \theta} \frac{\partial \tau_{\phi\theta}}{\partial \phi} + \frac{1}{R} [(\sigma_\theta - \sigma_\phi) \cot \theta + 3\tau_{R\theta}] + F_\theta = 0 \\ \frac{\partial \tau_{R\phi}}{\partial R} + \frac{1}{R} \frac{\partial \tau_{\theta\phi}}{\partial \theta} + \frac{1}{R \sin \theta} \frac{\partial \sigma_\phi}{\partial \phi} + \frac{1}{R} (2\tau_{\phi\theta} \cot \theta + 3\tau_{R\phi}) + F_\phi = 0 \end{cases} \quad (6-2)$$

رابطه‌ی بار خطی الکترواستاتیک نیز به این صورت خواهد بود.

$$\frac{1}{R^2} \frac{\partial}{\partial R} (R^2 D_R) + \frac{1}{R \sin \theta} \frac{\partial}{\partial \theta} (\sin \theta D_\theta) + \frac{1}{R \sin \theta} \frac{\partial D_\phi}{\partial \phi} = 0 \quad (7-2)$$

## ۲-۲ روابط سینماتیک

در این قسمت، روابط سینماتیک<sup>۱</sup> در مختصات کروی در دو بخش میدان کرنش و میدان پتانسیل الکتریکی ارائه می‌شوند. ابتدا روابط کرنش‌های نرمال شعاعی  $\epsilon_R$ ، محیطی  $\epsilon_\phi$  و نصف‌النهاری  $\epsilon_\theta$  با میدان جابه‌جایی، سپس روابط کرنش‌های برشی شعاعی-محیطی  $\gamma_{R\phi}$ ، کرنش‌های برشی شعاعی-نصف‌النهاری  $\gamma_{R\theta}$  و محیطی-نصف‌النهاری  $\gamma_{\phi\theta}$  با میدان جابه‌جایی در مختصات کروی بیان می‌گردد و در نهایت به بیان روابط مؤلفه‌های شعاعی  $E_R$ ، محیطی  $E_\phi$  و نصف‌النهاری  $E_\theta$  میدان الکتریکی با تابع توزیع پتانسیل الکتریکی در مختصات کروی پرداخته می‌شود [۱۹] و [۳۴].

$$\epsilon_R = \frac{\partial u_R}{\partial R} \quad (8-2)$$

$$\epsilon_\theta = \frac{1}{R} \frac{\partial u_\theta}{\partial \theta} + \frac{u_R}{R} \quad (9-2)$$

$$\epsilon_\phi = \frac{1}{R \sin \theta} \frac{\partial u_\phi}{\partial \phi} + \frac{u_R}{R} + \frac{u_\theta}{R \sin \theta} \cot \theta \quad (10-2)$$

$$\gamma_{R\theta} = \frac{1}{R} \frac{\partial u_R}{\partial \theta} + \frac{\partial u_\theta}{\partial R} - \frac{u_\theta}{R} \quad (11-2)$$

---

1.kinematic

$$\gamma_{R\phi} = \frac{1}{R \sin \theta} \frac{\partial u_R}{\partial \phi} + \frac{\partial u_\phi}{\partial R} - \frac{u_\phi}{R} \quad (12-2)$$

$$\gamma_{\phi\theta} = \frac{1}{R} \left( \frac{\partial u_\phi}{\partial \theta} - u_\phi \cot \theta + \frac{1}{\sin \theta} \frac{\partial u_\theta}{\partial \phi} \right) \quad (13-2)$$

$$E_R = - \frac{\partial \psi}{\partial R} \quad (14-2)$$

$$E_\theta = - \frac{1}{R} \frac{\partial \psi}{\partial \theta} \quad (15-2)$$

$$E_\phi = - \frac{1}{R \sin \theta} \frac{\partial \psi}{\partial \phi} \quad (16-2)$$

### ۳-۲-۲ روابط ساختاری

همچنین روابط ساختاری برای کره‌ی ناهمگن پیزوالکتریک به صورت زیر نوشته می‌شود.

$$\begin{bmatrix} \sigma_R \\ \sigma_\theta \\ \sigma_\phi \\ \tau_{\theta\phi} \\ \tau_{R\phi} \\ \tau_{R\theta} \end{bmatrix} = \begin{bmatrix} c_{11} & c_{12} & c_{12} & 0 & 0 & 0 \\ c_{12} & c_{22} & c_{23} & 0 & 0 & 0 \\ c_{12} & c_{23} & c_{22} & 0 & 0 & 0 \\ 0 & 0 & 0 & c_{44} & 0 & 0 \\ 0 & 0 & 0 & 0 & c_{55} & 0 \\ 0 & 0 & 0 & 0 & 0 & c_{55} \end{bmatrix} \begin{bmatrix} \varepsilon_R \\ \varepsilon_\theta \\ \varepsilon_\phi \\ \gamma_{\theta\phi} \\ \gamma_{R\phi} \\ \gamma_{R\theta} \end{bmatrix} - \begin{bmatrix} e_{11} & 0 & 0 \\ e_{12} & 0 & 0 \\ e_{12} & 0 & 0 \\ 0 & 0 & 0 \\ 0 & 0 & e_{35} \\ 0 & e_{35} & 0 \end{bmatrix} \begin{bmatrix} E_R \\ E_\theta \\ E_\phi \end{bmatrix} - \quad (17-2)$$

$$\begin{bmatrix} \lambda_{11} \\ \lambda_{22} \\ \lambda_{22} \\ 0 \\ 0 \\ 0 \end{bmatrix} \Theta$$

$$\begin{bmatrix} D_R \\ D_\theta \\ D_\phi \end{bmatrix} = \begin{bmatrix} e_{11} & e_{12} & e_{12} & 0 & 0 & 0 \\ 0 & 0 & 0 & 0 & 0 & e_{35} \\ e_{12} & e_{23} & e_{22} & 0 & e_{35} & 0 \end{bmatrix} \begin{bmatrix} \varepsilon_R \\ \varepsilon_\theta \\ \varepsilon_\phi \\ \gamma_{\theta\phi} \\ \gamma_{R\phi} \\ \gamma_{R\theta} \end{bmatrix} + \quad (18-2)$$

$$\begin{bmatrix} \epsilon_{11} & 0 & 0 \\ 0 & \epsilon_{22} & 0 \\ 0 & 0 & \epsilon_{22} \end{bmatrix} \begin{bmatrix} E_R \\ E_\theta \\ E_\phi \end{bmatrix}$$

در روابط ساختاری فوق  $c_{11}, c_{12}, c_{22}, c_{23}, c_{44}$  و  $c_{55}$  ثوابت الاستیک،  $e_{11}, e_{12}$  و  $e_{35}$  ثوابت پیزوالکتریک-تنش،  $\lambda_{11}$  و  $\lambda_{22}$  ثوابت تنش حرارتی-دما و  $\epsilon_{11}$  و  $\epsilon_{22}$  ثوابت دیالکتریک می‌باشند.

## ۴-۲ رابطه‌ی انتقال حرارت هدایتی

رابطه‌ی کلی انتقال حرارت هدایتی در حالت سه بعدی و در شرایطی که محیط دارای یک وضعیت پایدار است، با استفاده از مرجع [۳۴]، به صورت زیر نوشته می‌شود.

$$\frac{\partial}{\partial X_i} \left( K_{ij} \frac{\partial \theta}{\partial X_j} \right) = 0 \quad (i, j = 1, 2, 3) \quad (19-2)$$

که در رابطه‌ی فوق، ضرایب  $K_{ij}$ ، یک تانسور متقارن تشکیل داده و ضرایب هدایت حرارتی در جهات مختلف می‌باشند. در این رابطه  $\theta$ ،تابع اسکالر توزیع دما بوده و  $X_i$  مؤلفه‌های دستگاه مختصات کروی را تشکیل می‌دهند.

در یک محیط همسان داریم.

$$K_{ij} = K \delta_{ij} \quad (20-2)$$

واضح است که در نوشتار استاندارد تانسوری (نمادگذاری شاخصی)، زیرنویس لاتین استفاده شده، از ۱ تا ۳ متغیر است. بنابراین در یک محیط همسان، ضرایب هدایت حرارتی در تمام جهات یکسان است.

در یک محیط همسان و همسان‌گرد، رابطه‌ی (۱۹-۲) به صورت زیر تبدیل می‌شود.

$$K \nabla^2 \theta = 0 \quad (21-2)$$

رابطه‌ی کلی انتقال حرارت هدایتی، در مختصات کروی و با در نظر گرفتن شرایط فوق به صورت زیر خواهد بود.

$$\frac{1}{R^2} \frac{\partial}{\partial R} \left( K R^2 \frac{\partial \theta}{\partial R} \right) + \frac{1}{R^2 \sin \theta} \frac{\partial}{\partial \theta} \left( K \sin \theta \frac{\partial \theta}{\partial \theta} \right) + \frac{1}{R^2 \sin^2 \theta} \frac{\partial}{\partial \phi} \left( K \frac{\partial \theta}{\partial \phi} \right) = 0 \quad (22-2)$$

که در این رابطه  $K$ ، ضریب انتقال حرارت هدایتی می‌باشد.

## ۳-۲ تحلیل ریاضی مسأله

پوسته‌ی کروی مورد مطالعه دارای جداری ثابت می‌باشد و از جنس مواد ناهمگن و همسانگرد عرضی<sup>۱</sup> است که خاصیت ماده‌ی آن در راستای شعاعی متفاوت از دو راستای دیگر می‌باشد ناهمگنی خواص در این پژوهش به صورت توانی در نظر گرفته می‌شود در این قسمت، یک کره‌ی جدار ضخیم به شعاع داخلی  $a$ ، شعاع خارجی  $b$  و شعاع بی‌بعد  $r$  که به صورت  $\frac{R}{R_i} = r$  نرمالیز شده و در آن  $R$  مقداری میان  $a$  و  $b$  دارد را در نظر گرفته می‌شود. برای تحلیل، دستگاه مختصات کروی که مبدأ آن در مرکز کره است را در نظر گرفته می‌شود و با استفاده از فرضیات حاکم بر مسأله، به استخراج معادلات پرداخته می‌شود.

## ۳-۱ فرضیات حاکم

در این قسمت به دلیل تقارن در هندسه، بارگذاری و ماده‌ی کره، تحلیل ریاضی مورد نظر را می-توان با استفاده از تئوری الاستیسیته‌ی مستوی (PET) انجام داد. لذا در این شرایط کره در دو جهت دارای شرایط متقارن محوری می‌باشد.

$$\frac{\partial}{\partial \theta} = 0, \frac{\partial}{\partial \phi} = 0 \quad (23-2)$$

بنابراین توابع بیان کننده‌ی رفتار مکانیکی، الکتریکی و حرارتی تنها تابعی از شعاع  $R$  کره می‌باشند.

با توجه به آنچه بیان شد؛ می‌توان گفت:

$$\sigma_\theta = \sigma_\phi, \quad \varepsilon_\theta = \varepsilon_\phi \quad (24-2)$$

همچنین میدان جابه‌جایی به صورت زیر خواهد بود.

---

1.Transversely Isotropic

$$\begin{cases} u_R = u_R(R) = R_i u_r(r) \\ u_\theta = 0 \\ u_\phi = 0 \end{cases} \quad (25-2)$$

در رابطه‌ی فوق،  $u_R$ ،  $u_\theta$  و  $u_\phi$  به ترتیب مؤلفه‌های جابه‌جایی در راستای شعاعی، نصف‌النهاری و محیطی هستند که  $u_R$  تابعی از شعاع کره ( $R$ ) می‌باشد.

## ۴-۲ ساده سازی روابط

با توجه به فرضیات حاکم و قابلیت استفاده از نظریه‌ی الاستیسیته‌ی مستوی جهت تحلیل مسئله؛ همانطور که در رابطه‌ی (۲۳-۲) نشان داده شد رفتار مکانیکی، الکتریکی و حرارتی کره به دلیل تقارن محوری مستقل از مختصه‌ی  $\theta$  و  $\phi$  بوده و فقط تابعی از شعاع کره می‌باشد. بنابراین روابط تعادل، سینماتیک<sup>۱</sup> و ساختاری استخراج شده در بخش‌های قبل، قابل ساده‌سازی می‌باشند.

### ۴-۲-۱ روابط سینماتیک

برای روابط سینماتیک با توجه به ارتباط میان کرنش- جابه‌جایی مکانیکی و میدان الکتریکی - پتانسیل الکتریکی با در نظر گرفتن فرضیات حاکم بر مسئله خواهیم داشت.

$$\varepsilon_R = \frac{du_r}{dr} \quad (26-2)$$

$$\varepsilon_\theta = \frac{u_r}{r} \quad (27-2)$$

$$\varepsilon_\phi = \frac{u_r}{r} \quad (28-2)$$

$$\gamma_{r\theta} = \gamma_{r\phi} = \gamma_{\phi\theta} = 0 \quad (29-2)$$

$$E_R = -\frac{d\psi}{dR} \quad (30-2)$$

---

1. Kinematic

$$E_\theta = E_\phi = 0 \quad (31-2)$$

بنابراین تانسور میدان کرنش  $\tilde{\epsilon}$ ، به صورت زیر خواهد بود.

$$\tilde{\epsilon} = \begin{bmatrix} \frac{du_r}{dr} & 0 & 0 \\ 0 & \frac{u_r}{r} & 0 \\ 0 & 0 & \frac{u_r}{r} \end{bmatrix} \quad (32-2)$$

همچنین برای بردار میدان الکتریکی  $\vec{E}$ ، داریم.

$$\vec{E} = \left\{ -\frac{d\psi}{dr}, 0, 0 \right\} \quad (33-2)$$

## ۴-۲ روابط ساختاری

با استفاده از معادلات ساختاری (۱۷-۲) و (۱۸-۲) و نظر به آنچه که در بخش فرضیات حاکم بر

مسئله گفته شد، با توجه به این‌که برخی از مؤلفه‌های میدان کرنش و الکتریکی صفر می‌باشند؛

می‌توان معادلات ساختاری را به شکل کاوش‌یافته‌ی زیر بیان نمود.

$$\begin{bmatrix} \sigma_R \\ \sigma_\theta \\ \sigma_\phi \end{bmatrix} = \begin{bmatrix} c_{11} & c_{12} & c_{12} \\ c_{12} & c_{22} & c_{23} \\ c_{12} & c_{23} & c_{22} \end{bmatrix} \begin{bmatrix} \epsilon_R \\ \epsilon_\theta \\ \epsilon_\phi \end{bmatrix} - \begin{bmatrix} e_{11} \\ e_{12} \\ e_{12} \end{bmatrix} E_R - \begin{bmatrix} \lambda_{11} \\ \lambda_{22} \\ \lambda_{22} \end{bmatrix} \Theta(r) \quad (34-2)$$

$$D_R = [e_{11} \quad e_{12} \quad e_{12}] \begin{bmatrix} \epsilon_R \\ \epsilon_\theta \\ \epsilon_\phi \end{bmatrix} + [\epsilon_{11}] [E_R] \quad (35-2)$$

## ۴-۳ روابط تعادل و بارخطی الکترواستاتیک

با توجه به فرضیات حاکم بر مسئله و در غیاب نیروهای حجمی، روابط تعادل تنش و بار خطی الکترواستاتیک به این صورت ساده می‌شوند.

$$\frac{d\sigma_R}{dr} + \frac{2}{r}(\sigma_R - \sigma_\theta) = 0 \quad (36-2)$$

$$\frac{1}{r^2} \frac{d}{dr}(r^2 D_R) = 0 \quad (37-2)$$

با یک بار انتگرال‌گیری از رابطه‌ی (37-2) می‌توان نوشت.

$$D_R = \frac{S_1}{r^2} \quad (38-2)$$

با استفاده از رابطه‌ی فوق می‌توان رابطه‌ی (35-2) را به صورت زیر نوشت.

$$E_R = \frac{S_1}{\epsilon_{11}} \left( \frac{1}{r^2} \right) - \left( \frac{e_{11}}{\epsilon_{11}} \right) \varepsilon_r - 2 \left( \frac{e_{12}}{\epsilon_{11}} \right) \varepsilon_\theta \quad (39-2)$$

از جایگذاری رابطه‌ی به دست آمده در رابطه‌ی (34-2)، خواهیم داشت.

$$\begin{bmatrix} \sigma_R \\ \sigma_\theta \\ \sigma_\phi \end{bmatrix} = \left\{ \begin{bmatrix} c_{11} & c_{12} & c_{12} \\ c_{12} & c_{22} & c_{23} \\ c_{12} & c_{23} & c_{22} \end{bmatrix} + \begin{bmatrix} \mu_1^2 & \mu_1 \mu_2 & \mu_1 \mu_2 \\ \mu_1 \mu_2 & \mu_2^2 & \mu_2^2 \\ \mu_1 \mu_2 & \mu_2^2 & \mu_2^2 \end{bmatrix} \right\} \begin{bmatrix} \varepsilon_R \\ \varepsilon_\theta \\ \varepsilon_\phi \end{bmatrix} - \begin{bmatrix} q_1 \\ q_2 \\ q_2 \end{bmatrix} \frac{S_1}{r^2} - \begin{bmatrix} \lambda_{11} \\ \lambda_{22} \\ \lambda_{22} \end{bmatrix} \Theta(r) \quad (40-2)$$

که در آن  $q$  و  $\mu$  به صورت زیر تعریف می‌شوند.

$$q_1 = \frac{e_{11}}{\epsilon_{11}} \quad ; \quad \mu_1 = \frac{e_{11}}{\sqrt{\epsilon_{11}}} \quad (41-2)$$

$$q_2 = \frac{e_{12}}{\epsilon_{11}} \quad ; \quad \mu_2 = \frac{e_{12}}{\sqrt{\epsilon_{11}}} \quad (42-2)$$

## ۲-۵ ناهمنگی خواص

همانطور که در فصل قبل اشاره شد در مواد FG خواص مکانیکی، حرارتی و الکتریکی ماده به‌طور پیوسته تغییر می‌کند. در این تحلیل همه خواص به‌جز نسبت پواسون در راستای ضخامت کره به صورت تابع توانی بر حسب شعاع کره تغییر می‌کنند. لذا تغییرات خواص برای مواد FG به صورت زیر خواهد بود.

### ثوابت الاستیک

ثوابت الاستیک به شکل تابعی از شعاع بیان می‌شوند که  $c_{11}^0, c_{12}^0, c_{22}^0$  و  $c_{23}^0$  ثوابت الاستیک در شعاع داخلی کره و  $n_1, n_2, n_3$  و  $n_4$  ثوابت ناهمنگی هستند که به ترتیب مربوط به خواص  $c_{11}$

$c_{11}$ ،  $c_{12}$  و  $c_{23}$  می‌باشند.

$$\begin{aligned} c_{11} &= c^0_{11} \left( \frac{R}{R_i} \right)^{n_1} \\ c_{12} &= c^0_{12} \left( \frac{R}{R_i} \right)^{n_2} \\ c_{22} &= c^0_{22} \left( \frac{R}{R_i} \right)^{n_3} \\ c_{23} &= c^0_{23} \left( \frac{R}{R_i} \right)^{n_4} \end{aligned} \quad (43-2)$$

### ثوابت پیزوالکتریک-تنش

به کمک رابطه‌ی (۷-۱) برای ثوابت پیزوالکتریک-تنش می‌توان نوشت.

$$\begin{aligned} e_{11} &= e^0_{11} \left( \frac{R}{R_i} \right)^{n_5} \\ e_{12} &= e^0_{12} \left( \frac{R}{R_i} \right)^{n_6} \end{aligned} \quad (44-2)$$

در رابطه‌ی فوق  $e_{11}^0$  و  $e_{12}^0$  ثوابت پیزوالکتریک-تنش در شعاع داخلی کره و  $n_5$  و  $n_6$  ثوابت

ناهمگنی هستند که به ترتیب مربوط به خواص  $e_{11}$  و  $e_{12}$  می‌باشند.

### ناهمگنی ثوابت تنش حرارتی-دما

همچنین ثوابت تنش حرارتی-دما را می‌توان به صورت زیر بیان نمود.

$$\begin{aligned} \lambda_{11} &= \lambda^0_{11} \left( \frac{R}{R_i} \right)^{n_7} \\ \lambda_{12} &= \lambda^0_{12} \left( \frac{R}{R_i} \right)^{n_8} \end{aligned} \quad (45-2)$$

که در رابطه‌ی فوق  $\lambda_{11}^0$  و  $\lambda_{22}^0$  ثوابت تنش حرارتی-دما در شعاع داخلی کره و  $n_7$  و  $n_8$  ثوابت

ناهمگنی هستند که به ترتیب مربوط به خواص  $\lambda_{11}$  و  $\lambda_{22}$  می‌باشند.

### ناهمگنی ثابت دیالکتریک

برای ثوابت دیالکتریک با توجه به رابطه‌ی (۷-۱) می‌توان نوشت.

$$\epsilon_{11} = \epsilon^0_{11} \left( \frac{R}{R_i} \right)^{n_9} \quad (46-2)$$

$\epsilon_{11}^0$  ثابت دیالکتریک در شعاع داخلی کره و  $n_9$  ثابت ناهمنگی است که مربوط به

رابطه‌ی فوق می‌باشند.

## ناهمگنی ضرایب هدایت حرارتی

ضریب هدایت حرارتی را نیز می‌توان به شکل تابعی از شعاع بیان کرد که  $k^0$  ضریب هدایت حرارتی در شعاع داخلی کره و  $n_{10}$  ثابت ناهمگنی می‌باشد.

$$K = K^0 \left( \frac{R}{R_i} \right)^{n_{10}} \quad (47-2)$$

## ناهمگنی چگالی

همچنین برای چگالی با توجه به رابطه‌ی (۱-۷) داریم.

$$\rho = \rho^0 \left( \frac{R}{R_i} \right)^{n_{11}} \quad (48-2)$$

که  $\rho^0$  مقدار چگالی در شعاع داخلی کره و  $n_{11}$  ثابت ناهمگنی مربوط به آن می‌باشد.

## رابطه‌ی انتقال حرارت هدایتی

از آنجائیکه رفتار حرارتی کره به دلیل تقارن محوری، مستقل از مختصه‌ی  $\theta$  و  $\phi$  بوده و فقط تابعی از شعاع کره می‌باشد برای مشخص کردن رابطه‌ی  $\Theta(r)$  در رابطه‌ی (۲۲-۲) فرض می‌شود که انتقال حرارت به صورت یکنواخت و در راستای شعاعی است. بنابراین معادله‌ی انتقال حرارت در شرایط دما-حالت پایدار به این صورت ساده می‌شود

$$\frac{1}{r^2} \frac{\partial}{dr} \left( r^2 K(r) \frac{d\Theta(r)}{dr} \right) = 0 \quad (49-2)$$

که در این رابطه  $k(r)$  ضریب انتقال حرارت هدایتی می‌باشد و برای مواد تابعی مطابق رابطه‌ی (۴۷-۲) خواهد بود.

بنابراین حل معادله به این صورت خواهد بود.

$$n_{10} - 1 \neq 0$$

در حالتی که  $n_{10} - 1 \neq 0$  با حل معادله انتقال حرارت می‌توان نوشت.

$$\Theta(r) = c_1 r^{-(n_{10}+1)} + c_2 \quad (50-2)$$

که در آن  $c_1$  و  $c_2$  دو ثابت دلخواه می‌باشند. شرایط مرزی دمایی برای کره‌ی توخالی به FGM

صورت زیر است:

$$\begin{cases} \Theta|_{r=1} = \Theta_i & r = 1 \\ \Theta|_{r=k} = \Theta_o & r = k \end{cases} \quad (51-2)$$

پس از اعمال شرایط مرزی در معادله‌ی انتقال حرارت ثابت‌های  $c_1$  و  $c_2$  به صورت زیر خواهد

بود.

$$\begin{cases} c_1 = -\frac{(\Theta_i - \Theta_o)}{\left(\frac{1}{k^{n_{10}+1}} - 1\right)} \\ c_2 = \frac{\left(\frac{\Theta_i}{k^{n_{10}+1}} - \Theta_o\right)}{\left(\frac{1}{k^{n_{10}+1}} - 1\right)} \end{cases} \quad (52-2)$$

که در آن  $k = \frac{b}{a}$  بوده و  $\Theta_i$  و  $\Theta_o$  به ترتیب دمایی مورد نظر در جدار داخلی و خارجی کره

هستند. با قرار دادن ثابت‌های به دست آمده در رابطه‌ی  $(r, \Theta)$ , معادله‌ی توزیع دما در طول جداره به دست خواهد آمد.

$$n_{10} = -1 \quad (\text{ب})$$

در این حالت معادله‌ی انتقال حرارت به صورت زیر می‌باشد.

$$\Theta(r) = c_1 \ln r + c_2 \quad (53-2)$$

شرایط مرزی دمایی برای این حالت به صورت زیر است.

$$\begin{cases} \Theta|_{r=1} = \Theta_i & r = 1 \\ \Theta|_{r=k} = \Theta_o & r = k \end{cases} \quad (54-2)$$

ثابت‌های  $c_1$  و  $c_2$  نیز به صورت زیر به دست خواهند آمد.

$$\begin{cases} c_1 = -\frac{(\Theta_i - \Theta_o)}{\ln k} \\ c_2 = \Theta_i \end{cases} \quad (55-2)$$

با قرار دادن ثابت‌های به دست آمده در رابطه  $(r)\Theta$ ، معادله‌ی توزیع دما در طول جداره برای

$$n_{10} \text{ به دست خواهد آمد.}$$

## ۶-۲ استخراج روابط

با توجه به رابطه‌ی (۳۴-۲) و همچنین استفاده از معادلات سینماتیک حاکم بر مسئله، می‌توان روابط تنش را به صورت زیر بازنویسی کرد

$$\begin{cases} \sigma_R = A_1 r^n \frac{du}{dr} + 2A_2 r^{n-1} u - A_3 r^{2n} \Theta(r) - A_4 \frac{S_1}{r^2} \\ \sigma_\theta = A_2 r^n \frac{du}{dr} + A_5 r^{n-1} u - A_6 r^{2n} \Theta(r) - A_4 A_7 \frac{S_1}{r^2} \end{cases} \quad (56-2)$$

که در این رابطه ثوابت  $A_1$  تا  $A_7$  به این صورت تعریف می‌شوند.

$$A_1 = c^0_{11} + \frac{e^0_{11}}{\epsilon^0_{11}}^2 \quad (57-2)$$

$$A_2 = c^0_{12} + \frac{e^0_{11} e^0_{12}}{\epsilon^0_{11}} \quad (58-2)$$

$$A_3 = \lambda^0_{11} \quad (59-2)$$

$$A_4 = \frac{e^0_{11}}{\epsilon^0_{11}} \quad (60-2)$$

$$A_5 = c^0_{22} + c^0_{23} + \frac{2e^0_{12}}{\epsilon^0_{11}}^2 \quad (61-2)$$

$$A_6 = \lambda^0_{22} \quad (62-2)$$

$$A_7 = \frac{e^0_{12}}{e^0_{11}} \quad (63-2)$$

در صورتی که رابطه‌ی (۵۶-۲) را در معادله‌ی تعادل تنش قرار دهیم به معادله‌ی دیفرانسیل

خطی و ناهمگن زیر خواهیم رسید.

$$r^2 \ddot{u} + (n+2)r\dot{u} + 2w_1 u = 2[w_2(n+1) - w_4]r^{n+1}\Theta(r) + w_2 r^{n+2} \frac{\partial \Theta(r)}{\partial r} - \\ 2w_3 \frac{S_1}{r^{n+1}} \quad (64-2)$$

این رابطه در واقع همان رابطه‌ی ناویر برای کره‌ی ناهمگن پیزوالکتریک تحت گرادیان دمایی می‌باشد.

که در آن:

$$w_1 = \frac{A_2(n+1) - A_5}{A_1} \quad (65-2)$$

$$w_2 = \frac{A_3}{A_1} \quad (66-2)$$

$$w_3 = \frac{A_4 A_7}{A_1} \quad (67-2)$$

$$w_4 = \frac{A_6}{A_1} \quad (68-2)$$

## ۱-۶-۲ حل رابطه‌ی ناویر

### حل عمومی

با توجه به آنکه معادله‌ی استخراج شده‌ی ناویر، یک معادله‌ی خطی ناهمگن است بنابراین دارای دو پاسخ عمومی و خصوصی می‌باشد.

برای حل عمومی معادله‌ی ناویر، با در نظر گرفتن حل کلی  $u_r(r) = cr^m$  و قراردادن آن در قسمت همگن معادله‌ی دیفرانسیل، به معادله‌ی مشخصه‌ی زیر به‌دست می‌آید.

$$m^2 + (n+1)m + 2w_1 = 0 \quad (69-2)$$

همچنین ریشه‌های معادله‌ی مشخصه به صورت زیر به‌دست می‌آید.

$$m_1 = \frac{-(n+1)+\sqrt{((n+1)^2+8w_1)}}{2} ; \quad m_2 = \frac{-(n+1)-\sqrt{((n+1)^2+8w_1)}}{2} \quad (70-2)$$

در این حالت، حل رابطه‌ی اولرکوشی<sup>۱</sup> (۶۹-۲) به صورت زیر خواهد بود.

$$u_g = c_3 r^{m_1} + c_4 r^{m_2} \quad (71-2)$$

که در آن  $c_3$  و  $c_4$  ثوابتی هستند که باید محاسبه شوند. برای اینکه این دو ثابت مشخص شوند

باید از شرایط مرزی استفاده کرد. از آنجائیکه کره‌ی مورد نظر تحت فشار داخلی یکنواخت  $p_i$  و فشار  
یکنواخت خارجی  $p_0$  قرار دارد بنابراین می‌توان شرایط مرزی را به صورت زیر بیان کرد

$$\sigma_R|_{r=1} = -p_i , \quad \sigma_R|_{r=k} = -p_0 \quad (72-2)$$

بنابراین با بهره‌گیری از شرایط مرزی تنش شعاعی و حل دو معادله‌ی مورد نظر به‌طور همزمان،

می‌توان ثابت مورد نظر را به دست آورد که در ادامه خواهیم آورد.

### حل خصوصی

برای یافتن پاسخ خصوصی رابطه‌ی ناویر از روش ماتریس رونسکین استفاده می‌کنیم. بنابراین  
خواهیم داشت.

$$u_p = r^{m_1} \int \frac{-r^{m_2} R(r)}{f(r^{m_1}, r^{m_2})} dr + r^{m_2} \int \frac{r^{m_1} R(r)}{f(r^{m_1}, r^{m_2})} dr \quad (73-2)$$

که در آن:

$$R(r) = 2[w_2(n+1) - w_4]r^{n+1}\Theta(r) + w_2 r^{n+2} \frac{\partial \Theta(r)}{\partial r} - 2w_3 \frac{S_1}{r^{n+1}} \quad (74-2)$$

$$f(r^{m_1}, r^{m_2}) = \begin{vmatrix} r^{m_1} & r^{m_2} \\ m_1 r^{m_1-1} & m_2 r^{m_2-1} \end{vmatrix} = (m_2 - m_1) r^{m_2+m_1-1} \quad (75-2)$$

رابطه‌ی (۷۳-۲) را می‌توان به صورت خلاصه تر بازنویسی کرد.

$$u_p = L_1(r)r^{m_1} + L_2(r)r^{m_2} \quad (76-2)$$

که در آن:

---

1.Cauchy

$$\begin{cases} L_1(r) = \int \frac{-r^{m_2}\{2[w_2(n+1)-w_4]r^{n+1}\Theta(r) + w_2r^{n+2}\frac{\partial\Theta(r)}{\partial r} - 2w_3\frac{S_1}{r^{n+1}}\}}{(m_2-m_1)r^{m_2+m_1-1}} dr \\ L_2(r) = \int \frac{r^{m_1}\{2[w_2(n+1)-w_4]r^{n+1}\Theta(r) + w_2r^{n+2}\frac{\partial\Theta(r)}{\partial r} - 2w_3\frac{S_1}{r^{n+1}}\}}{(m_2-m_1)r^{m_2+m_1-1}} dr \end{cases} \quad (77-2)$$

برای حل انتگرال‌های فوق باید دو حالت زیر را در نظر بگیریم.

**الف)  $n \neq -1$**

با جایگذاری رابطه‌ی  $\Theta(r)$  معادله‌ی (۵۰-۲) در روابط (۷۷-۲) و محاسبه‌ی انتگرال‌ها خواهیم

داشت.

$$L_1(r) = \frac{1}{(m_2-m_1)} \left\{ \frac{[2(n+1)w_2 - 2w_4]c_2}{3-m_1+n} r^{3-m_1+n} + \frac{[(n+1)w_2 - 2w_4]c_1}{2-m_1} r^{2-m_1} - \frac{2w_3S_1}{1-(m_1+n)} r^{1-(m_1+n)} \right\} \quad (78-2)$$

$$L_2(r) = \frac{1}{(m_2-m_1)} \left\{ \frac{[2(n+1)w_2 - 2w_4]c_2}{3-m_2+n} r^{3-m_2+n} + \frac{[(n+1)w_2 - 2w_4]c_1}{2-m_2} r^{2-m_2} - \frac{2w_3S_1}{1-(m_2+n)} r^{1-(m_2+n)} \right\} \quad (79-2)$$

**ب)  $n = -1$**

در این حالت نیز با جایگذاری رابطه‌ی  $\Theta(r)$  معادله‌ی (۵۳-۲) در روابط (۷۷-۲) خواهیم داشت.

$$L_1(r) = \frac{1}{(m_2-m_1)} \left\{ \frac{2[(n+1)w_2 - w_4](c_1 \ln r + c_2) + w_2c_1}{3-m_1+n} r^{3-m_1+n} - \frac{2w_3S_1}{1-(m_1+n)} r^{1-(m_1+n)} \right\} \quad (80-2)$$

$$L_2(r) = \frac{1}{(m_2-m_1)} \left\{ \frac{2[(n+1)w_2 - w_4](c_1 \ln r + c_2) + w_2c_1}{3-m_2+n} r^{3-m_2+n} - \frac{2w_3S_1}{1-(m_2+n)} r^{1-(m_2+n)} \right\} \quad (81-2)$$

لذا حل کلی رابطه‌ی جابه‌جایی به صورت مجموع حل عمومی و خصوصی، به صورت زیر خواهد بود.

$$u(r) = u_g(r) + u_p(r) = [c_3 + L_1(r)]r^{m_1} + [c_4 + L_2(r)]r^{m_2} \quad (82-2)$$

اکنون با قرار دادن رابطه‌ی جابه‌جایی شعاعی در معادله‌ی (۵۶-۲) می‌توان روابط تنش را به-

صورت زیر استخراج کرد.

$$\sigma_R = Q_1 r^{n+m_1-1} + Q_2 r^{n+m_2-1} + A_1 \left( \frac{dL_1(r)}{dr} r^{n+m_1} + \frac{dL_2(r)}{dr} r^{n+m_2} \right) - A_3 r^{2n} \Theta(r) - A_4 \frac{S_1}{r^2} \quad (83-2)$$

$$\sigma_\theta = Q_3 r^{n+m_1-1} + Q_4 r^{n+m_2-1} + A_2 \left( \frac{dL_1(r)}{dr} r^{n+m_1} + \frac{dL_2(r)}{dr} r^{n+m_2} \right) - A_3 r^{2n} \Theta(r) - A_4 A_7 \frac{S_1}{r^2} \quad (84-2)$$

که در آن:

$$\begin{cases} Q_1 = (c_3 + L_1(r))(A_1 m_1 + 2A_2) \\ Q_2 = (c_4 + L_2(r))(A_1 m_2 + 2A_2) \end{cases} \quad (85-2)$$

همانطور که اشاره شد با استفاده از شرایط مرزی (۷۲-۲) می‌توان ضرایب  $c_3$  و  $c_4$  را به دست آورد.

### استخراج رابطه‌ی پتانسیل الکتریکی

به منظور استخراج رابطه‌ی توزیع پتانسیل الکتریکی در جسم از رابطه‌ی (۳۰-۲) استفاده می-

کنیم.

از آنجائیکه:

$$E_r = -\frac{d\psi}{dr} \quad (86-2)$$

بنابراین با یک بار انتگرال‌گیری از رابطه‌ی (۳۹-۲) می‌توان رابطه‌ی توزیع پتانسیل الکتریکی در جسم

را به دست آورد.

$$\frac{d\psi}{dr} = \left( \frac{e_{11}}{\epsilon_{11}} \right) \frac{du(r)}{dr} + \left( \frac{e_{12}}{\epsilon_{11}} \right) \frac{u(r)}{r} - \frac{S_1}{\epsilon_{11}} \left( \frac{1}{r^2} \right) \quad (87-2)$$

بنابراین با یک بار انتگرال‌گیری از رابطه‌ی فوق خواهیم داشت.

$$\psi(r) = \left( \frac{e_{11}^0}{\epsilon_{11}^0} \right) u(r) + 2 \int \left( \frac{e_{12}^0}{\epsilon_{11}^0} \right) \frac{u(r)}{r} - \frac{S_1}{(n+1)\epsilon_{11}^0} \left( \frac{1}{r^{n+1}} \right) + S_2 \quad (88-2)$$

برای محاسبه‌ی ثوابت  $S_1$  و  $S_2$  باید از شرایط مرزی الکتریکی مسأله بهره برد. همانطور که اشاره شد، سازه‌ی مورد نظر تحت جریان یکنواخت پتانسیل الکتریکی قرار داشته و در سطح داخلی و خارجی خود دارای پتانسیل الکتریکی می‌باشد. بنابراین طبق آنچه گفته شد داریم.

$$\psi(r)|_{r=1} = \psi_i \quad , \quad \psi(r)|_{r=k} = \psi_0 \quad (89-2)$$

شایان ذکر است عملیات ریاضی به منظور اعمال شرایط مرزی و استخراج ثابت‌های رابطه‌ی پتانسیل الکتریکی و جابه‌جایی شعاعی توسط برنامه‌ی نوشته شده در نرم‌افزار Maple 14 انجام شده است.



### فصل ۳

## تحلیل الکتروالاستیک کره‌های چرخان FGPM

### تحت بارگذاری مکانیکی

## ۱-۳ مقدمه

در این فصل ابتدا نحوهٔ تحلیل اجزای محدود مسأله توضیح داده می‌شود. درگام بعد به حل تحلیلی کره‌ی پیزوالکتریک تحت بارگذاری مکانیکی بدون در نظر گرفتن چرخش پرداخته می‌شود، سپس مطالعه‌ی موردی انجام گرفته و اثر مقادیر مختلف ثابت ناهمگنی و شرایط مختلف بارگذاری بر روی نتایج بررسی می‌شود و در مرحله‌ی بعد نتایج حاصل از حل تحلیلی و اجزای محدود مسأله با یکدیگر مقایسه می‌شوند. درگام آخر نیز حل عددی کره‌ی پیزو الکتریک چرخان تحت فشار داخلی در دو موقعیت مختلف که در ادامه می‌آید ارائه می‌گردد. شایان ذکر است فرضیات به کار رفته در حل تحلیلی فصل گذشته در این پژوهش هنگامیکه کره در حال چرخش می‌باشد بر قرار نبوده و دیگر نمیتوان از روش تحلیلی بیان شده در فصل گذشته برای بدست آوردن نتایج کره در حال چرخش استفاده کرد از این رو نتایج برای کره در حال چرخش تنها با استفاده روش اجزای محدود گزارش شده است..

## ۲-۳ تحلیل اجزای محدود کره‌ی پیزو الکتریک در ANSYS

به منظور تحلیل اجزای محدود مواد با خاصیت پیزوالکتریک از نرم‌افزار ANSYS 12.0 در این پژوهش، استفاده می‌گردد.

## ۱-۲-۳ مدل‌سازی مواد ناهمگن

همان طور که بیان شد در مواد ناهمگن خواص به صورت تدریجی تغییر می‌کند. در نرم‌افزار ANSYS 12.0 المانی جهت تعریف و مدل‌سازی مواد ناهمگن وجود ندارد؛ بنابراین برای تحلیل، کره به لایه‌های زیادی با ضخامت یکسان  $d$  تقسیم می‌شود؛ به طوری که تغییرات خواص در هر لایه اندک باشد و بتوان خواص ثابتی را به هر لایه نسبت داد.

$$M^n = M|_R = R_m^n ; R_m^n = (R_i^n + \frac{d}{2}) \quad (1-3)$$

در رابطه‌ی فوق  $M^n$  خاصیت در لایه‌ی  $n$  است که با توجه به شعاع متوسط آن  $R_m^n$  تعیین می‌گردد،  $R_i^n$  نیز شعاع داخلی لایه‌ی  $n$  است. با استفاده از روابط (۱-۳) و (۴۳-۲) تا (۴۸-۲) خواص برای هر لایه محاسبه می‌شود و به آن اختصاص می‌یابد، سپس این لایه‌ها به هم متصل می‌شوند و کره‌ی پیزوالکتریک ناهمگن را به وجود می‌آورند.

برای بررسی اثر ثابت ناهمگنی کلیه‌ی ثوابت ناهمگنی برابر ثابت ناهمگنی کل  $n$  فرض می‌شود و مقادیر  $n=2,-1,0,1,2$  مورد مطالعه قرار می‌گیرند. در این حالت داریم.

$$n_1 = n_2 = n_3 = n_4 = n_5 = n_6 = n_7 = n_8 = n_9 = n_{10} = n_{11} = n \quad (۲-۳)$$

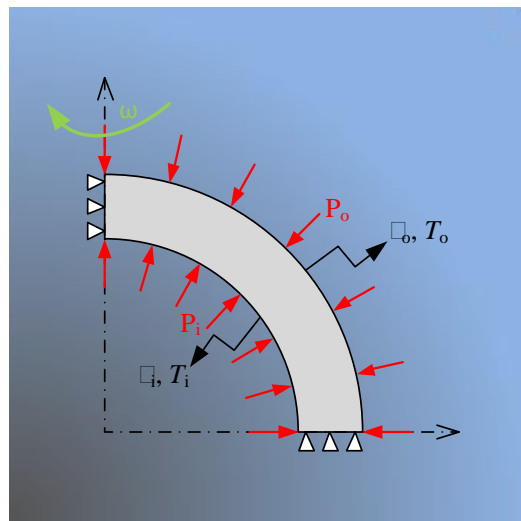
## ۲-۲-۳ انتخاب المان و شبکه‌بندی مسئله

نظر به آنچه که در بخش فرضیات حاکم بر مسئله، در فصل دوم بیان شد؛ مسئله حالت متقارن محوری دارد. در این حالت نیازی به مدل‌سازی سه بعدی نیست و می‌توان از المان‌های دو بعدی نرم‌افزار که قابلیت تقارن محوری دارند، استفاده کرد و حتی نتایج را به صورت سه بعدی استخراج کرد [۳۰].

در نرم‌افزار ANSYS با استفاده از المان PLANE223 می‌توان کره‌ی پیزوالکتریک را تحلیل کرد. این المان دو بعدی از هشت گره تشکیل شده که تا چهار درجه آزادی (دو درجه برای جابه‌جایی، یک درجه برای پتانسیل الکتریکی و یک درجه برای دما) را برای هر گره تأمین می‌کند. این المان دارای دقت بالا برای تحلیل مسائل متقارن محوری می‌باشد.

بنابراین مدل‌سازی مسئله به صورت دو بعدی انجام می‌شود. برای این منظور مطابق شکل (۱-۳)، یک هشتم کره به صورت دو بعدی به شکل ربع قطاع دایره مدل‌سازی می‌گردد.

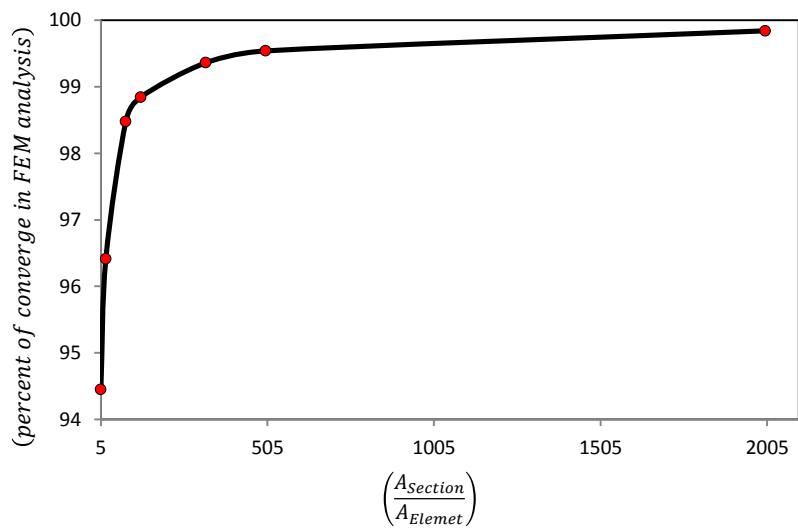
شبکه‌بندی باید به صورتی انجام گیرد که تحلیل المان محدود مستقل از شبکه‌بندی باشد و نتایج به دست آمده قابل اطمینان باشند. برای این منظور المان PLANE223 باید به نحوی بر روی ربع قطاع دایره قرار گیرند که تقریباً به شکل مربع باشند.



شکل ۱-۳ مدل سازی مقطع کره‌ی چرخان تحت بارگذاری الکتروترمو مکانیکی

شکل (۲-۳) شبکه‌بندی مناسب جهت تحلیل را نشان می‌دهد، زمانی که مساحت مقطع (

) حدود ۱۵۰ برابر مساحت المان شبه مربعی شکل ( $A_{Element}$ ) باشد؛ نتایج حاصل از تحلیل المان محدود به همگرایی در حدود ۹۹٪ می‌رسد و تحلیل پذیرفتی خواهد بود.



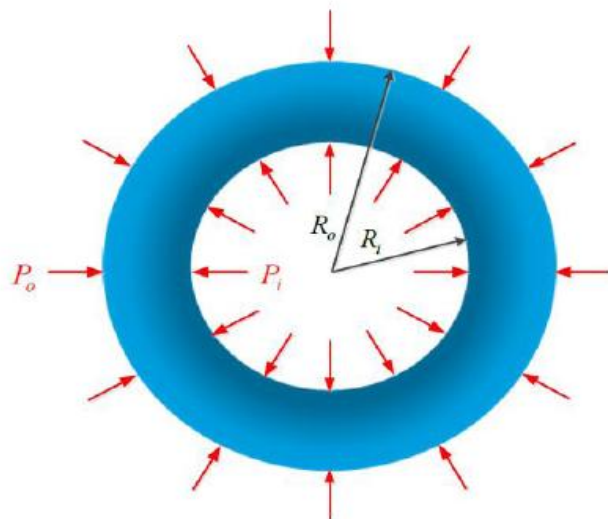
شکل ۲-۳ نمودار همگرایی تحلیل المان محدود

شکل (۲-۳) شبکه‌بندی مناسب جهت تحلیل را نشان می‌دهد، زمانی که مساحت مقطع ( $A_{Section}$

حدود ۱۵۰ برابر مساحت المان شبه مربعی شکل ( $A_{Element}$ ) باشد؛ نتایج حاصل از تحلیل المان محدود به همگرایی در حدود ۹۹٪ می‌رسد و تحلیل پذیرفتی خواهد بود.

### ۳-۳ تحلیل الاستیک کره‌های FGPM

شکل (۲-۳) مقطعی از یک کره‌ی جدارضخیم را نشان می‌دهد که تحت بارگذاری مکانیکی قرار دارد. کره‌ی مورد نظر در لایه‌ی درونی خود تحت فشار یکنواخت وارده‌ی  $P_i$  و در لایه‌ی بیرونی خود تحت فشار یکنواخت  $P_o$  قرار دارد.



شکل ۳-۳ مقطع عرضی کره‌ی جدارضخیم تحت بارگذاری مکانیکی

در این حالت روابط ساختاری ارائه شده در فصل قبل به صورت زیر خلاصه می‌شوند.

$$\begin{bmatrix} \sigma_R \\ \sigma_\theta \\ \sigma_\phi \end{bmatrix} = \begin{bmatrix} c_{11} & c_{12} & c_{12} \\ c_{12} & c_{22} & c_{23} \\ c_{12} & c_{23} & c_{22} \end{bmatrix} \begin{bmatrix} \epsilon_r \\ \epsilon_\theta \\ \epsilon_\phi \end{bmatrix} \quad (3-3)$$

همچنین روابط تنش-جابه‌جایی نیز به صورت زیر خواهند بود.

$$\begin{cases} \sigma_R = A_1 r^n \frac{\partial u}{\partial r} + 2A_2 r^{n-1} u \\ \sigma_\theta = A_2 r^n \frac{\partial u}{\partial r} + A_5 r^{n-1} u \end{cases} \quad (4-3)$$

که در این رابطه داریم.

$$A_1 = c^0_{11} \quad (5-3)$$

$$A_2 = c^0_{12} \quad (6-3)$$

$$A_5 = c^0_{22} + c^0_{23} \quad (7-3)$$

ثوابت  $c^0_{11}$ ،  $c^0_{12}$ ،  $c^0_{22}$  و  $c^0_{23}$  نیز طبق رابطه‌ی (45-۲) در فصل قبل تعریف شده‌اند.

همانگونه که در فصل گذشته بیان شد، با قرار دادن روابط تنش در معادله‌ی تعادل (۳۸-۰) به رابطه‌ی زیر خواهیم رسید.

$$r^2 \ddot{u} + (n+2)r\dot{u} + 2w_1 u = 0 \quad (8-3)$$

معادله‌ی دیفرانسیل (۷-۰) یک معادله‌ی اولرکوشی همگن می‌باشد و همانگونه که در فصل قبل توضیح داده شد حل این معادله به صورت زیر می‌باشد.

$$u_r(r) = c_3 r^{m_1} + c_4 r^{m_2} \quad (9-3)$$

که در آن  $c_3$  و  $c_4$  همانگونه که قبلاً توضیح داده شد ثوابتی هستند که برای یافتن آن‌ها باید از شرایط مرزی تنش استفاده کرد. از آنجاییکه کره‌ی مورد نظر تحت فشار داخلی یکنواخت  $p_i$  و فشار یکنواخت خارجی  $p_0$  قرار دارد بنابراین:

$$\sigma_R|_{r=1} = -p_i \quad , \quad \sigma_R|_{r=k} = -p_0 \quad (10-3)$$

با حل دو معادله‌ی فوق به‌طور همزمان، می‌توان ثابت مورد نظر را به‌دست آورد.

$$\begin{cases} c_3 = \frac{k^{m_2} p_i - k^{1-n} p_o}{G_1(k^{m_1} - k^{m_2})} \\ c_4 = -\frac{k^{m_1} p_i - k^{1-n} p_o}{G_2(k^{m_1} - k^{m_2})} \end{cases} \quad (11-3)$$

پس از جایگزینی  $c_3$  و  $c_4$  در معادلات (۱۱-۳) و (۸-۳) می‌توان نوشت.

$$\begin{cases} \sigma_R = \frac{r^{n-1}}{k^{m_1} - k^{m_2}} [r^{m_1} (k^{m_2} p_i - k^{1-n} p_o) - r^{m_2} (k^{m_1} p_i - k^{1-n} p_o)] \\ \sigma_\phi = \frac{r^{n-1}}{k^{m_1} - k^{m_2}} \left[ \frac{F_1}{G_1} r^{m_1} (k^{m_2} p_i - k^{1-n} p_o) - \frac{F_2}{G_2} r^{m_2} (k^{m_1} p_i - k^{1-n} p_o) \right] \\ u_r(r) = \frac{1}{k^{m_1} - k^{m_2}} \left[ \frac{r^{m_1}}{G_1} (k^{m_2} p_i - k^{1-n} p_o) - \frac{r^{m_2}}{G_2} (k^{m_1} p_i - k^{1-n} p_o) \right] \end{cases} \quad (12-3)$$

که در آن:

$$\begin{cases} G_1 = A_1 m_1 + 2A_2 \\ G_2 = A_1 m_2 + 2A_2 \\ F_1 = 1 + A_2 m_1 \\ F_2 = 1 + A_2 m_2 \end{cases} \quad (13-3)$$

### حالات‌های خاص

در این بخش با در نظر گرفتن روابط تنش و جابه‌جایی، چند حالت خاص که کاربرد بیشتری

دارند ارائه شده است

**الف) کره‌ی تحت فشار داخلی (** $p_o = 0$  و  $p_i = p$ **)**

در حالتی که کره فقط تحت فشار داخلی  $p_i = p$  باشد روابط (۱۲-۰) به صورت زیر ساده می-

شوند.

$$\begin{cases} \sigma_R = \frac{pr^{n-1}}{k^{m_1} - k^{m_2}} [k^{m_2} r^{m_1} - k^{m_1} r^{m_2}] \\ \sigma_\phi = \frac{pr^{n-1}}{k^{m_1} - k^{m_2}} \left[ \frac{F_1}{G_1} k^{m_2} r^{m_1} - \frac{F_2}{G_2} k^{m_1} r^{m_2} \right] \\ u_r(r) = \frac{p}{k^{m_1} - k^{m_2}} \left[ \frac{k^{m_2} r^{m_1}}{G_1} - \frac{k^{m_1} r^{m_2}}{G_2} \right] \end{cases} \quad (14-3)$$

**ب) کره‌ی تحت فشار خارجی (** $p_o = p$  و  $p_i = 0$ **)**

در حالتی که مخزن کروی مورد نظر فقط تحت فشار خارجی  $p_o = p$  باشد روابط (۱۲-۰) به-

صورت زیر ساده می‌شوند.

$$\begin{cases} \sigma_R = \frac{pk^{1-n}r^{n-1}}{k^{m_1} - k^{m_2}} [-r^{m_1} + r^{m_2}] \\ \sigma_\phi = \frac{pk^{1-n}r^{n-1}}{k^{m_1} - k^{m_2}} \left[ -\frac{F_1}{G_1} r^{m_1} + \frac{F_2}{G_2} r^{m_2} \right] \\ u_r(r) = \frac{p}{k^{m_1} - k^{m_2}} \left[ -\frac{r^{m_1}}{G_1} + \frac{r^{m_2}}{G_2} \right] \end{cases} \quad (15-3)$$

پ) کره‌ی تحت فشار داخلی و خارجی به‌طور همزمان ( $p_o = p_i = p$ )

در حالتی که مخزن به‌طور همزمان تحت فشار داخلی و خارجی  $p$  باشد. روابط (۱۲-۰) به‌صورت

زیر ساده می‌شوند.

$$\begin{cases} \sigma_R = \frac{pr^{n-1}}{k^{m_1} - k^{m_2}} [r^{m_1}(k^{m_2} - k^{1-n}) - r^{m_2}(k^{m_1} - k^{1-n})] \\ \sigma_\phi = \frac{pr^{n-1}}{k^{m_1} - k^{m_2}} \left[ \frac{F_1}{G_1} r^{m_1}(k^{m_2} - k^{1-n}) - \frac{F_2}{G_2} r^{m_2}(k^{m_1} - k^{1-n}) \right] \\ u_r(r) = \frac{p}{k^{m_1} - k^{m_2}} \left[ \frac{r^{m_1}}{G_1} (k^{m_2} - k^{1-n}) - \frac{r^{m_2}}{G_2} (k^{m_1} - k^{1-n}) \right] \end{cases} \quad (16-3)$$

### ۱-۳-۳ مطالعه‌ی عددی

برای مطالعه‌ی عددی مسأله، یک کره‌ی جدارضخیم چرخان با مشخصات هندسی  $R_i =$

$R_o = 60 \text{ mm}$  و  $40 \text{ mm}$  در نظر گرفته می‌شود، کره‌ی مذکور از جنس PZT-4 می‌باشد که در

راستای شعاعی خود پلاریزه گشته است. فشار داخلی یا خارجی به‌صورت یکنواخت فرض شده و

سرعت زاویه‌ای ثابت و برابر  $\omega = 2500 \text{ rad/s}$  در نظر گرفته می‌شود. مسأله در حالت ( $p_i = p$  و

$p_o = 0$ ) با استفاده از روابط تحلیلی که در این فصل استخراج شده است، بررسی می‌شود. سپس به

مقایسه‌ی نتایج تحلیلی با نتایج به‌دست آمده از حل اجزای محدود توسط نرم‌افزار ANSYS پرداخته

می‌شود، در گام نهایی نیز نتایج حل اجزای محدود کره‌ی چرخان تحت فشار داخلی ارائه می‌شود.

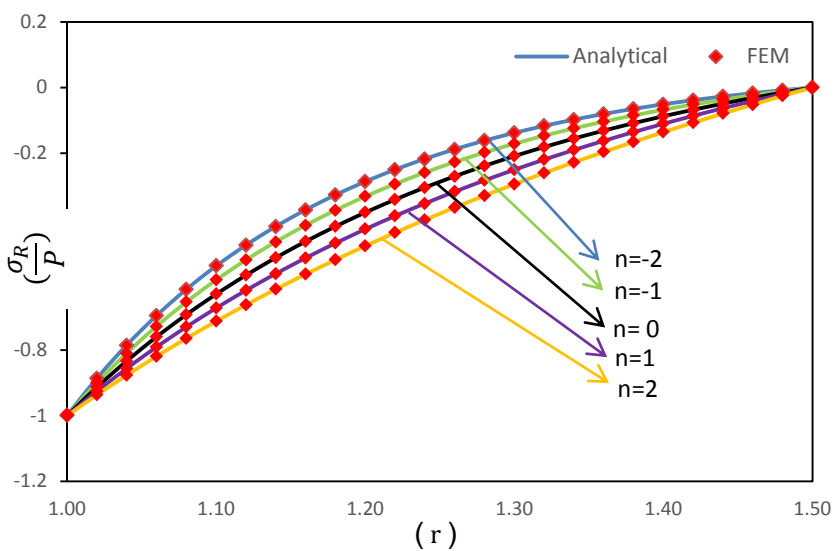
خواص مکانیکی، الکتریکی و حرارتی کره در جدول ۱-۳ بیان شده است [۳۱].

جدول ۱-۳ خواص مکانیکی، الکتریکی و حرارتی کره

ثوابت الاستیک ( $GPa$ )			
$c_{23}$	$c_{22}$	$c_{12}$	$c_{11}$
78	139	74	115
ثوابت پیزوالکتریک-تنش ( $C/m^2$ )			
$e_{12}$		$e_{11}$	
-5.2		15.1	
$(10^{-6} \frac{1}{K})$ ضرایب انبساط حرارتی		ضریب هدایت حرارتی ( $\frac{W}{m K}$ )	$(10^{-8} \frac{C}{V m})$ ثابت دیالکتریک
$\alpha_{22}$	$\alpha_{11}$	$K_{22}$	$k_{11}$
1.97	2.62	2.1	5.1
چگالی ( $kg/m^3$ )			
$\rho = 7500$			

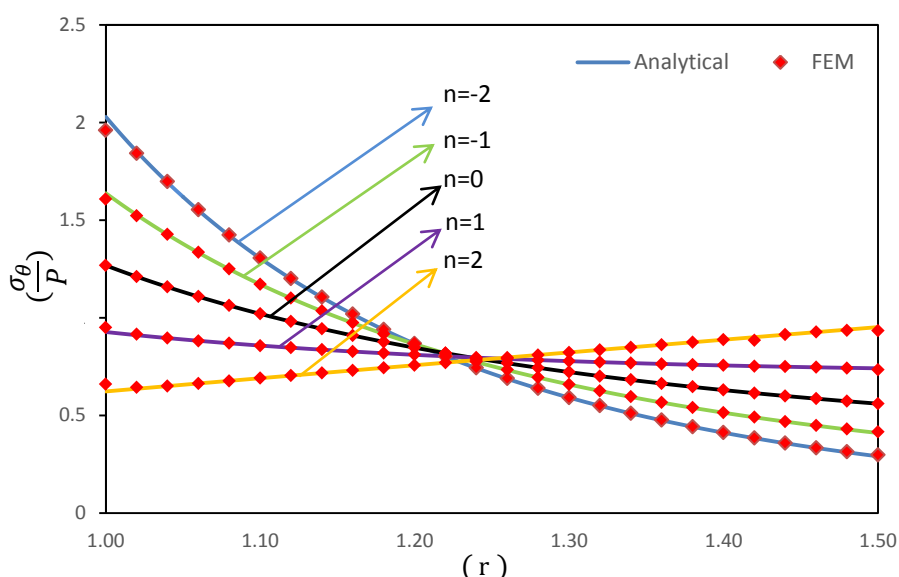
### ۲-۳-۳ بررسی تأثیر ثابت ناهمگنی :

برای بررسی تأثیر ثابت ناهمگنی، کلیه‌ی ثوابت ناهمگنی برابر ثابت ناهمگنی کل  $n$  فرض می‌شود و مقادیر  $n=2, -1, 0, 1, 2$ ، مورد مطالعه قرار می‌گیرند. در این قسمت تأثیر ثابت ناهمگنی بر روی میدان جابه‌جایی، تنش شعاعی، تنش محیطی، تنش مؤثر و توزیع پتانسیل الکتریکی در راستای ضخامت جداره‌ی کره در حالتی که مخزن مورد نظر فقط تحت فشار ( $p_o = 80 MPa$  و  $p_i = 0$ ) می‌باشد مورد مطالعه و بررسی قرار می‌گیرد. نتایج حل اجزای محدود و حل تحلیلی مسأله نیز در شکل‌های (۴-۳) تا (۸-۳) آورده شده و با یکدیگر مقایسه شده‌اند. در ادامه نیز نتایج ارائه شده برای مقایسه‌ی عددی بهتر به صورت خلاصه در جدول‌ها ذکر می‌شوند



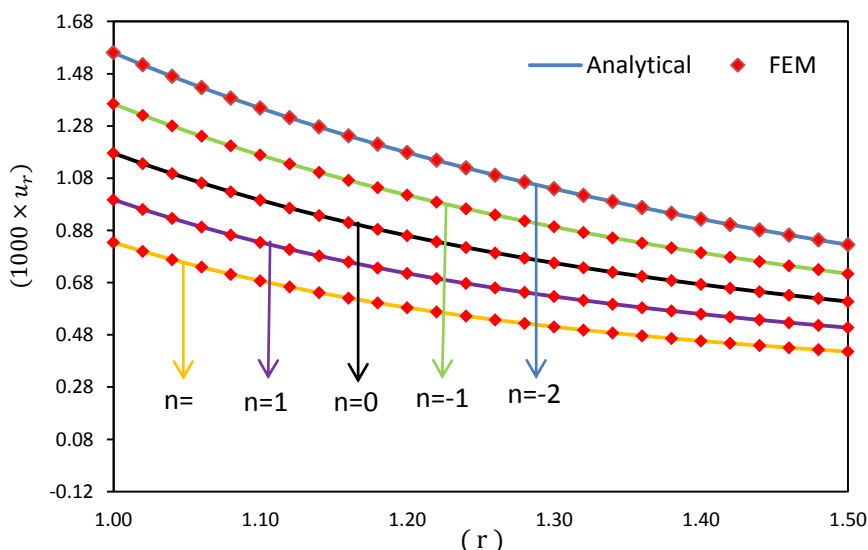
شکل ۴-۳ توزیع تنش شعاعی در امتداد جدارهی ضخامت کره

شکل (۴-۳) توزیع تنش شعاعی را در امتداد ضخامت جدارهی کره با استفاده از روش تحلیلی و اجزای محدود نشان می‌دهد. همان‌طور که مشاهده می‌شود افزایش ثابت ناهمگنی  $n$  باعث افزایش تنش شعاعی در جسم می‌شود. از سوی دیگر با افزایش ثابت ناهمگنی میزان تغییرات تنش شعاعی ایجاد شده از ناحیه‌ی جدار داخلی به جدار خارجی کمتر می‌شود. همچنین می‌توان دید شرایط مرزی در سطح داخلی و خارجی به‌طور کامل ارضا می‌شود.



شکل ۴-۵ توزیع تنش محیطی در امتداد ضخامت جدارهی کره

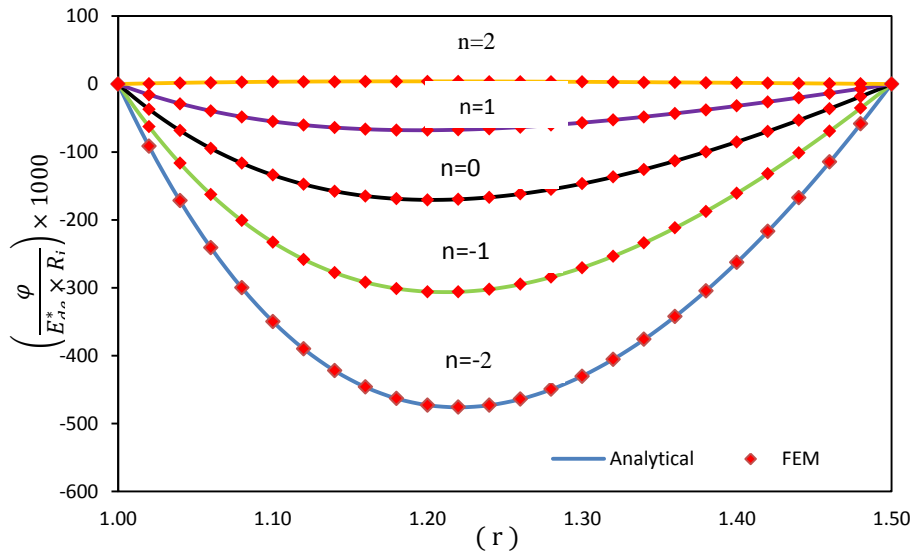
در شکل (۳-۵) تغییرات تنش محیطی در راستای ضخامت آورده شده است. در این شکل برای  $n=2$  تنש محیطی در راستای ضخامت افزایش یافته در حالی که برای سایر مقادیر  $n$  تنش در راستای ضخامت کاهش می‌یابد. تنش محیطی که همان تنش بیشینه می‌باشد در بازه‌ی  $1 < n < 2$  دارای کمترین تغییرات در راستای ضخامت است، و تقریباً ثابت بوده که از نظر کنترل تنش در این نوع سازه‌ها یک رفتار مطلوب است. بنابراین می‌توان نتیجه گرفت در طراحی مواد FG، در حالت  $n=2$  میزان ایمنی سازه در مقابل گسیختگی نسبت به حالت‌های دیگر بیشتر است. همچنین با توجه به نمودار می‌توان مشاهده کرد که تنش محیطی به ازای  $0 < n < 1$  در نیمه‌ی داخلی جداره در حالت FG از میزان تنش در حالت همگن بیشتر بوده و در نیمه‌ی خارجی جداره، از حالت همگن کمتر است.



شکل ۳-۶ توزیع جابه‌جایی شعاعی در امتداد ضخامت جداره‌ی کره

شکل (۳-۶) توزیع جابه‌جایی شعاعی را در امتداد ضخامت جداره‌ی کره نشان می‌دهد. همان‌طور که مشاهده می‌شود با افزایش ثابت ناهمگنی  $n$ ، جابه‌جایی شعاعی ایجاد شده در سازه کاهش می‌یابد به‌طوری که به ازای  $0 < n < 1$  جابه‌جایی کره‌ی ناهمگن نسبت به کره‌ی همگن بیشتر بوده و در حالت  $n > 0$  کمتر است. بنابراین می‌توان نتیجه گرفت، از آنجایی که در این نوع مواد با افزایش ثابت ناهمگنی  $n$  مقدار تغییر شکل ایجاد شده در سازه کمتر می‌شود بنابراین استحکام ماده نیز در برابر باگذاری بیشتر خواهد بود. از سوی دیگر همانگونه که مشاهده می‌شود تغییرات میزان جابه‌جایی در

راستای شعاعی برای همهٔ مقادیر  $n$  نزولی می‌باشد، که این مهم به نوبهٔ خود ناشی از نوع بارگذاری انجام شده بر روی کره می‌باشد. همچنین شایان ذکر است با توجه به نتایج حاصل شده از نمودار، در طراحی مواد FG با تغییرات توانی خواص، هرچه ثابت ناهمگنی بیشتر باشد، رفتار مکانیکی سازه نیز بهینه‌تر خواهد بود.



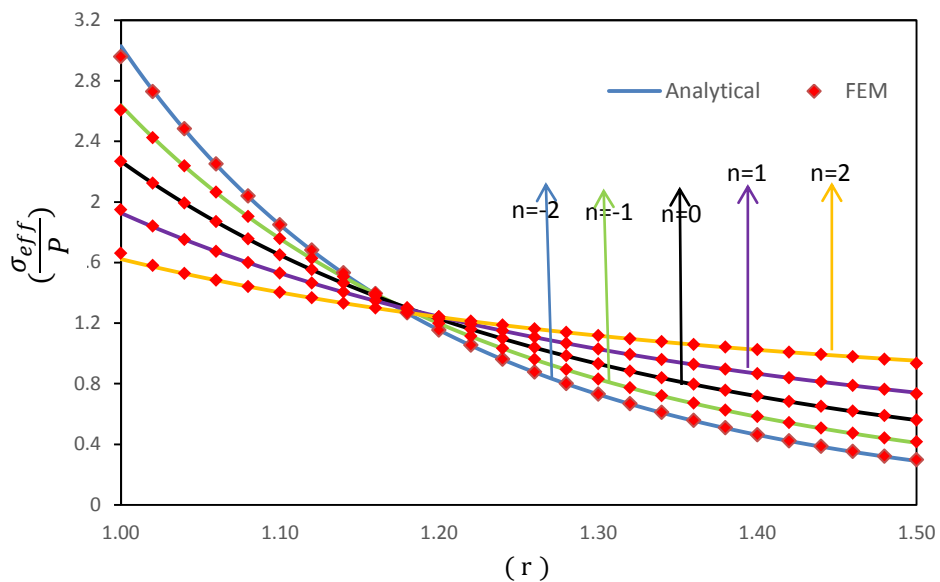
شکل ۷-۳ توزیع پتانسیل الکتریکی در امتداد جدارهٔ ضخامت کره

شکل (۷-۳) توزیع نرمال شدهٔ پتانسیل الکتریکی را به ازای مقادیر مختلف ثابت ناهمگنی در امتداد جدارهٔ ضخامت کره نشان می‌دهد. میدان الکتریکی استاتیکی که سبب دیپلاریزه شدن می‌گردد ( $E_{de}$ ) معمولاً در بازهٔ  $5^{kV/cm}$  تا  $2^{kV/cm}$  می‌باشد، با در نظر گرفتن میدان الکتریکی فرضی دیپلاریزه کننده  $E_{de}^* = 5^{kV/cm}$ ، به بررسی نتایج به دست آمده برای میدان الکتریکی می‌پردازیم.

همان‌طور که در شکل مشاهده می‌شود هرچه ثابت ناهمگنی  $n$  بزرگ‌تر شود پتانسیل الکتریکی ایجاد شده در جسم یکنواخت‌تر خواهد بود. همچنین می‌توان نتیجه گرفت پتانسیل الکتریکی ایجاد شده در امتداد جدارهٔ ضخامت سازه در هیچ‌کدام از لایه‌های جسم دارای مقدار یکسانی نمی‌باشد. از سوی دیگر به علت اینکه بارگذاری اعمال شده بر روی جسم سبب ایجاد کرنش کششی در سازه

شده است.

بنابراین ولتاژ پدید آمده در جسم در خلاف جهت پلاریزه‌ی جسم بوده و مقادیر پتانسیل الکتریکی استخراج شده منفی می‌باشند. نتیجه‌ی دیگری که از بررسی نمودار حاصل می‌شود این است که هرچه ثابت ناهمگنی  $n$  کوچکتر شود از آنجایی که میزان ولتاژ پدید آمده در جسم بیشتر بوده بنابراین با توجه به نمودار (۳-۷) میزان تغییر شکل ایجاد شده در جسم نیز بیشتر خواهد بود.



شکل ۳-۸ توزیع تنش مؤثر در امتداد جداره‌ی ضخامت کره

در شکل (۳-۸) تغییرات تنش فن مایزز در راستای ضخامت کره ارائه شده است. همان‌طور که می‌دانیم توزیع تنش فن‌مایزز در جسم معیار مناسبی برای تصمیم گیری در مورد طراحی مواد FG و کنترل تنش در این مواد است. همانگونه که مشاهده می‌شود نواحی نزدیک به جدار داخلی کره از ضریب ایمنی کمتری جهت طراحی برخوردار هستند. تنش فن مایزز به ازای  $n < 0$  در نیمه‌ی داخلی جداره، بیشتر از حالت همگن بوده و در نیمه‌ی خارجی جداره کمتر از ماده‌ی همگن است و به ازای  $n > 0$  نتایج برعکس حالت دیگر است. در فاصله‌ی  $1.15 < r < 1.20$  تنش فن‌مایزز به ازای تمامی مقادیر  $n$  به سمت مقدار تنش فن مایزز در حالت همگن میل می‌کند. همچنین از این شکل می‌توان مشاهده نمود که تنش فن مایزز در راستای ضخامت با افزایش  $n$ ، هموارتر شده و تغییرات تنش کمتری در امتداد جداره رخ می‌دهد. به عبارت دیگر مواد ناهمگن با ثوابت ناهمگنی کمتر از لحاظ طراحی دارای

ضریب ایمنی کمتری می‌باشند.

## جمع بندی

همان‌طور که در نتایج و شکل‌ها مشاهده شد، تطبیق بسیار خوبی میان نتایج دو روش وجود دارد. در اینجا به عنوان نمونه برای چند مقدار دلخواه از شعاع کره نتایج به دست آمده در قسمت‌های قبل برای مقایسه‌ی عددی بهتر به صورت خلاصه در جداول ذکر می‌شوند. در این جدول‌ها %Diff نشان دهنده‌ی درصد اختلاف میان نتایج تحلیلی و المان محدود می‌باشد که طبق رابطه‌ی زیر تعریف می‌شود:

$$\%Diff = \left| \frac{Anal - FEM}{Anal} \right| \times 100 \quad (17-3)$$

جدول ۲-۳ جابه‌جایی شعاعی برای کره‌ی تحت فشار داخلی

$u_r \times 1000$	$n = -2$		$n = -1$		$n = 0$		$n = 1$		$n = 2$		
	value	%Diff	value	%Diff	value	%Diff	value	%Diff	value	%Diff	
$r = 1$	Anal	1.56	0	1.364	0.29	1.175	0.29	0.9975	0	0.834	0.1
	FEM	1.56		1.36		1.18		0.9975		0.833	
$r = 1.25$	Anal	1.105	0.4	0.9508	0.021	0.804	0	0.668	0	0.544	0
	FEM	1.11		0.9510		0.804		0.668		0.544	
$r = 1.5$	Anal	0.825	0	0.714	0	0.607	0	0.508	0	0.415	0
	FEM	0.825		0.714		0.608		0.508		0.415	

جدول ۳-۳ تنش شعاعی برای کرهٔ تحت فشار داخلی

$\frac{\sigma_R}{P}$	$n = -2$		$n = -1$		$n = 0$		$n = 1$		$n = 2$	
	value	%Diff	value	%Diff	value	%Diff	value	%Diff	value	%Diff
$r = 1$	Anal	-0.999 0		-1 1	-1 0.1		-1 0.1		-0.999 0	
	FEM	-0.999	-0.99	-0.99	-0.999	-0.999	-0.999	-0.999	-0.999	-0.999
$r = 1.25$	Anal	-0.202 0	-0.242 0.4		-0.287 0		-0.335 0.2		-0.384 0	
	FEM	-0.202	-0.241	-0.287	-0.334	-0.384				
$r = 1.5$	Anal	0 ---	0 ---		0 ---		0 ---		0 ---	
	FEM	0	0.0001	0.0001	0.0001	0.0001	0.0001	0.0002	0.0002	---

جدول ۳-۴ تنش محیطی برای کرهٔ تحت فشار داخلی

$\frac{\sigma_\phi}{P}$	$n = -2$		$n = -1$		$n = 0$		$n = 1$		$n = 2$	
	value	%Diff	value	%Diff	value	%Diff	value	%Diff	value	%Diff
$r = 1$	Anal	2.02 2.9	1.63 1.2	1.267 0.23	0.927 0.949	0.622 2.3	0.660 0.660			
	FEM	1.96	1.61	1.27	0.949	0.660				
$r = 1.25$	Anal	0.713 0.14	0.752 0	0.779 0	0.792 0.792	0.789 0	0.789 0.789			
	FEM	0.714	0.752	0.779	0.792	0.789	0.789			
$r = 1.5$	Anal	0.290 2.7	0.409 1.4	0.559 0.17	0.741 0.733	0.952 1.07	0.932 0.932			
	FEM	0.298	0.415	0.560	0.733	0.932	0.932			

جدول‌های (۳-۱)، (۳-۲) و (۳-۳) نتایج حاصل از پیش‌بینی میدان جابه‌جایی شعاعی، تنش‌های شعاعی و محیطی را با دو روش تحلیلی و اجزای محدود مورد مقایسه و بررسی قرار می‌دهد. همان طور که مشاهده می‌گردد در محاسبه میدان‌های جابه‌جایی و تنش دو روش دارای انطباق قابل قبولی می‌باشند.

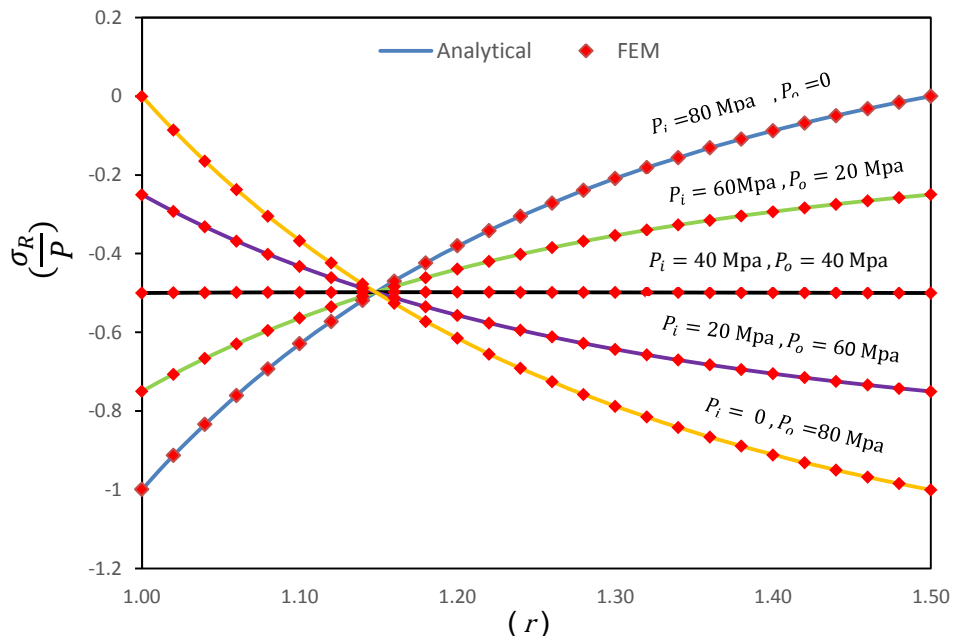
### ۳-۳-۳ بررسی تأثیر بارگذاری:

در این قسمت تأثیر انواع بارگذاری مکانیکی بر روی میدان جابه‌جایی، تنش شعاعی، تنش محیطی، تنش مؤثر و توزیع پتانسیل الکتریکی در راستای ضخامت جداره کرہ مورد مطالعه و بررسی قرار گرفته و نتایج با یکدیگر مقایسه می‌شوند. برای بررسی تأثیر بارگذاری، ثابت ناهمگنی  $n$  برابر صفر در نظر گرفته شده و مسئله در شرایط مختلف بارگذاری فشاری که در ذیل خواهد آمد حل می‌شود.

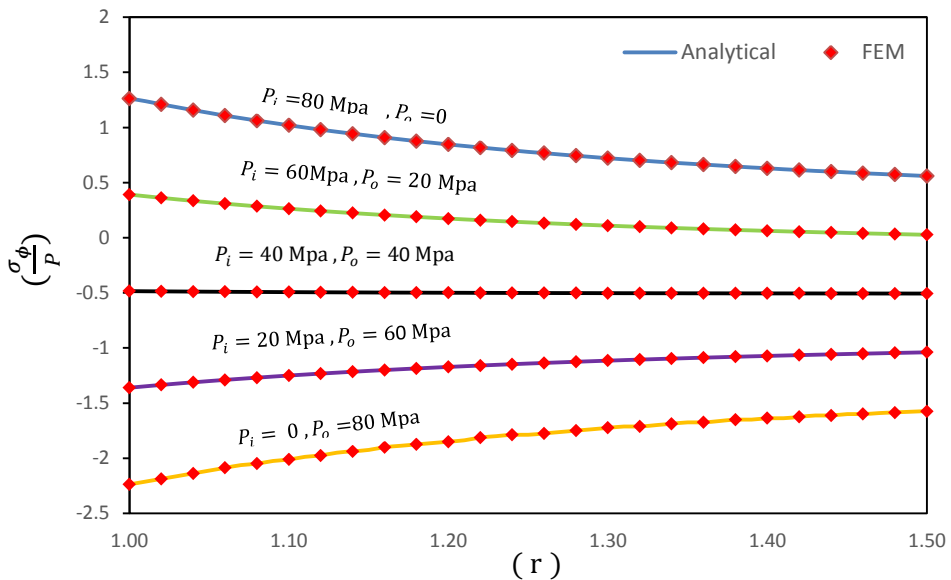
$$(P_i = 0, P_o = 80 \text{ MPa}) \quad (P_i = 40 \text{ MPa}, P_o = 40 \text{ MPa}) \quad (P_i = 80 \text{ MPa}, P_o = 0) \quad (18-3)$$

$$(P_i = 20 \text{ MPa}, P_o = 60 \text{ MPa}) \quad (P_o = 20 \text{ MPa}, P_i = 60 \text{ MPa})$$

نتایج حل اجزای محدود و حل تحلیلی مسئله نیز در شکل‌های (۷-۳) تا (۱۰-۳) آورده شده‌اند. در ادامه نیز نتایج ارائه شده برای مقایسه عددی بهتر به صورت خلاصه در جداول ذکر می‌شوند. نتایج تنش‌های ایجاد شده در جسم به صورت تنش نرمالیزه شده (نسبت تنش به  $P = 80 \text{ MPa}$ ) ارائه شده است.

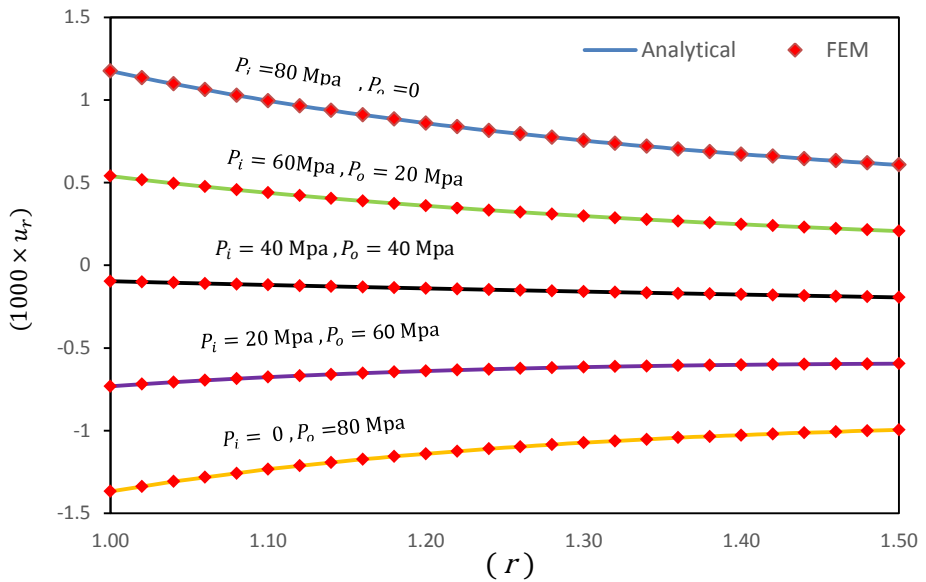


شکل ۳-۹ توزیع تنش شعاعی در امتداد جداره ضخامت کره



شکل ۱۰-۳ توزیع تنش محیطی در امتداد جدارهی ضخامت کره

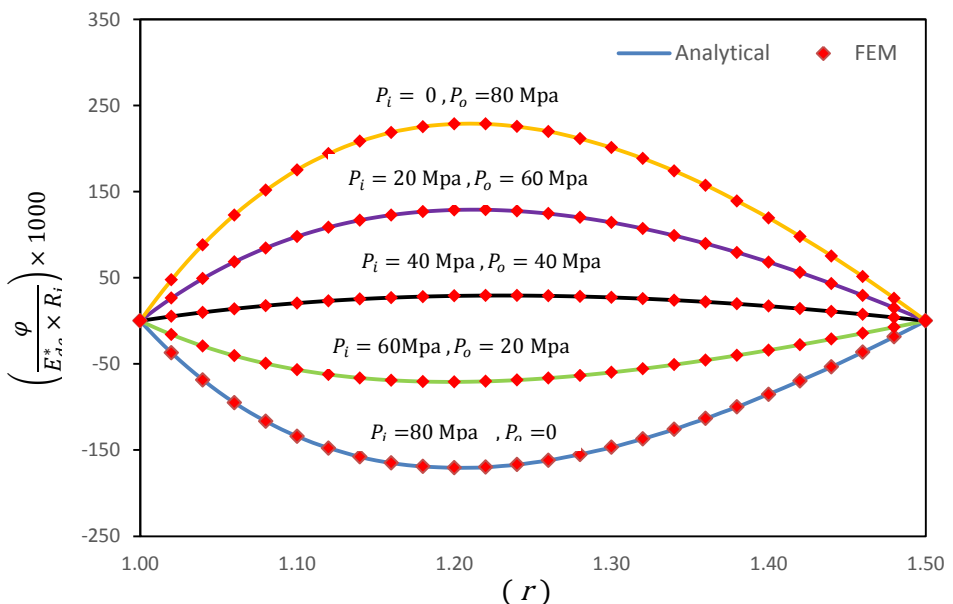
در شکل (۹-۳) تغییرات تنش شعاعی در راستای ضخامت کره برای شرایط مختلف بارگذاری آورده شده است. همان‌طور که در نمودار مشاهده می‌شود در شرایطی که  $P_i = 40 \text{ MPa}$ ,  $P_o = 40 \text{ MPa}$  باشد، توزیع فشار در تمام لایه‌های جداره برابر بوده و در بقیه شرایط بارگذاری توزیع فشار به صورت غیرخطی تغییر می‌کند و در تمامی حالات طبق نمودار، شرایط مرزی بارگذاری در جدارهی داخلی و خارجی به طور کامل ارضاء می‌شود. همچنین می‌توان دید برای همه شرایط بارگذاری در فاصله‌ی تقریبی  $r=1.15$  تنش شعاعی ایجاد شده در کره برابر  $40 \text{ MPa}$  می‌باشد. شکل (۱۰-۳) تغییرات تنش محیطی را در راستای ضخامت کره برای شرایط مختلف بارگذاری نشان می‌دهد. همان‌طور که در نمودار مشخص است هر چه توزیع فشار در جسم یکنواخت‌تر باشد، توزیع تنش محیطی در امتداد جدارهی ضخامت کره مطلوب‌تر خواهد بود بنابراین این‌گونه بارگذاری‌ها برای طراحی سازه‌ها بهینه‌تر می‌باشند.



شکل ۱۱-۳ توزیع جابه‌جایی شعاعی در امتداد جدارهی ضخامت کره

شکل (۱۱-۳) میدان جابه‌جایی شعاعی را در راستای ضخامت کره برای شرایط مختلف بارگذاری

نشان می‌دهد که تقریباً مشابه نمودار تغییرات تنش محیطی می‌باشد. همان‌طور که مشاهده می‌شود نتایج حل تحلیلی و حل اجزای محدود با یکدیگر مطابقت دارند.



شکل ۱۲-۳ توزیع پتانسیل الکتریکی در امتداد جدارهی ضخامت کره

مشاهده می‌شود زمانی که بارگذاری اعمال شده سبب ایجاد کرنش کششی در جسم گردد، ولتاژ پدید آمده در خلاف جهت پلاریزه‌ی جسم بوده و مقادیر پتانسیل الکتریکی ایجاد شده همان‌گونه که در نمودار دیده می‌شود منفی خواهد بود. و در صورتی که بارگذاری اعمال شده سبب ایجاد کرنش فشاری در جسم گردد، ولتاژ پدید آمده در همان جهت پلاریزه‌ی جسم بوده و مقادیر پتانسیل الکتریکی ایجاد شده مثبت خواهد بود. همچنین نتیجه‌ی دیگری که با بررسی بیشتر نمودار حاصل می‌شود این است که هرچه اختلاف فشار اعمال شده میان جداره‌ی داخلی و خارجی بیشتر باشد مقدار پتانسیل الکتریکی بیشتری در جسم ایجاد می‌شود. همچنین شایان ذکر است زمانی که کره تحت فشار داخلی و خارجی یکسانی قرار گیرد ولتاژ بسیار کمی در جسم پدید می‌آید.

### جمع‌بندی

نتایج به دست آمده که در قسمت قبل ارائه شد، برای مقایسه‌ی عددی بهتر به صورت خلاصه در جدول‌ها ذکر می‌شوند.

جدول ۳-۵ تنش شعاعی برای کره‌ی تحت بارگذاری‌های مختلف در  $n=0$

$\frac{\sigma_R}{P}$	$P_i = 80 \text{ MPa}$		$P_i = 60 \text{ MPa}$		$P_i = 40 \text{ MPa}$		$P_i = 20 \text{ MPa}$		$P_i = 0$		
	$P_o = 0$	$P_o = 20 \text{ MPa}$	$P_o = 40 \text{ MPa}$	$P_o = 60 \text{ MPa}$	$P_o = 80 \text{ MPa}$	$P_o = 0$	$P_o = 20 \text{ MPa}$	$P_o = 40 \text{ MPa}$	$P_o = 60 \text{ MPa}$	$P_o = 80 \text{ MPa}$	
	value	%Diff	value	%Diff	value	%Diff	value	%Diff	value	%Diff	
$r = 1$	Anal	-1	1	-0.75	0.13	-0.5	0	-0.250	0.4	0	0
	FEM	-0.99	-	0.749	-	-0.5	0	-0.251	-	0.001	0
$r = 1.25$	Anal	-0.287	0.34	-	0.392	0.25	0.498	0	-	0.708	0
	FEM	-0.288	-	-	0.393	-	0.498	0	-	-	0.708
$r = 1.5$	Anal	0	---	-0.25	0	-0.5	0	-0.75	0	-1	0
	FEM	0.0001	---	-0.25	-	-0.5	-	-0.75	0	-1	0

جدول ۳-۶ تنش محیطی برای کرهٔ تحت بارگذاری‌های مختلف در  $n=0$

		$P_i = 80 \text{ Mpa}$		$P_i = 60 \text{ Mpa}$		$P_i = 40 \text{ Mpa}$		$P_i = 20 \text{ Mpa}$		$P_i = 0$	
		$P_o = 0$		$P_o = 20 \text{ Mpa}$		$P_o = 40 \text{ Mpa}$		$P_o = 60 \text{ Mpa}$		$P_o = 80 \text{ Mpa}$	
		value	%Diff								
$r = 1$	Anal	1.262	0.15	0.391	0	0.484	0.2	1.36	0	2.237	0
	FEM	1.260		0.391		0.485		1.36		2.237	
$r = 1.25$	Anal	0.778	0.1	0.139	0	0.501	0	1.14	0	1.787	0
	FEM	0.779		0.139		0.501		1.14		1.787	
$r = 1.5$	Anal	0.559	0.17	0.026	0	0.506	0	1.04	0	1.572	0.19
	FEM	0.56		0.026		0.506		1.04		1.575	

جدول‌های (۳-۵) و (۳-۶) نتایج حاصل از پیش‌بینی تنش را با دو روش تحلیلی و اجزای محدود

مورد مقایسه و بررسی قرار می‌دهد. همان‌طور که مشاهده می‌گردد در محاسبه‌ی میدان تنش دو روش نتایج یکسانی را ارائه داده و مقادیر خطای به دست آمده قابل قبول می‌باشند.

جدول ۳-۷ جابه‌جایی شعاعی برای کرهٔ تحت بارگذاری‌های مختلف در  $n=0$

		$P_i = 80 \text{ Mpa}$		$P_i = 60 \text{ Mpa}$		$P_i = 40 \text{ Mpa}$		$P_i = 20 \text{ Mpa}$		$P_i = 0$		
		$P_o = 0$		$P_o = 20 \text{ Mpa}$		$P_o = 40 \text{ Mpa}$		$P_o = 60 \text{ Mpa}$		$P_o = 80 \text{ Mpa}$		
		value	%Diff	value	%Diff	value	%Diff	value	%Diff	value	%Diff	
$r = 1$	Anal	1.175	0.425	0.539	0.18	-	0.0959	0	0.732	0	1.367	0
	FEM	1.180		0.540		-	0.0959		0.732		1.367	
$r = 1.25$	Anal	0.805	0	0.327	0.3	-0.149	0	0.626	0	1.102	0	
	FEM	0.805		0.328		-0.149		0.626		1.102		
$r = 1.5$	Anal	0.6075	0.08	0.2069	0.04	-0.193	0.5	0.595	0	0.995	0	
	FEM	0.608		0.2070		-0.194		0.595		0.995		

جدول ۳-۸ پتانسیل الکتریکی برای کره‌ی تحت بارگذاری‌های مختلف در  $n=0$

$\left(\frac{\varphi}{E_{de}^* \times R_i}\right) \times 1000$	$P_i = 80 \text{ Mpa}$		$P_i = 60 \text{ Mpa}$		$P_i = 40 \text{ Mpa}$		$P_i = 20 \text{ Mpa}$		$P_i = 0$	
	$P_o = 0$	$P_o = 20 \text{ Mpa}$	$P_o = 40 \text{ Mpa}$	$P_o = 60 \text{ Mpa}$	$P_o = 80 \text{ Mpa}$	value	%Diff	value	%Diff	value
$r=1$	Anal	-134 0	- 56.6 0.17	20.6 0	98 0	175 0				
	FEM	-134 -	- 56.7	20.6 0	98 0	175 0				
$r=1.25$	Anal	-170 0.5	- 70.8 0	28.9 0.34	129 0	228 0				
	FEM	-171 -	- 70.8	29 0.34	129 0	228 0				
$r=1.5$	Anal	-147 0	- 59.8 0	27.2 0	114 0	201 0				
	FEM	-147 -	- 59.8	27.2 0	114 0	201 0				

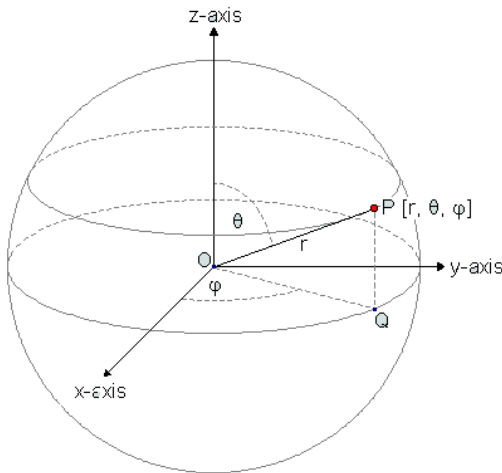
همان‌طور که در جدول‌های (۳-۷) و (۳-۸) مشاهده می‌شود نتایج حاصل از پیش‌بینی میدان

جابه‌جایی شعاعی و توزیع پتانسیل الکتریکی برای سه مقدار دلخواه از شعاع کره با دو روش تحلیلی و اجزای محدود ارائه شده است. همان‌طور که مشاهده می‌گردد در محاسبه‌ی میدان جابه‌جایی شعاعی و توزیع پتانسیل الکتریکی دو روش نتایج یکسانی را پیش‌بینی کرده و اختلاف میان نتایج دو روش بسیار اندک و قابل اغماض است.

### ۴-۳ تحلیل کره‌های چرخان:

در این قسمت نوع بارگذاری به بارگذاری حجمی تغییر داده شده است و حل اجزای محدود کره‌ی چرخان تحت فشار داخلی ارائه می‌شود. همچنین بررسی اثر ثابت ناهمگنی و همچنین اثر دوران کره‌ی جدارضخیم در توزیع تنش، جابه‌جایی و پتانسیل الکتریکی مورد مطالعه قرار گرفته شده است.

برای تحلیل فوق دستگاه مختصات کروی  $(R, \phi, \theta)$  که مبدأ آن مرکز کره می‌باشد در نظر گرفته شده است دوران حول محور Z و با سرعت زاویه‌ای ثابت می‌باشد. هندسه‌ی کره نسبت به محورهای مختصات در شکل (۱۳-۳) آورده شده است.



شکل ۱۳-۳ مختصات کروی

همان طور که در فصل قبل نیز گفته شد، به دلیل تقارن در هندسه‌ی کره و بارگذاری متقارن همان‌گونه می‌توان نوشت.

$$\frac{\partial}{\partial \phi} = 0 \quad (19-3)$$

اما با توجه به اینکه بارگذاری دورانی نیز بر کره اعمال می‌شود، کره به بیضی‌گون تبدیل شده و لذا در راستای نصف النهاری تقارن ندارد. بنابراین می‌توان نوشت.

$$\frac{\partial}{\partial \theta} \neq 0, u_\theta \neq 0 \quad (20-3)$$

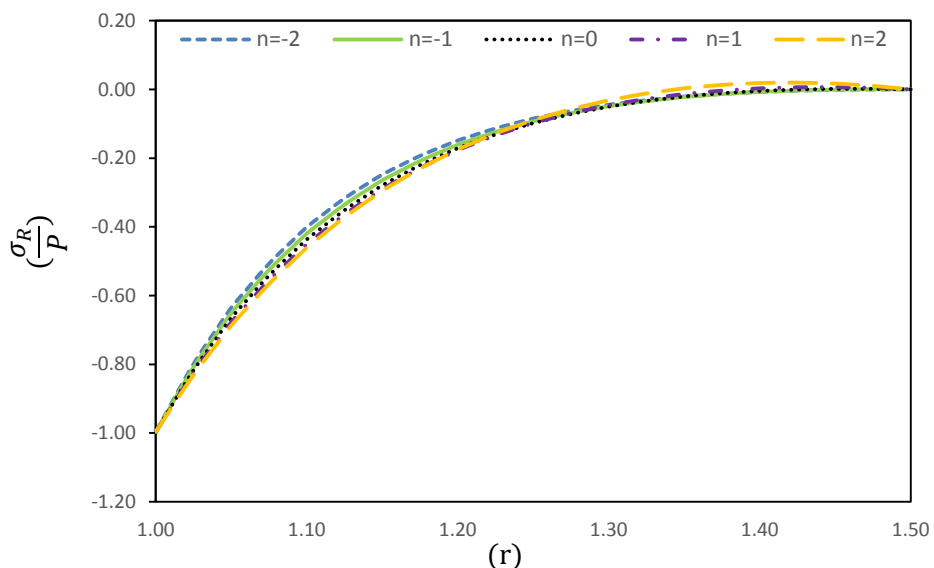
$$\sigma_\theta \neq \sigma_\phi \quad (21-3)$$

### ۱-۴-۳ حل عددی:

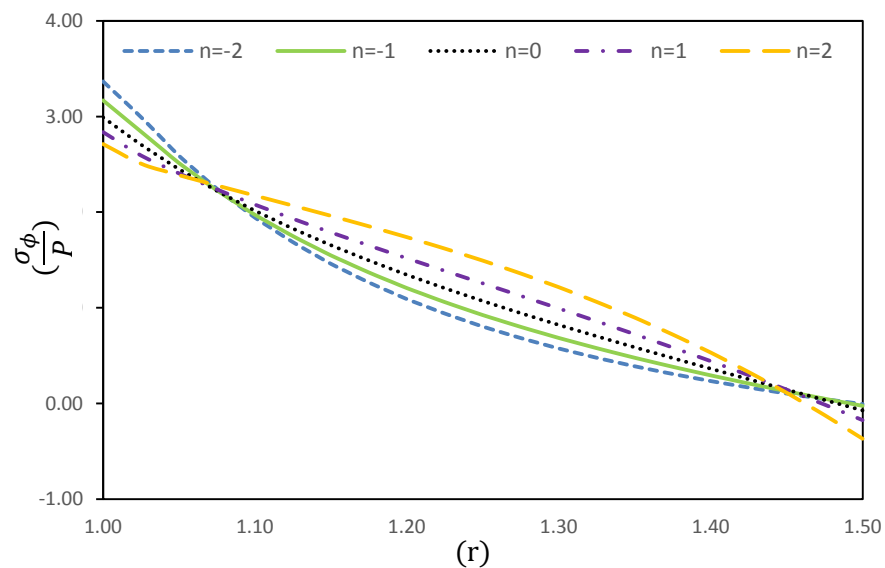
همانگونه که در قسمت قبل بیان شد اعمال بارگذاری دورانی بر روی کره منجر به پیچیدگی حل تحلیلی مسئله شده که با استفاده از معادلات در مختصات کروی میسر نمی‌باشد. بنابراین با توجه به تطابق مناسب نتایج حل عددی با حل دقیق تحلیلی، از نرم‌افزار مبتنی بر روش المان محدود در مطالعه‌ی اثر بارگذاری چرخشی استفاده شده است. در این بخش، مشخصات هندسی و جنس کره همچون مطالعه‌های عددی گذشته در نظر گرفته می‌شود. کره با سرعت دورانی ثابت  $\omega = 2500 \text{ rad/s}$  حول محور خود می‌چرخد و تحت فشار داخلی  $p_i = 80 \text{ MPa}$  قرار دارد.

الف) کره‌ی چرخان تحت فشار داخلی در  $\theta = 0$

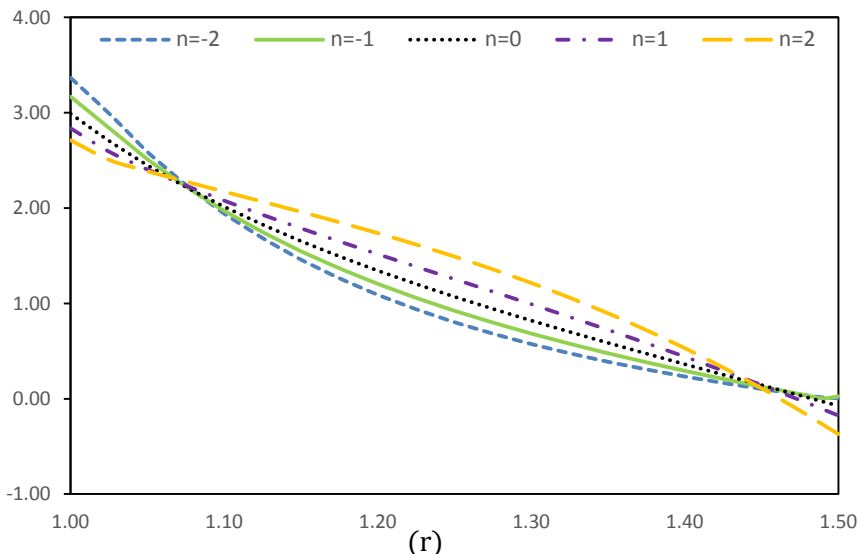
نتایج حل اجزای محدود مسئله برای  $\theta = 0$  نیز در شکل‌های (۱۲-۳) تا (۱۸-۳) آورده شده‌اند.



شکل ۱۴-۳ توزیع تنش شعاعی در امتداد ضخامت جداره‌ی کره برای  $\theta = 0$

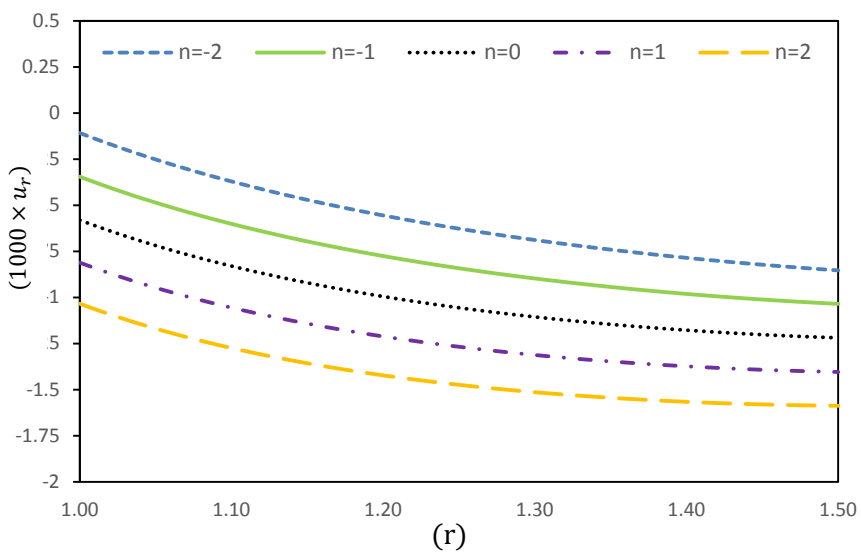


شکل ۱۵-۳ توزیع تنش محیطی در امتداد ضخامت جداره‌ی کره برای  $\theta=0$

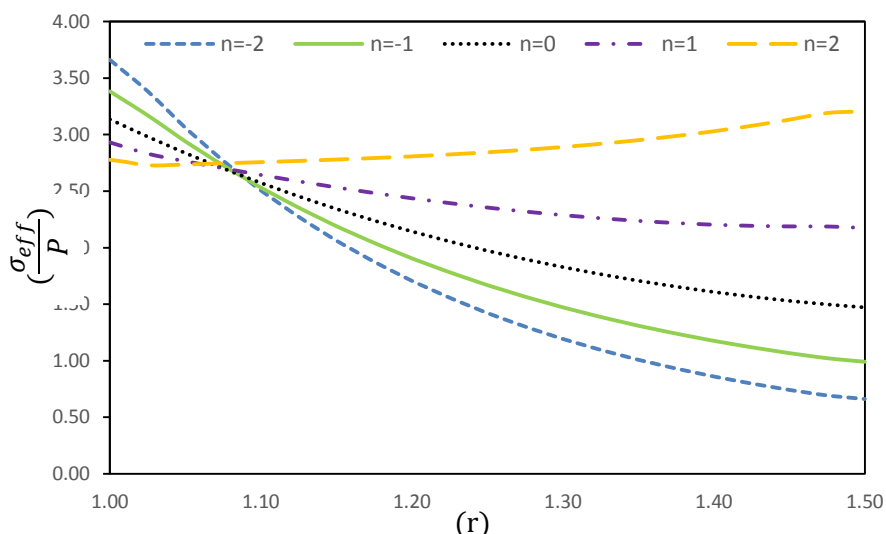


شکل ۱۶-۳ توزیع تنش نصفالنهاری در امتداد ضخامت جدارهی کره برای  $\theta=0$  شکل‌های (۱۴-۳)، (۱۵-۳) و (۱۶-۳) به ترتیب توزیع تنش‌های شعاعی، محیطی و نصفالنهاری را در راستای ضخامت جدارهی کرهی چرخان نشان می‌دهند. همانطور که پیداست توزیع تنش شعاعی وابستگی چندانی به ثابت ناهمگنی ندارد. همچنین مطابق شکل (۱۴-۳) شرایط مرزی در بارگذاری فشاری به طور کامل ارضا شده است. اما همانطور که مشاهده می‌شود بارگذاری دورانی اثر کمتری در این تنش دارد.

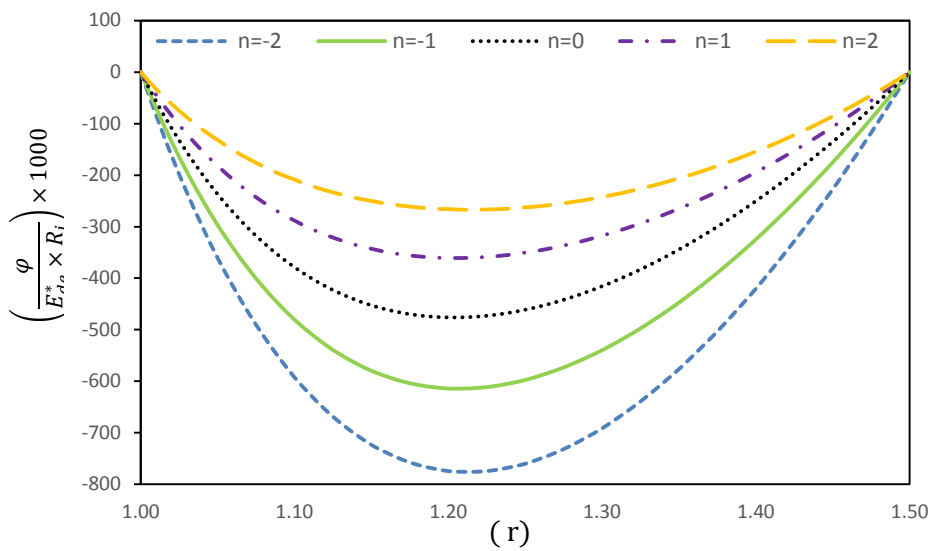
همانگونه که از نتایج نمودارهای توزیع تنش محیطی و نصفالنهاری مشخص است مقادیر این تنش‌ها در  $\theta = 0$  یکسان می‌باشد و بزرگترین مقدار این تنش‌ها در جدارهی داخلی رخ می‌دهد. نتیجه‌ی دیگری که با بررسی بیشتر نمودار حاصل می‌شود این است که با افزایش ثابت ناهمگنی، مقادیر تنش محیطی و نصفالنهاری در جدارهی داخلی جسم بزرگتر شده در حالی که این تغییر در جدارهی خارجی بر عکس می‌باشد.



شکل ۱۷-۳ توزیع جایه‌جایی شعاعی در امتداد ضخامت جداره‌ی کره برای  $\theta=0$



شکل ۱۸-۳ توزیع تنش مؤثر در امتداد ضخامت جداره‌ی کره برای  $\theta=0$

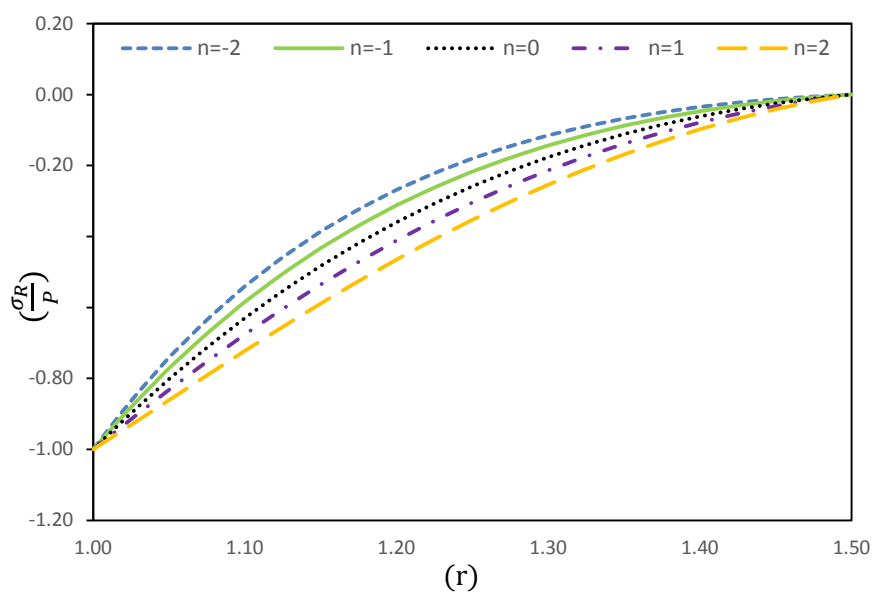


شکل ۱۹-۳ توزیع پتانسیل الکتریکی در امتداد ضخامت جداره کرده برای  $\theta = 0$

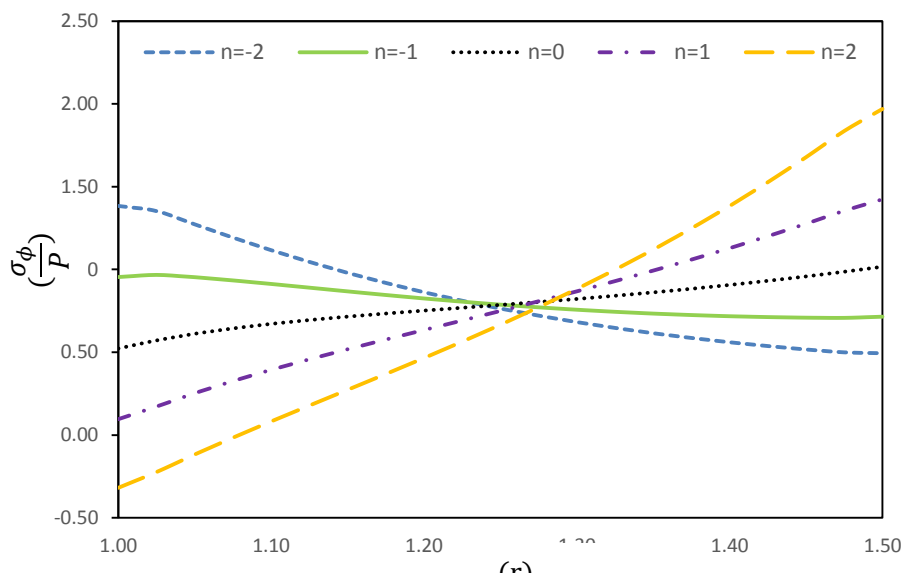
همان‌طور که مشاهده می‌شود میدان جابه‌جایی شعاعی، توزیع تنش فن‌مایز و توزیع پتانسیل الکتریکی در نمودارهای (۱۷-۳)، (۱۸-۳) و (۱۹-۳) آورده شده است. همانگونه که مشخص است ثابت ناهمگنی  $n$  در توزیع جابه‌جایی، تنش فن‌مایز و پتانسیل الکتریکی تأثیر زیادی دارد. با افزایش  $n$ ، مقدار پتانسیل الکتریکی تولید شده در لایه‌های میانی جسم از لحاظ اندازه کاهش یافته، همچنین میزان تنش فن‌مایز و مقدار جابه‌جایی شعاعی افزایش می‌یابد که از منظر طراحی بهینه امری مطلوب نیست. نکته‌ی مهم دیگر این که با توجه به اینکه پتانسیل الکتریکی تولید شده در خلاف جهت پلاریزه‌ی جسم بوده، مقادیر جابه‌جایی ایجاد شده در جسم منفی می‌باشند و جسم دچار کرنش فشاری شده است. این مهم بیانگر اثر غالب بارگذاری چرخشی بر روی جابه‌جایی ایجاد شده در این سرعت خاص است.

ب) کره‌ی چرخان تحت فشار داخلی در  $\theta = \frac{\pi}{2}$  :

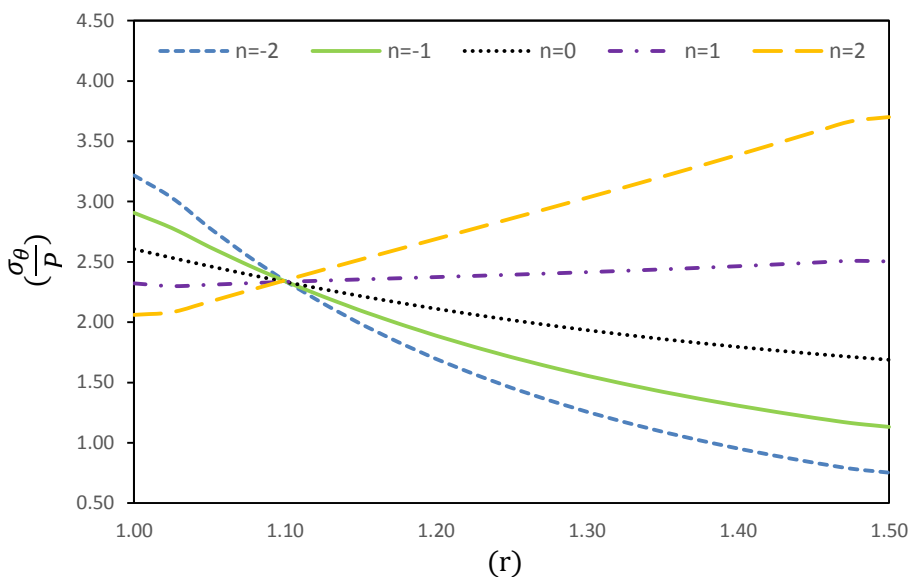
تغییرات تنش، جابه‌جایی و پتانسیل الکتریکی برای  $\theta = \frac{\pi}{2}$  در شکل‌های (۲۰-۳) تا (۲۵-۳) آورده شده است.



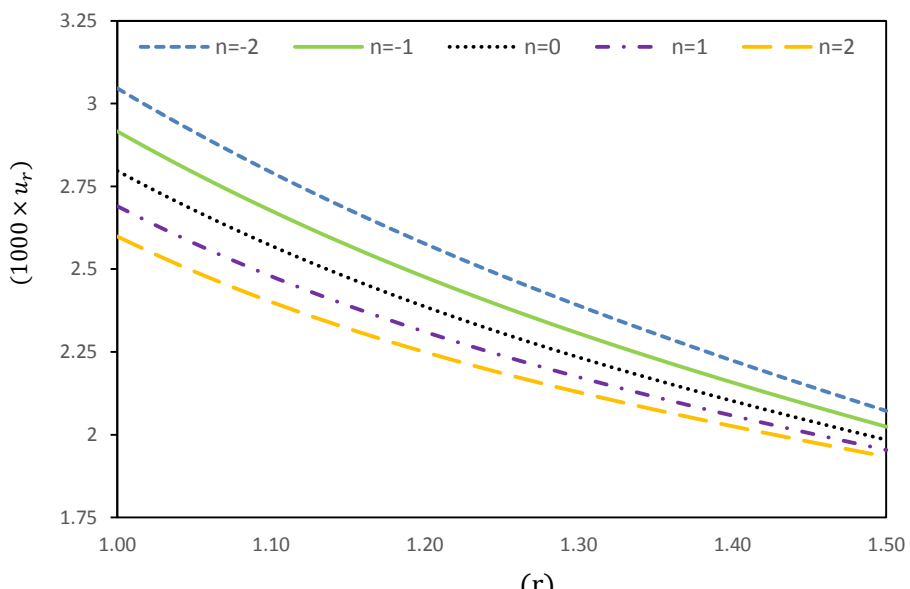
شکل ۲۰-۳ توزیع تنش شعاعی در امتداد ضخامت جدارهی کره برای  $\theta = \frac{\pi}{2}$



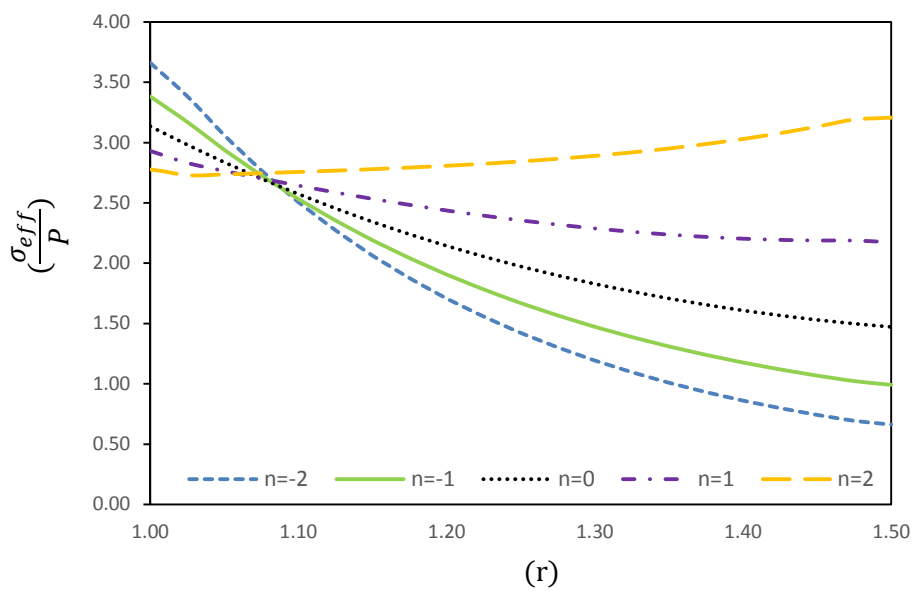
شکل ۲۱-۳ توزیع تنش محیطی در امتداد ضخامت جدارهی کره برای  $\theta = \frac{\pi}{2}$



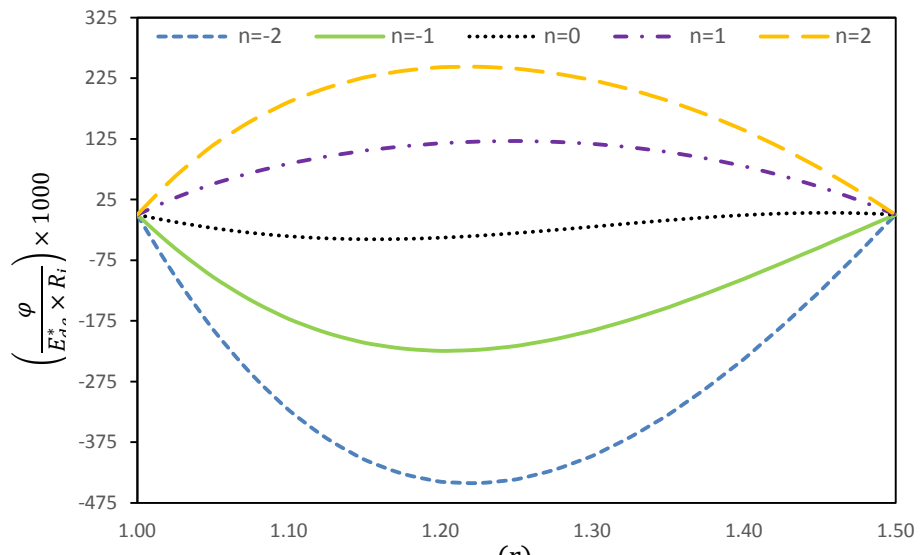
شکل ۲۲-۳ توزیع تنش نصفالنهاری در امتداد ضخامت جداره‌ی کره برای  $\theta = \frac{\pi}{2}$



شکل ۲۳-۳ توزیع جاهه‌جایی شعاعی در امتداد ضخامت جداره‌ی کره برای  $\theta = \frac{\pi}{2}$



شکل ۲۴-۳ توزیع تنش مؤثر در امتداد ضخامت جدارهی کره برای  $\theta = \frac{\pi}{2}$



شکل ۲۵-۳ توزیع پتانسیل الکتریکی در امتداد ضخامت جدارهی کره برای  $\theta = \frac{\pi}{2}$

همان طور که در این نمودارها نیز مشاهده می‌شود ثابت ناهمگنی  $n$  در توزیع تنش، جابه‌جایی و پتانسیل الکتریکی تأثیر زیادی دارد. با دقت در نمودار (۳-۲۰) این نتیجه حاصل می‌شود که توزیع تنش شعاعی بیش از هر نوع بارگذاری، به بارگذاری فشاری وابستگی زیادی دارد. همچنین مشاهده می‌شود که مقدار تنش‌های نصف النهاری ایجاد شده در جسم بزرگتر از تنش محیطی بوده و میزان تغییرات آن در راستای ضخامت جسم بیشتر است. نکته‌ی دیگری که از بررسی نمودارهای توزیع تنش محیطی و نصف النهاری بهدست می‌آید این است که در ثابت‌های ناهمگنی ( $n$ ) بزرگتر مقدار تنش در جداره‌ی خارجی نسبت به جداره‌ی داخلی بیشتر است در حالی که این نسبت تنش در ثابت‌های ناهمگنی ( $n$ ) کوچکتر برعکس است. شایان ذکر است که این نتیجه‌ی بهدست آمده در تعیین و بررسی نقاط بحرانی جسم اهمیت دارد. با دقت در نمودار (۳-۲۴) این نتیجه حاصل می‌شود که تنش فن مایزز در جداره‌ی داخلی جسم بیشتر از جداره‌ی خارجی است. از سوی دیگر جابه‌جایی ایجاد شده در جداره‌ی داخلی جسم نیز بیشتر از جداره‌ی خارجی می‌باشد که این دو مهم با یکدیگر بی ارتباط نمی‌باشند.

## فصل ٤

# تحليل الكتروترموماليك كره های FGPM تحت بارگذاری الكتروترمومکانیکی

## ۱-۴ مقدمه

در این فصل ابتدا نحوه تحلیل اجزای محدود الکتروترمومکانیک کره‌ی پیزوالکتریک بیان می‌گردد، سپس به مطالعه‌ی عددی مسئله در حالت الکترومکانیکی و الکتروترمومکانیکی پرداخته شده و نتایج مربوط به حل تحلیلی و اجزای محدود مسئله بیان شده و با یکدیگر مقایسه می‌شوند.

## ۲-۴ تحلیل اجزای محدود الکتروترمومکانیکی در ANSYS

برای تحلیل اجزای محدود الکتروترمومکانیکی مواد پیزوالکتریک در این پژوهش از نرم‌افزار ANSYS 12.0 استفاده می‌شود. تحلیل میدان-جفت‌شده<sup>۱</sup>، ترکیبی از تحلیل رشته‌های مهندسی (میدان‌های فیزیکی) متفاوت با اثر متقابل می‌باشد که برای حل مسئله‌ی کلی مهندسی استفاده می‌شوند، بنابراین اغلب از تحلیل میدان-جفت‌شده به عنوان تحلیل چند فیزیکی<sup>۲</sup> یاد می‌گردد. زمانی که ورودی تحلیل یک میدان وابسته به نتایج تحلیل میدان دیگری باشد، تحلیل جفت‌شده می‌باشد. برخی تحلیل‌ها می‌توانند جفت‌شدنگی یک سو<sup>۳</sup> داشته باشند. برای مثال در مسائل تنش حرارتی، میدان دمایی کرنش حرارتی را در میدان سازه‌ای ایجاد می‌کند اما به طور کلی کرنش سازه‌ای تأثیری بر توزیع دما ندارد، بنابراین نیازی به انجام تکرار متواالی حل‌های دو میدان نیست. نمونه‌های پیچیده‌تر شامل جفت‌شدنگی دو سو<sup>۴</sup> می‌باشند. برای مثال تحلیل پیزوالکتریک که تأثیر متقابل میدان الکتریکی و سازه‌ای را به کار می‌برد برای حل توزیع ولتاژ بر اثر جابه‌جایی اعمالی و یا برعکس، استفاده می‌شود. این دسته مسائل نیاز به انجام تکرار متواالی حل بین دو میدان فیزیکی تا همگرا شدن داردند [۳۲].

فرآیند تحلیل میدان-جفت‌شده بستگی به این امر دارد که چه میدان‌هایی باهم جفت شده‌اند، اما دو روش مجازی مستقیم و انتقال بار، برای این منظور در ANSYS به کار گرفته شده است

- 
1. Coupled-field
  2. Multiphysics
  3. One-way
  4. Two-way

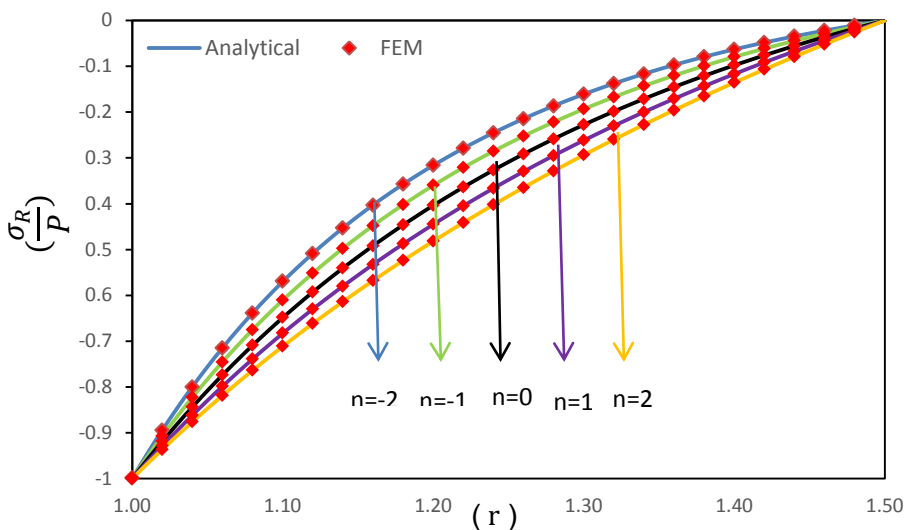
### ۴-۳ مطالعه‌ی عددی الکترومکانیک کره‌ی FGPM

برای مطالعه‌ی عددی الکترومکانیک مسئله، همان‌طور که در فصل گذشته بیان گردید یک کره‌ی جدار ضخیم با مشخصات هندسی  $R_o = 60\text{ mm}$  و  $R_i = 40\text{ mm}$  در نظر گرفته می‌شود. فشار داخلی یا خارجی اعمال شده به مخزن به صورت یکنواخت  $p = 2\text{ MPa}$  در نظر گرفته شده است. نمونه‌ی عددی مورد مطالعه در سطح داخلی خود تحت پتانسیل الکتریکی  $\psi$  و در سطح خارجی نیز تحت پتانسیل الکتریکی  $\phi$  قرار دارد. در این بخش، مسئله‌ی مورد نظر با استفاده از روابط تحلیلی که در فصل دوم استخراج گردیده است بررسی شده، سپس نتایج عددی که با استفاده از روش اجزای محدود توسط نرم‌افزار ANSYS حاصل شده است با نتایج حل عددی مقایسه می‌شود. خواص مکانیکی، الکتریکی و حرارتی کره در این قسمت نیز مطابق جدول (۱-۳) می‌باشد.

### ۴-۳-۱ بررسی تأثیر ثابت ناهمگنی :

همانگونه که در فصل قبل بیان شد برای بررسی تأثیر ثابت ناهمگنی، کلیه‌ی ثوابت ناهمگنی برابر ثابت ناهمگنی کل  $n$  فرض می‌شود و مقادیر  $n = -2, -1, 0, 1, 2$ ، مورد مطالعه قرار می‌گیرند. در این قسمت نیز تأثیر ثابت ناهمگنی بر روی میدان جابه‌جایی، تنش شعاعی، تنش محیطی، تنش مؤثر و توزیع پتانسیل الکتریکی در راستای ضخامت جداره‌ی کره مورد مطالعه و بررسی قرار می‌گیرد. در این حالت مخزن مورد نظر در سطح داخلی خود تحت پتانسیل الکتریکی  $V_i = \psi$  و در سطح خارجی نیز تحت پتانسیل الکتریکی  $\psi_0 = 0$  قرار داشته، همچنین تحت فشار داخلی  $p_i$  می‌باشد.

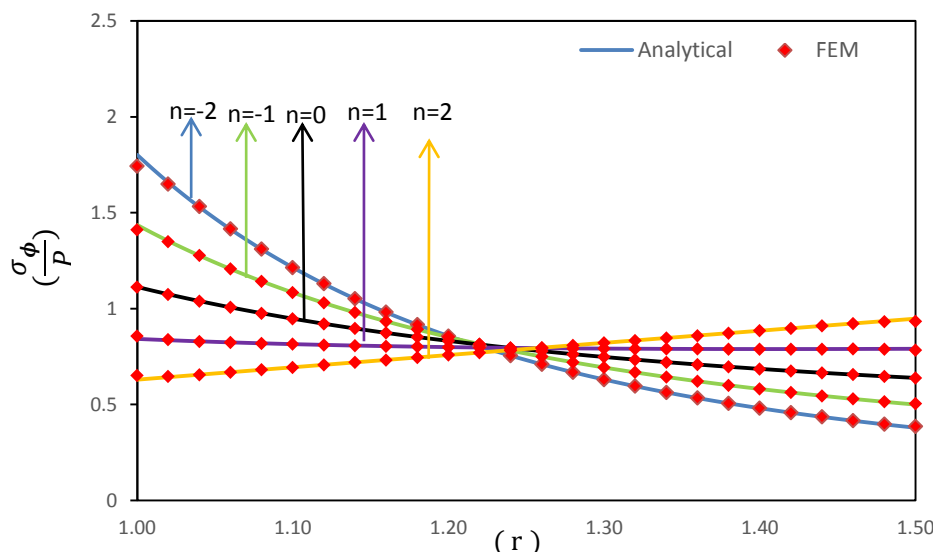
نتایج حل اجزای محدود و حل تحلیلی مسئله نیز در شکل‌های (۴-۱) تا (۴-۵) که در ادامه خواهند آمد آورده شده و با یکدیگر مقایسه شده‌اند.



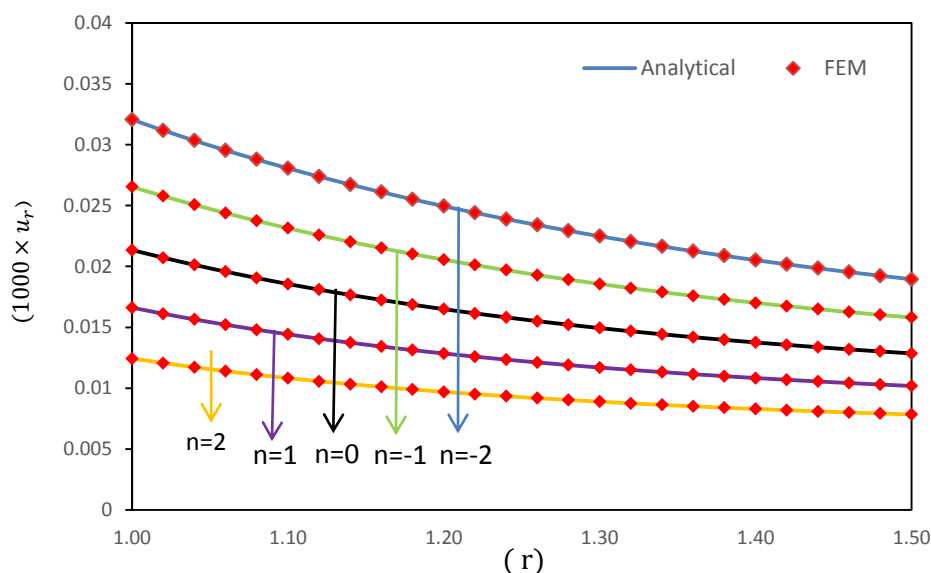
شکل ۴-۱ توزیع تنش شعاعی در امتداد جداره‌ی ضخامت کره

نمودار (۴-۱) تغییرات تنش شعاعی در راستای جداره‌ی کره را در حالت الکتروالاستیک نشان می‌دهد. همان‌طور که مشخص است با افزایش ثابت ناهمگنی میزان تغییرات تنش شعاعی ایجاد شده از ناحیه‌ی جدار داخلی به جدار خارجی کمتر می‌شود. همچنین با توجه به اینکه نحوه توزیع تنش شعاعی در شرایط مختلف بارگذاری تقریباً یکسان بوده و شرایط مرزی در سطح داخلی و خارجی به-

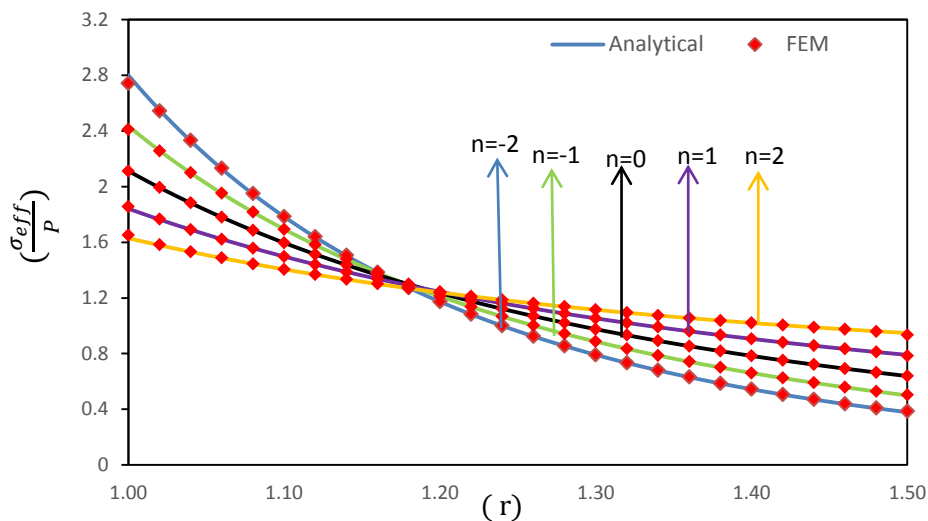
طور کامل ارضا می‌شود می‌توان نتیجه گرفت که تنش شعاعی ایجاد شده در جسم بیشترین وابستگی را به بارگذاری فشاری دارد.



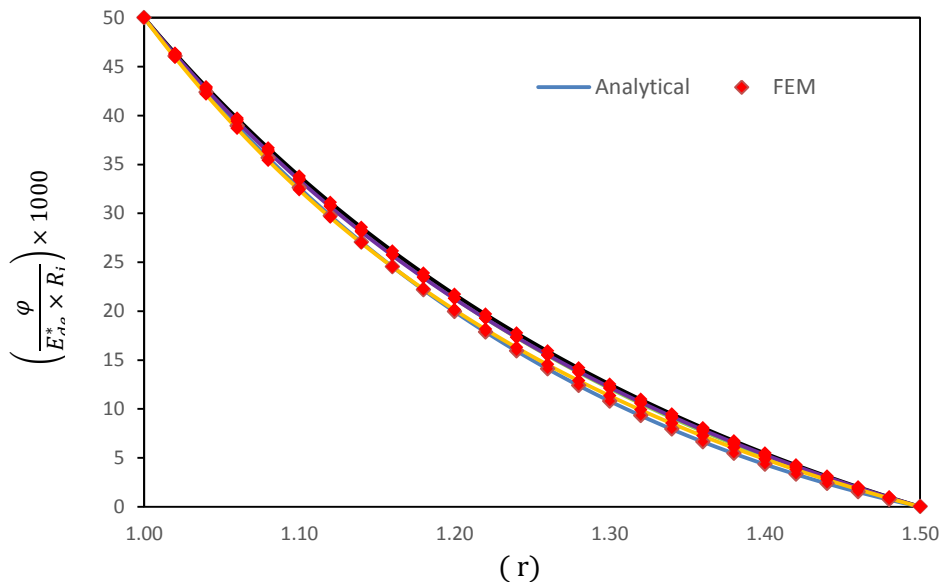
شکل ۲-۴ توزیع تنش محیطی در امتداد جداره‌ی ضخامت کره



شکل ۳-۴ میدان جابه‌جایی شعاعی در امتداد جداره‌ی ضخامت کره



شکل ۴-۴ توزیع تنש مؤثر در امتداد جدارهی ضخامت کره



شکل ۴-۵ توزیع پتانسیل الکتریکی در امتداد جدارهی ضخامت کره

در نمودارهای (۲-۴) تا (۴-۵) به ترتیب تغییرات تنش محیطی، جابه‌جایی شعاعی، تنش مؤثر و پتانسیل الکتریکی در راستای ضخامت جداره برای حالتی که جسم در جدارهی داخلی خود به‌طور همزمان تحت فشار داخلی و پتانسیل الکتریکی یکنواخت قرار گرفته است آورده شده است. همان‌طور که دیده می‌شود تطابق خوبی میان نتایج حل تحلیلی و اجزای محدود وجود دارد. همچنین ثابت ناهمگنی  $n$  در توزیع تنش و جابه‌جایی تأثیر زیادی دارد.

اما توزیع پتانسیل الکتریکی در جسم تقریباً مستقل از ثابت ناهمگنی بوده و بیشتر تابع شرایط مرزی است. با توجه به نمودار، مقدار تنش فن مایزز و تنش محیطی ایجاد شده در جسم با افزایش ثابت ناهمگنی در جدارهای داخلی کاهش یافته و در جدارهای خارجی افزایش می‌یابد. و برای جابه-جایی شعاعی باعث کاهش آن می‌شود.

### جمع‌بندی

نتایج به دست آمده در نمودارها، برای مقایسه‌ی عددی بهتر به صورت خلاصه در جداول ذکر می‌شوند.

جدول ۴-۱ تنش محیطی برای کره‌ی تحت فشار داخلی و پتانسیل الکتریکی

$\frac{\sigma_\phi}{P}$	$n = -2$		$n = -1$		$n = 0$		$n = 1$		$n = 2$	
	value	%Diff	value	%Diff	value	%Diff	value	%Diff	value	%Diff
$r = 1$	Anal	1.74	3	1.43	1.3	1.112	0.17	0.842	1.7	0.629
	FEM	1.8		1.41		1.110		0.857		0.652
$r = 1.25$	Anal	0.732	0.13	0.764	0.1	0.786	0	0.795	0.12	0.789
	FEM	0.731		0.765		0.786		0.794		0.789
$r = 1.5$	Anal	0.378	2	0.499	1	0.638	0.1	0.790		0.947
	FEM	0.386		0.504		0.639		0.784	0.7	0.933

جدول ۴-۲ تنش موثر برای کره‌ی تحت فشار داخلی و پتانسیل الکتریکی

$\frac{\sigma_{eff}}{P}$	$n = -2$		$n = -1$		$n = 0$		$n = 1$		$n = 2$	
	value	%Diff	value	%Diff	value	%Diff	value	%Diff	value	%Diff
$r = 1$	Anal	2.8	2.1	2.43		2.11		1.84	1.07	1.629
	FEM	2.74		2.41	0.8	2.11	0	1.86		1.651
$r = 1.25$	Anal	0.960	0.1	1.03	0	1.095	0.45	1.14	0	1.173
	FEM	0.961		1.03		1.090		1.14		1.172
$r = 1.5$	Anal	0.378	2.1	0.499	1	0.638	0	0.790	0.75	0.947
	FEM	0.386		0.504		0.638		0.784		0.933

جدول ۴-۳ جابه‌جایی شعاعی برای کره‌ی تحت فشار داخلی و پتانسیل الکتریکی

$u_r \times 1000$	n = -2		n = -1		n = 0		n = 1		n = 2		
	value	%Diff	value	%Diff	value	%Diff	value	%Diff	value	%Diff	
$r = 1$	Anal	0.032	0.3	0.0265		0.0213	0.46	0.0166	0	0.0124	0
	FEM	0.0321		0.0265	0	0.0214		0.0166		0.0124	
$r = 1.25$	Anal	0.0236	0.42	0.0194	0.5	0.0156	0.64	0.0122	0	0.0092	0
	FEM	0.0237		0.0195		0.0157		0.0122		0.0092	
$r = 1.5$	Anal	0.0189	0.52	0.0158	0	0.0129	0	0.0102	0	0.0078	0
	FEM	0.0190		0.0158		0.0129		0.0102		0.0078	

جدول ۴-۴ توزیع پتانسیل الکتریکی برای کره‌ی تحت فشار داخلی و پتانسیل الکتریکی

$\left( \frac{\varphi}{E_{de}^* \times R_t} \right) \times 1000$	n = -2		n = -1		n = 0		n = 1		n = 2		
	value	%Diff	value	%Diff	value	%Diff	value	%Diff	value	%Diff	
$r = 1$	Anal	50	0	50	0	50	0	50	0	50	0
	FEM	50		50		50		50		50	
$r = 1.25$	Anal	149	0.6	16.37	0.18	16.8	0	16.4	0	15.38	0.06
	FEM	150		16.40		16.8		16.4		15.39	
$r = 1.5$	Anal	0	---	0	---	0	---	0	---	0	---
	FEM	0	---	0	---	0	---	0	---	0	---

جداول (۱-۴) تا (۴-۴) نتایج حاصل از پیش‌بینی میدان تنش محیطی، تنش موثر، جابه‌جایی شعاعی و پتانسیل الکتریکی را با دو روش تحلیلی و اجزای محدود مورد مقایسه و بررسی قرار می‌دهند. همان‌طور که مشاهده می‌گردد در محاسبه‌ی میدان‌های ذکر شده دو روش دارای انطباق قابل قبولی می‌باشند.

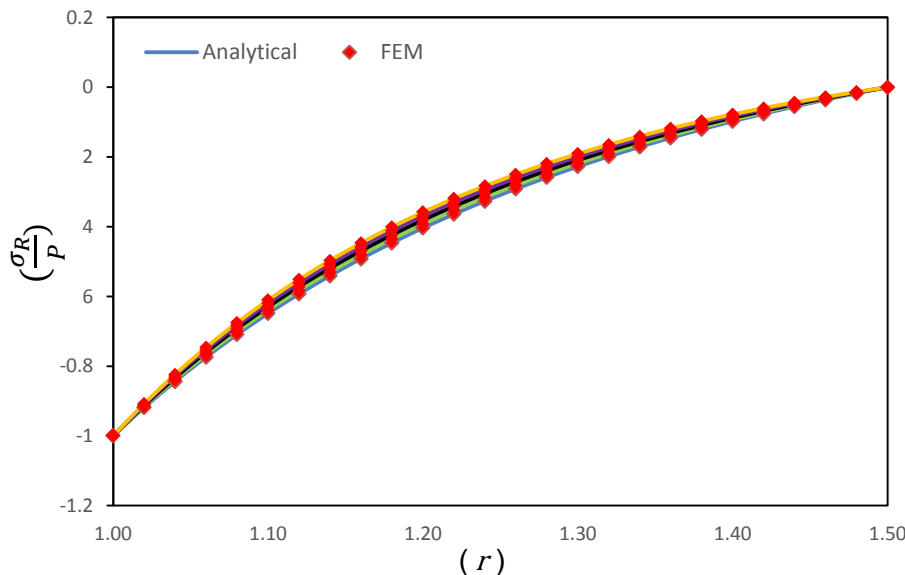
## ۴-۳-۲ بررسی تأثیر بارگذاری:

در این قسمت تأثیر انواع بارگذاری الکتریکی در مرزهای کره بر روی میدان جابه‌جایی، تنش

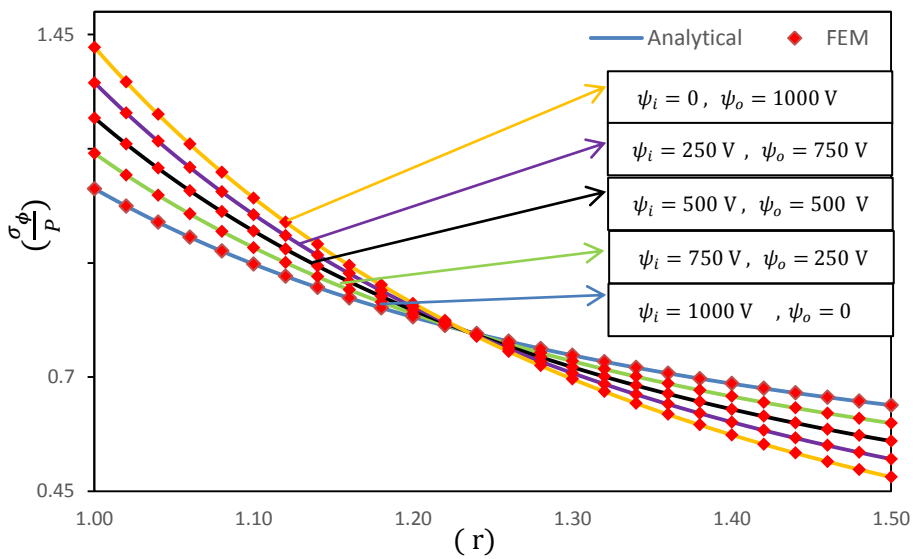
شعاعی، تنش محیطی، تنش مؤثر و توزیع پتانسیل الکتریکی در راستای ضخامت جداره کره مورد مطالعه و بررسی قرار گرفته و نتایج با یکدیگر مقایسه می‌شوند. برای بررسی تأثیر بارگذاری، ثابت ناهمگنی  $n$  برابر صفر در نظر گرفته شده و مسئله در حالات مختلف توزیع پتانسیل الکتریکی در جسم که در ذیل خواهد آمد حل می‌شود.

$$\begin{array}{lll} (\psi_i = 1000 V \text{ و } \psi_o = 0) & (\psi_i = 750 V \text{ و } \psi_o = 250 V) & (\psi_i = 500 V \text{ و } \psi_o = 500 V) \\ (\psi_i = 250 V \text{ و } \psi_o = 750 V) & & (\psi_i = 0 \text{ و } \psi_o = 1000 V) \end{array} \quad (1-4)$$

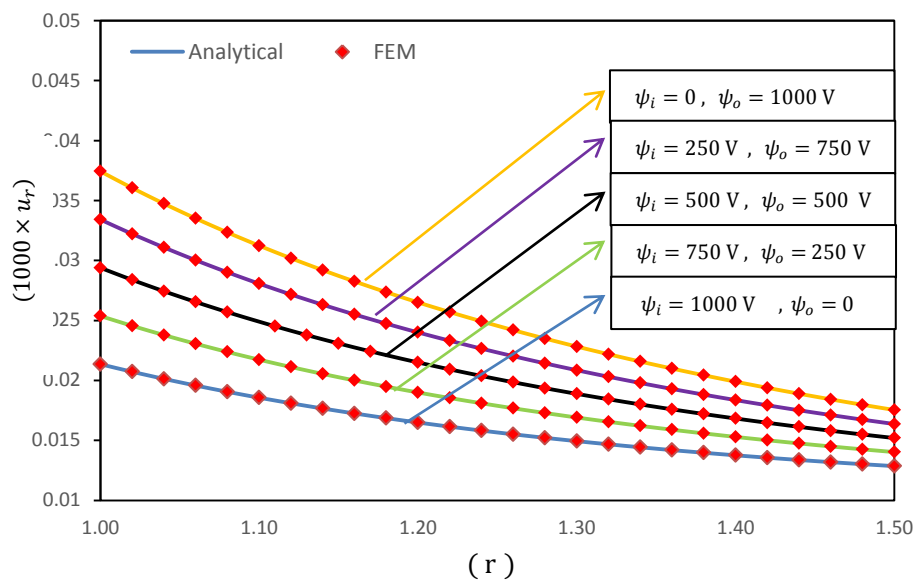
نتایج حل اجزای محدود و حل تحلیلی مسئله نیز در شکل‌های (۶-۴) تا (۱۰-۴) ارائه خواهند شد.



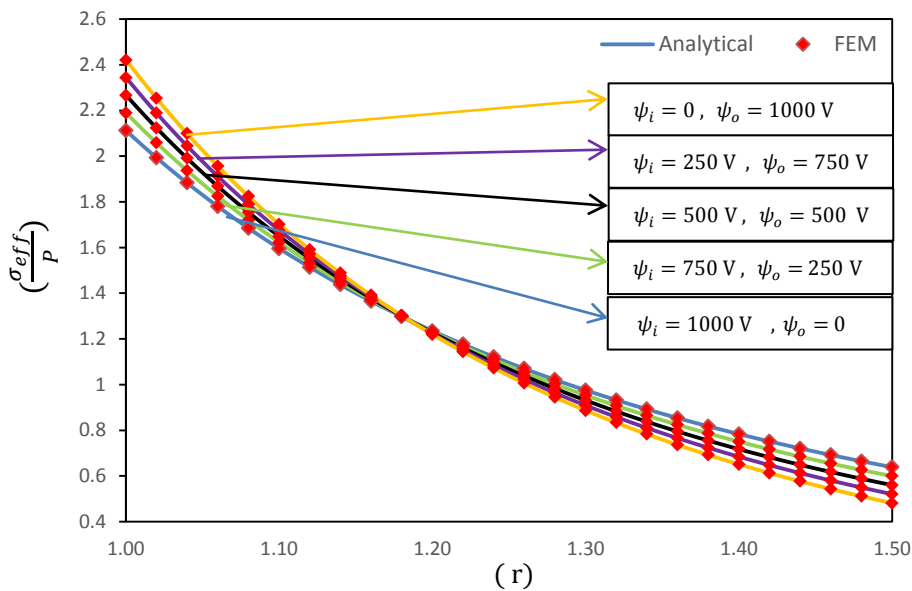
شکل ۶-۴ توزیع تنش شعاعی در امتداد جداره ضخامت کره



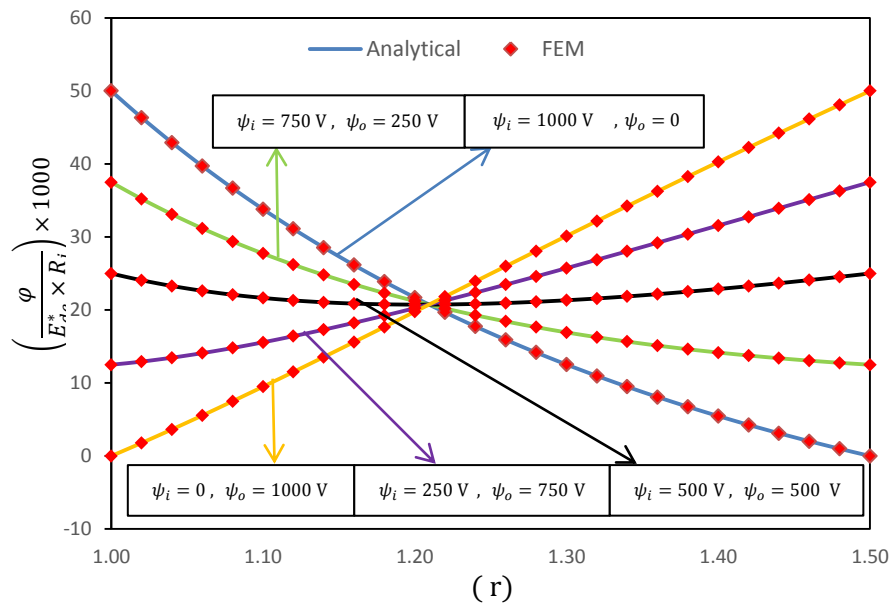
شکل ۷-۴ توزیع تنش محیطی در امتداد جدارهی ضخامت کره



شکل ۸-۴ توزیع جابه‌جایی شعاعی در امتداد جدارهی ضخامت کره



شکل ۹-۴ توزیع تنش موثر در امتداد جدارهی ضخامت کره



شکل ۱۰-۴ توزیع پتانسیل الکتریکی در امتداد جدارهی ضخامت کره

شکل های (۶-۴) تا (۱۰-۴) نتایج به دست آمده برای توزیع تنش، جابه جایی و پتانسیل الکتریکی را با استفاده از دو روش تحلیلی و اجزای محدود در حالت های مختلف بارگذاری الکتریکی (توزیع پتانسیل الکتریکی در جسم) نشان می دهند. شکل (۶-۴) تأثیر بارگذاری الکتریکی را بر روی توزیع تنش شعاعی در جسم نشان می دهد ثابت ناهمگنی بر روی توزیع تنش شعاعی اثربخش ندارد. بدقت در نمودارهای توزیع تنش محیطی و تنش موثر این نتیجه به دست می آید که توزیع این تنشها در جسم با دور شدن از جدارهی داخلی و خارجی به مقداری ثابت می کند. همچنین هر دو روش

در شرایط مختلف بارگذاری بیشترین مقدار تنش را در جداره‌ی داخلی و کمترین مقدار آن را در جداره‌ی خارجی پیش‌بینی می‌کنند. در شکل (۴-۸) تأثیر بارگذاری بر روی جابه‌جاوی شعاعی در کره نشان داده شده است. اگرچه بارگذاری الکتریکی اثری مشهود بر جابه‌جاوی شعاعی در جسم دارد اما تغییر چگونگی بارگذاری الکتریکی در مرزها سبب رفتاری همانند اما با مقدار بیشتری یا کمتر می‌گردد و شکل رفتار را به طور کامل دست‌خوش تغییر نمی‌کند.

شکل (۴-۱۰) نیز تأثیر بارگذاری الکتریکی را بر روی توزیع پتانسیل الکتریکی در کره نشان می‌دهد که از دو روش اجزای محدود و تحلیلی محاسبه شده است. همان‌طور که از مشاهده‌ی نمودار پیداست توزیع پتانسیل الکتریکی در جسم رفتار تقریباً خطی داشته و شرایط مرزی بارگذاری در جداره‌ی داخلی و خارجی به‌طور کامل ارضاء شده است. در مجموع می‌توان نتیجه گرفت که جداره‌ی داخلی سازه در مقایسه‌ی با جداره‌ی خارجی در شرایط بحرانی‌تری قرار داشته که این مهم باید در امر طراحی بهینه لحاظ گردد.

### جمع‌بندی

نتایج به دست آمده برای کره‌ی تحت بارگذاری الکتریکی، جهت مقایسه و بررسی بهتر به صورت جدول با دو روش تحلیلی و اجزای محدود ارائه می‌گردد.

جدول ۴-۵ تنش شعاعی برای کره‌ی تحت فشار داخلی و پتانسیل الکتریکی

$\frac{\sigma_R}{P}$	$\psi_i = 1000 \text{ V}$		$\psi_i = 750 \text{ V}$		$\psi_i = 500 \text{ V}$		$\psi_i = 250 \text{ V}$		$\psi_i = 0$		
	$\psi_o = 0$	$\psi_o = 250 \text{ V}$	$\psi_o = 500 \text{ V}$	$\psi_o = 750 \text{ V}$	$\psi_o = 1000 \text{ V}$	value	%Diff	value	%Diff	value	%Diff
$r = 1$	Anal	-1	-1	-1	-1	-1	1	-1	1	-1	1
	FEM	-0.99	1	-0.99	1	-0.99	1	-0.99	1	-0.99	1
$r = 1.25$	Anal	-	-	-	-	-	-	-	-	-	-
	FEM	0.308	0	0.298	0	0.287	0	0.277	0.36	0.266	0.37
$r = 1.5$	Anal	0	---	0	---	0	---	0	---	0	---
	FEM	0	---	0	---	0	---	0	---	0	---

جدول ۶-۴ توزیع تنش محیطی برای کره‌ی تحت فشار داخلی و پتانسیل الکتریکی

$\frac{\sigma_\phi}{P}$	$\psi_i = 1000 \text{ V}$		$\psi_i = 750 \text{ V}$		$\psi_i = 500 \text{ V}$		$\psi_i = 250 \text{ V}$		$\psi_i = 0$	
	$\psi_o = 0$		$\psi_o = 250 \text{ V}$		$\psi_o = 500 \text{ V}$		$\psi_o = 750 \text{ V}$		$\psi_o = 1000 \text{ V}$	
	value	%Diff	value	%Diff	value	%Diff	value	%Diff	value	%Diff
$r = 1$	Anal	1.112 0.17	1.19 0		1.267 0.23		1.35 0.74		1.422 0.07	
	FEM	1.110	1.19		1.270		1.34		1.421	
$r = 1.25$	Anal	0.786 0	0.782 0.12		0.779 0		0.776 0		0.772 0.12	
	FEM	0.786	0.783		0.779		0.776		0.771	
$r = 1.5$	Anal	0.638 0.15	0.599 0		0.559 0.17		0.520 0		0.481 0	
	FEM	0.639	0.599		0.560		0.520		0.481	

جداول (۵-۴) و (۶-۴) نتایج تنش شعاعی و تنش محیطی را با استفاده از روش تحلیلی و اجزای محدود مورد مقایسه قرار می‌دهند. همان‌طور که مشاهده می‌شود میزان اختلاف نتایج دو روش بسیار اندک بوده و مقادیر به دست آمده قابل قبول می‌باشند.

جدول ۷-۴ جابه‌جایی شعاعی برای کره‌ی تحت فشار داخلی و پتانسیل الکتریکی

$\mathbf{u}_r \times 1000$	$\psi_i = 1000 \text{ V}$		$\psi_i = 750 \text{ V}$		$\psi_i = 500 \text{ V}$		$\psi_i = 250 \text{ V}$		$\psi_i = 0$	
	$\psi_o = 0$		$\psi_o = 250 \text{ V}$		$\psi_o = 500 \text{ V}$		$\psi_o = 750 \text{ V}$		$\psi_o = 1000 \text{ V}$	
	value	%Diff	value	%Diff	value	%Diff	value	%Diff	value	%Diff
$r = 1$	Anal	0.02 13	0.025 3		0.029 3		0.033 4		0.037 4	
	FEM	0.02 14	0.025 4		0.029 4		0.033 4		0.037 4	
$r = 1.25$	Anal	0.01 57	0.017 8		0.020 5		0.022 3		0.024 5	
	FEM	0.01 56	0.017 9		0.021 5		0.022 3		0.024 5	
$r = 1.5$	Anal	0.01 28	0.014 0		0.015 1		0.016 4		0.017 5	
	FEM	0.01 29	0.014 2		0.015 2		0.016 4		0.017 5	

جدول ۴-۸ توزیع پتانسیل الکتریکی برای کره‌ی تحت فشار داخلی و پتانسیل الکتریکی

$\left( \frac{\varphi}{E_{de}^* \times R_i} \right) \times 1000$	$\psi_i = 1000 \text{ V}$		$\psi_i = 750 \text{ V}$		$\psi_i = 500 \text{ V}$		$\psi_i = 250 \text{ V}$		$\psi_i = 0$		
	$\psi_o = 0$	$\psi_o = 250 \text{ V}$	$\psi_o = 500 \text{ V}$	$\psi_o = 750 \text{ V}$	$\psi_o = 1000 \text{ V}$	value	%Diff	value	%Diff	value	%Diff
$r = 1$	Anal	50	0	37.5	0	25	0	12.5	0	0	---
	FEM	50		37.5		25		12.5		0	
$r = 1.25$	Anal	16.81	0.05	18.84	0.21	20.88	0.09	22.9	0	24.95	0
	FEM	16.8		18.80		20.9		22.9		24.95	
$r = 1.5$	Anal	0	0	125	0	25	0	37.5	0	50	0
	FEM	0		125		25		37.5		50	

در این قسمت نیز نتایج مربوط به میدان جابه‌جایی شعاعی و توزیع پتانسیل الکتریکی با استفاده

از روش تحلیلی و اجزای محدود جهت مقایسه در جداول آورده شده است.

#### ۴-۴ مطالعه‌ی عددی الکتروترمو مکانیک کره‌ی FGPM

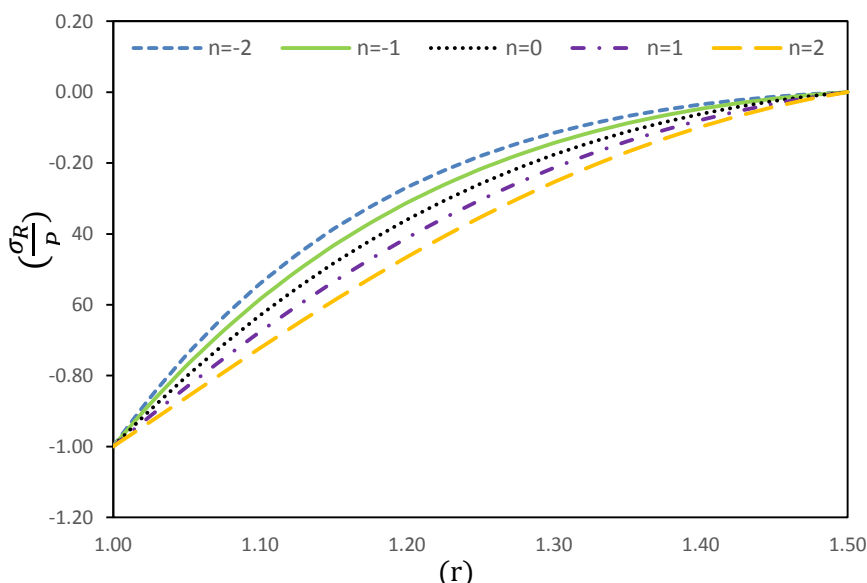
برای مقایسه‌ی بهتر، در این بخش نیز، مشخصات هندسی و جنس کره همچون مطالعه‌ی عددی تحلیل گذشته در نظر گرفته می‌شود. نمونه‌ی عددی مورد مطالعه در سطح داخلی خود تحت پتانسیل الکتریکی  $\theta_i$  و در سطح خارجی نیز تحت پتانسیل الکتریکی  $\theta_0$  قرار دارد. دمای ثابت مثبت مرجع نیز  $25^\circ\text{C} = \theta^*$  در نظر گرفته شده است.

#### ۴-۱ بررسی تأثیر ثابت ناهمگنی :

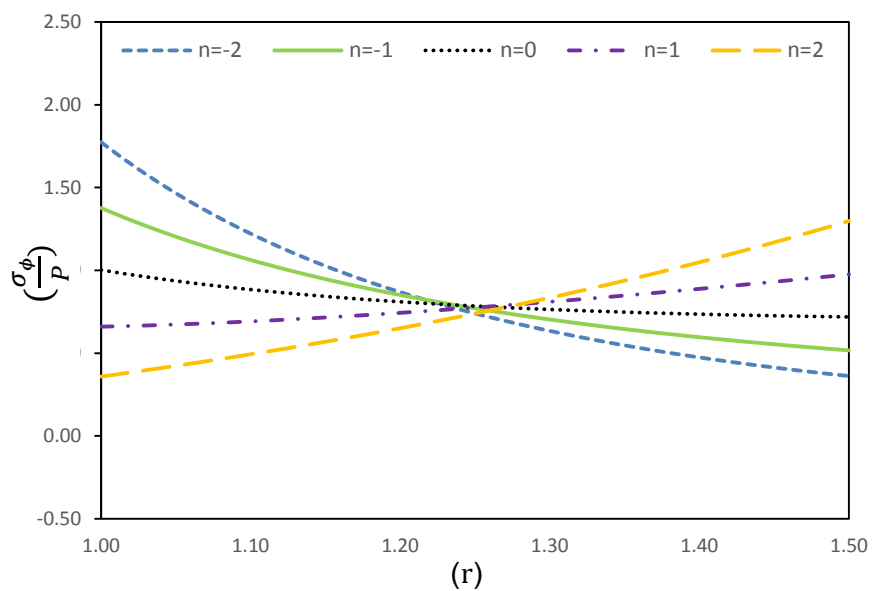
برای بررسی تأثیر ثابت ناهمگنی، مانند گذشته کلیه‌ی ثوابت ناهمگنی برابر ثابت ناهمگنی کل  $n$  فرض شده و مقادیر  $n = -2, -1, 0, 1, 2$ ، مورد مطالعه قرار می‌گیرند. در این قسمت نیز تأثیر ثابت ناهمگنی بر روی میدان دما، میدان جابه‌جایی، تنش شعاعی، تنش محیطی، تنش مؤثر و توزیع پتانسیل الکتریکی در راستای ضخامت جداره‌ی کره مورد مطالعه و بررسی قرار می‌گیرد و در نهایت نتایج به دست آمده تحلیل می‌شوند. در این حالت مخزن مورد نظر در جداره‌ی داخلی خود تحت

دما $\theta_i = 125^\circ\text{C}$  و پتانسیل الکتریکی  $V_i = 1000$  قرار داشته، همچنین در جداره $i$  خارجی نیز تحت دما $\theta_i = 25^\circ\text{C}$  و پتانسیل الکتریکی  $\psi_i = 0$  قرار دارد. بارگذاری مکانیکی اعمال شده بر جسم نیز به صورت فشار داخلی  $p_i = 80 \text{ MPa}$  می‌باشد.

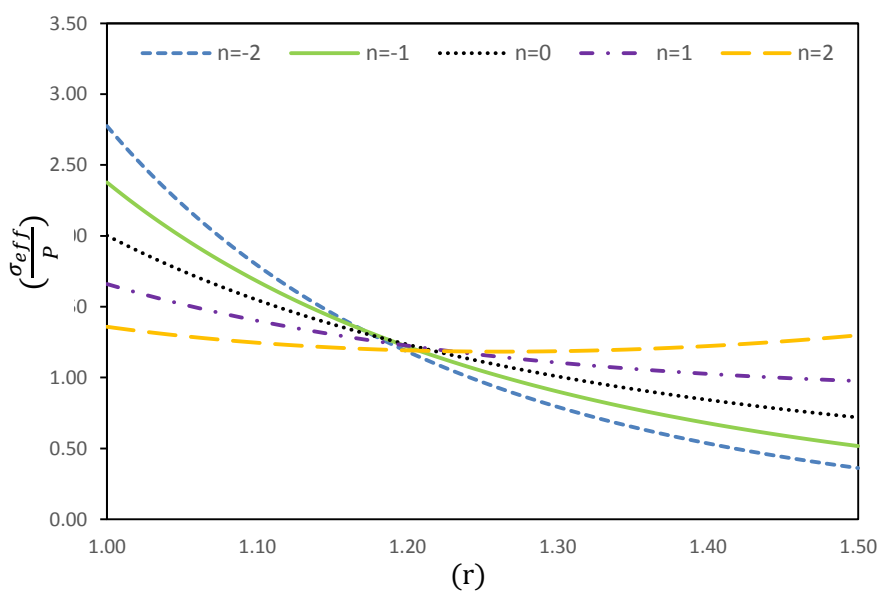
نتایج تحلیل بیان شده در این قسمت در شکل‌های (۱۱-۴) تا (۱۶-۴) آورده شده است.



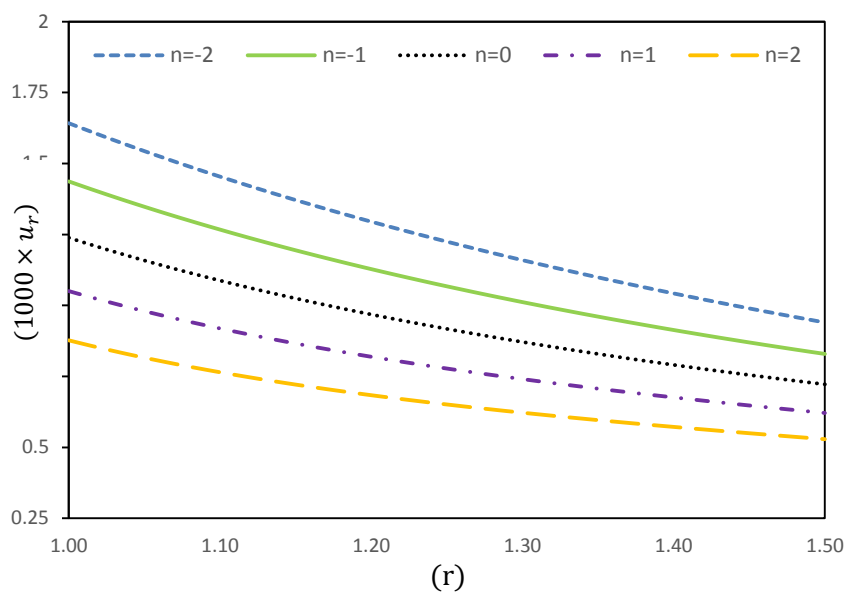
شکل ۱۱-۴ توزیع تنش شعاعی در امتداد جداره $i$  ضخامت کره



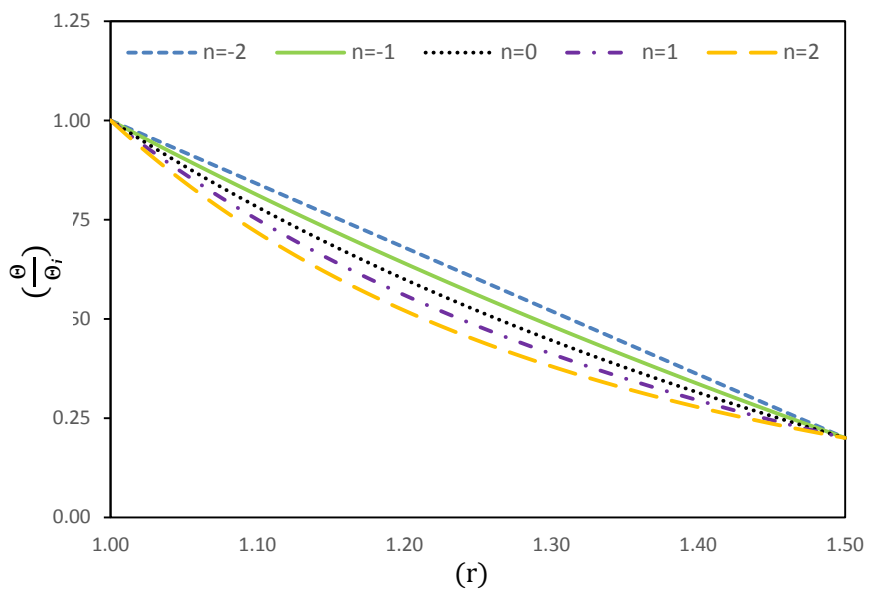
شکل ۱۲-۴ توزیع تنش محیطی در امتداد جدارهی ضخامت کره



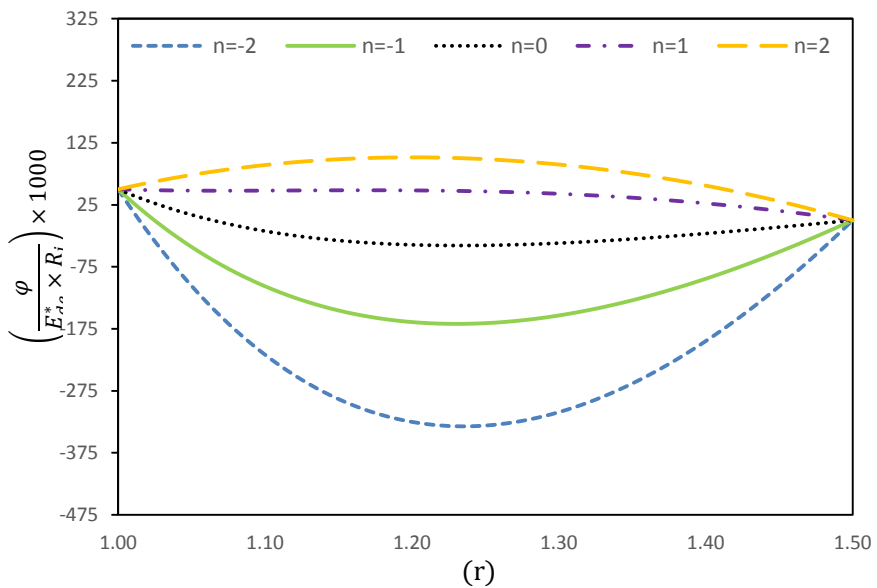
شکل ۱۳-۴ توزیع تنش مؤثر در امتداد جدارهی ضخامت کره



شکل ۱۴-۴ توزیع جابه‌جایی شعاعی در امتداد جدارهی ضخامت کره



شکل ۱۵-۴ توزیع میدان دمایی در امتداد جدارهی ضخامت کره



شکل ۴-۱۶ توزیع پتانسیل الکتریکی در امتداد جدارهی ضخامت کره

همان‌طور که مشاهده می‌شود شکل‌های (۱۱-۴) تا (۱۶-۴) تأثیر ثابت ناهمگنی را بر روی تنش‌ها، جابه‌جایی، توزیع پتانسیل الکتریکی و میدان دما نشان می‌دهد. اثر ثابت ناهمگنی بر روی تنش شعاعی در شکل (۱۱-۴) نشان داده شده است. با افزایش ثابت ناهمگنی مقدار تنش شعاعی در جسم افزایش می‌یابد و شرایط مرزی نیز به‌طور کامل ارضاء شده است.

شکل‌های (۱۲-۴) و (۱۳-۴) به ترتیب اثر ثابت ناهمگنی را بر روی توزیع تنش محیطی و تنش مؤثر نشان می‌دهد. همان‌طور که دیده می‌شود با افزایش ثابت ناهمگنی  $n$ ، مقدار این تنش‌ها در جدارهی داخلی کره افزایش یافته و بر عکس در جدارهی خارجی جسم کاهش می‌یابد. در این حالت نیز مشابه مطالعه‌ی عددی تحلیل گذشته، مقادیر تنش محیطی و مؤثر رفتاری مستقل از ثابت ناهمگنی را از خود نشان می‌دهد. نتیجه‌ای که با دقیقت در شکل (۱۴-۴) حاصل می‌شود بیانگر این مطلب است که جابه‌جایی شعاعی ایجاد شده در جسم با افزایش ثابت ناهمگنی، کوچکتر شده و هرچه از موقعیت جدارهی داخلی به سمت جدارهی خارجی جسم پیش برویم مقدار جابه‌جایی ایجاد شده کمتر می‌شود تا آنجاییکه در جدارهی خارجی جسم به کمترین مقدار خود می‌رسد. در شکل (۱۵-۴) اثر ثابت ناهمگنی بر روی تغییرات میدان دما در جسم آورده شده است. همان‌طور که مشخص است

تغییرات دما در امتداد جداره‌ی ضخامت کره تقریباً دارای رفتار خطی بوده و با توجه به دمای اعمال شده در مرزهای جسم، دارای روند کاهشی می‌باشد. همچنین مقدار حرارت ایجاد شده در جسم با افزایش ثابت ناهمگنی کاهش می‌یابد. شکل (۱۶-۴) اثر ثابت ناهمگنی را بر روی توزیع پتانسیل الکتریکی در امتداد جداره‌ی ضخامت کره نشان می‌دهد. در این حالت نیز ثابت ناهمگنی بر توزیع پتانسیل الکتریکی در جسم کاملاً مشهود است و مقدار پتانسیل الکتریکی با افزایش ثابت ناهمگنی در جسم کاهش می‌یابد. همچنین اثر شرایط مرزی در جسم نیز کاملاً واضح است.

### جمع‌بندی

نتایج به دست آمده در نمودارها، برای مقایسه‌ی عددی بهتر به صورت خلاصه در جداول ذکر می‌شوند.

جدول ۴-۹ تنش شعاعی برای کره‌ی تحت بارگذاری حرارتی

$\frac{\sigma_R}{P}$	$n = -2$		$n = -1$		$n = 0$		$n = 1$		$n = 2$		
	value	%Diff	value	%Diff	value	%Diff	value	%Diff	value	%Diff	
$r = 1$	Anal	-1	0.12	-1	0.12	-1	0.12	-1	0.12	-1	0.12
	FEM	-0.998		-0.998		-0.998		-0.998		-0.998	
$r = 1.25$	Anal	-0.227	3.02	-0.275	3.6	-0.327	3.6	-0.383	3.4	-0.443	3
	FEM	-0.22		-0.265		-0.315		-0.370		-0.427	
$r = 1.5$	Anal	0	---	0	---	0	---	0	---	0	---
	FEM	0		0		0		0		0	

جدول ۴-۱۰ جابه‌جایی شعاعی برای کرهٔ تحت بارگذاری حرارتی

$u_r \times 1000$	$n = -2$		$n = -1$		$n = 0$		$n = 1$		$n = 2$		
	value	%Diff	value	%Diff	value	%Diff	value	%Diff	value	%Diff	
$r = 1$	Anal	1.642	1.2	1.437	1.9	1.237	2.8	1.05	3	0.877	4
	FEM	1.662		1.465		1.272		1.09		0.92	
$r = 1.25$	Anal	1.225	1.06	1.067	0.9	0.917	0.76	0.777	0.64	0.65	0.46
	FEM	1.212		1.057		0.910		0.772		0.647	
$r = 1.5$	Anal	0.94	2.1	0.83	2	0.722	2.7	0.62	3.2	0.527	2.8
	FEM	0.92		0.81		0.702		0.60		0.512	

جدول ۴-۱۱ میدان دما برای کرهٔ تحت بارگذاری حرارتی

$\frac{\theta}{\theta_i}$	$n = -2$		$n = -1$		$n = 0$		$n = 1$		$n = 2$		
	value	%Diff	value	%Diff	value	%Diff	value	%Diff	value	%Diff	
$r = 1$	Anal	1	0	1	0	1	0	1	0	1	0
	FEM	1		1		1		1		1	
$r = 1.25$	Anal	0.6	0.16	0.56	0	0.52	0	0.48	0	0.44	0
	FEM	0.599		0.56		0.52		0.48		0.44	
$r = 1.5$	Anal	0.2	0	0.2	0	0.2	0	0.2	0	0.2	0
	FEM	0.2		0.2		0.2		0.2		0.2	

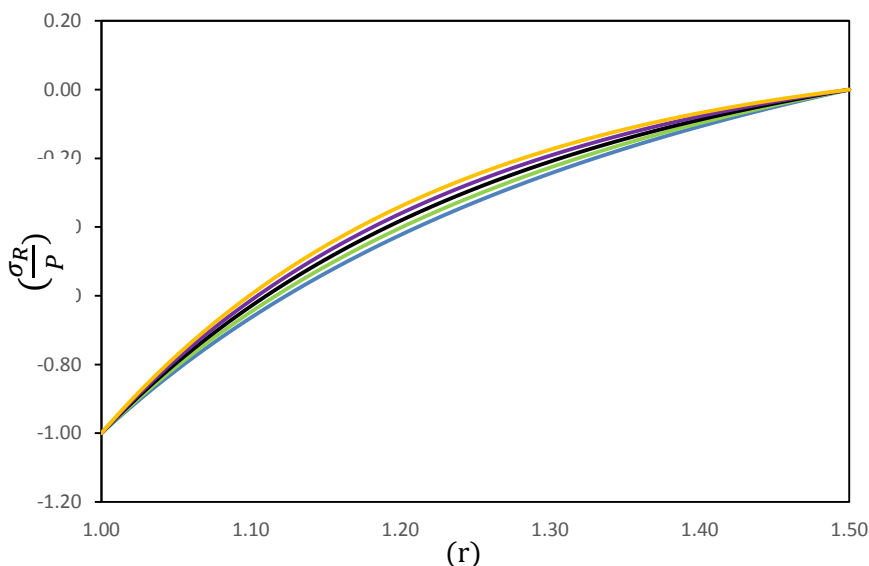
## ۴-۴-۲ بررسی تأثیر بارگذاری:

در این قسمت تأثیر انواع بارگذاری حرارتی در مرزهای کرهٔ بر روی میدان جابه‌جایی، تنش شعاعی، تنش محیطی، تنش مؤثر، توزیع پتانسیل الکتریکی و میدان دما در راستای ضخامت جدارهی کره مورد مطالعه و بررسی قرار گرفته و نتایج با یکدیگر مقایسه می‌شوند. برای بررسی تأثیر بارگذاری، ثابت ناهمگنی  $n$  برابر صفر در نظر گرفته شده و مسئله در شرایط مختلف بارگذاری حرارتی در جسم

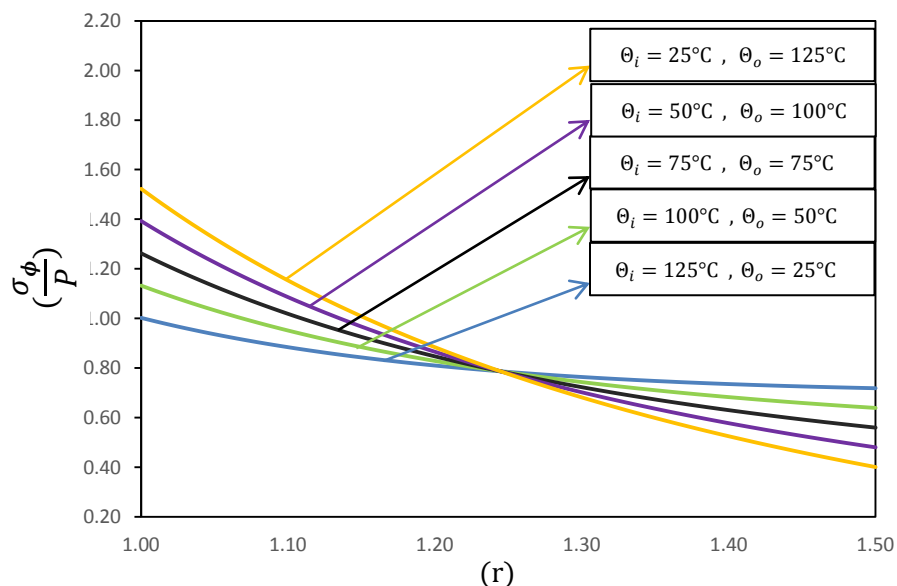
که در ذیل خواهد آمد مورد مطالعه قرار می‌گیرد.

$$\begin{aligned}
 & (\theta_i = 125^\circ\text{C} \text{ و } \theta_o = 25^\circ\text{C}) \quad (\theta_i = 100^\circ\text{C} \text{ و } \theta_o = 50^\circ\text{C}) \quad (\theta_i = 75^\circ\text{C} \text{ و } \theta_o = 75^\circ\text{C}) \\
 & (\theta_i = 50^\circ\text{C} \text{ و } \theta_o = 100^\circ\text{C}) \quad (\theta_i = 25^\circ\text{C} \text{ و } \theta_o = 125^\circ\text{C})
 \end{aligned} \tag{۲-۴}$$

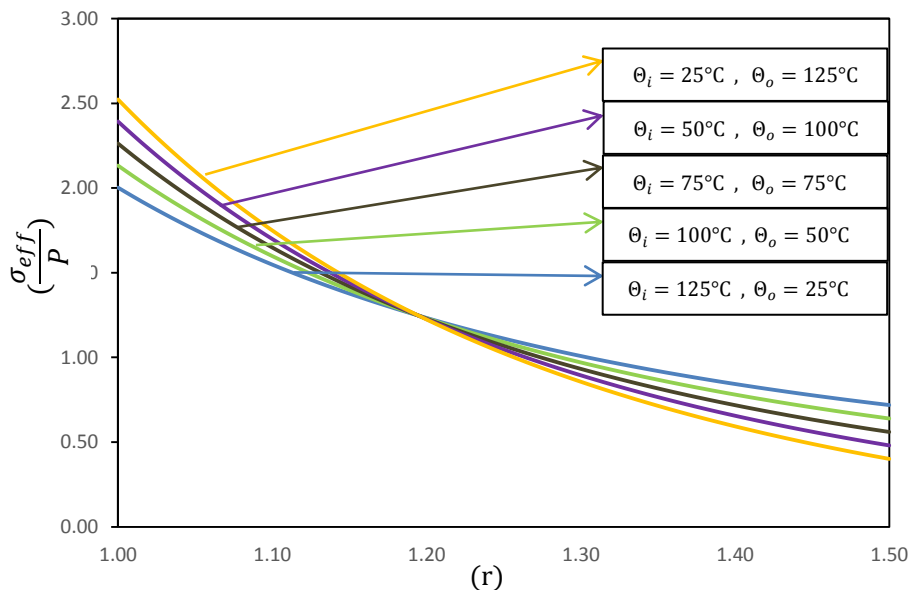
نتایج به دست آمده از تحلیل فوق در شکل‌های (۱۷-۴) تا (۲۲-۴) آورده شده است.



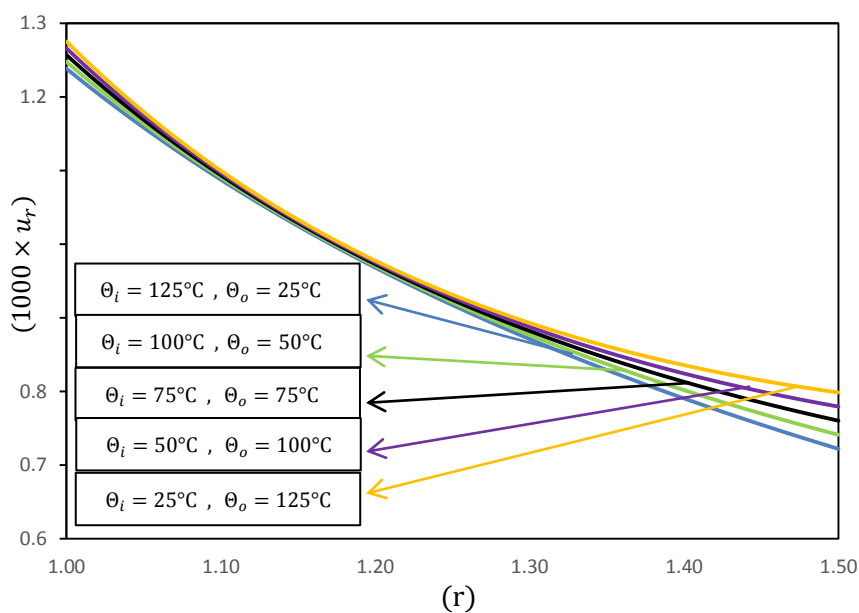
شکل ۱۷-۴ توزیع تنش شعاعی در امتداد جداره ضخامت کره



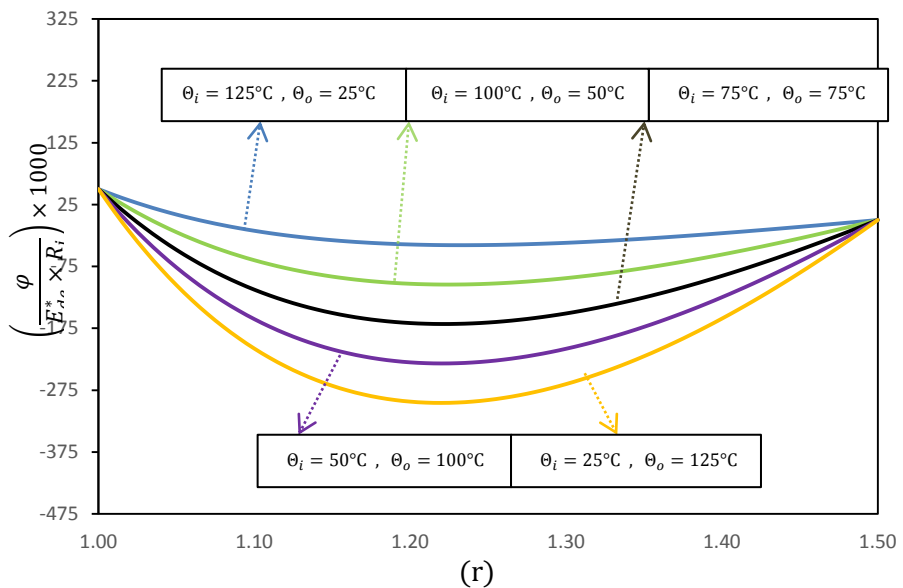
شکل ۱۸-۴ توزیع تنش محیطی در امتداد جداره ضخامت کره



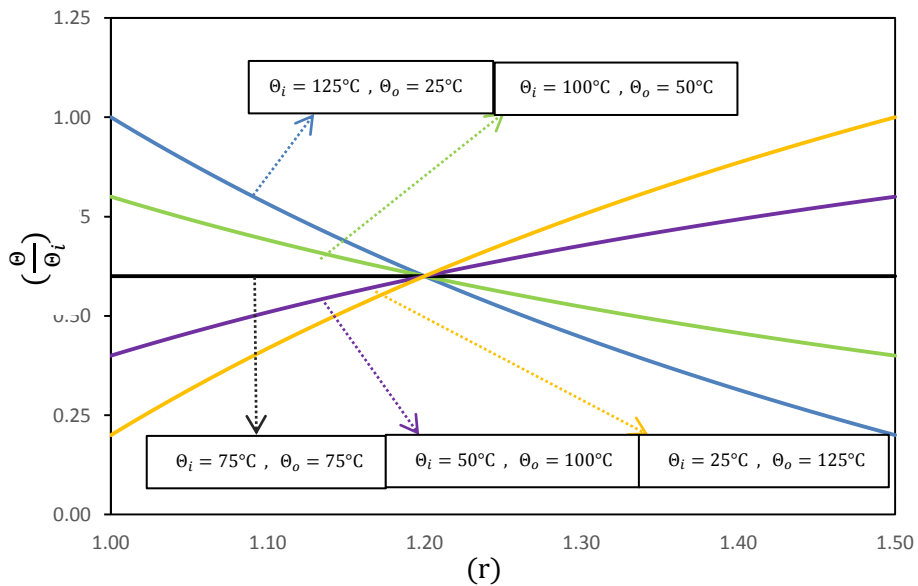
شکل ۱۹-۴ توزیع مؤثر در امتداد جدارهی ضخامت کره



شکل ۲۰-۴ توزیع میدان جابه‌جایی شعاعی در امتداد جدارهی ضخامت کره



شکل ۲۱-۴ توزیع پتانسیل الکتریکی در امتداد جدارهی ضخامت کره



شکل ۲۲-۴ توزیع میدان دمایی در امتداد جدارهی ضخامت کره

شکل‌های (۱۷-۴) تا (۲۲-۴) تأثیر شرایط مختلف بارگذاری حرارتی را روی تنش‌ها، جابه‌جایی، توزیع پتانسیل الکتریکی و میدان دمایی در جسم نشان می‌دهند. تأثیر بارگذاری حرارتی در مزهای جسم بر روی تغییرات تنش شعاعی در امتداد جدارهی ضخامت جسم در شکل (۱۷-۴) قابل مشاهده است. نظر به اینکه بارگذاری فشاری در مقایسه با بارگذاری‌های الکتریکی و حرارتی اثر شدیدتری بر روی تنش شعاعی دارد، بنابراین همان‌طور که دیده می‌شود شرایط مختلف بارگذاری حرارتی اثری

اندک بر روی توزیع تنش شعاعی داشته و چندان مشهود نیست.  
شکل‌های (۱۸-۴) و (۱۹-۴) به ترتیب تغییرات تنش محیطی و مؤثر را در امتداد جداره‌ی

ضخامت جسم نشان می‌دهند. همانگونه که مشخص است توزیع این تنش‌ها در جسم رفتار تقریباً مشابهی داشته و در لایه‌ای از ضخامت جسم، مقادیر تنش مستقل از شرایط بارگذاری به سمت مقدار ثابتی همگرا می‌شوند. همچنین در حالات مختلف بارگذاری حرارتی، مقدار تنش‌های مؤثر و محیطی ایجاد شده در جداره‌ی داخلی جسم بیشترین مقدار را دارد. نتیجه‌ی قابل توجهی که از مشاهده‌ی شکل (۲۰-۴) حاصل می‌شود این است که جابه‌جایی شعاعی ایجاد شده در جسم جز در نواحی نزدیک جداره‌های داخلی و خارجی کره رفتاری تقریباً مستقل از بارگذاری حرارتی دارد. همچنین میدان جابه‌جایی شعاعی ایجاد شده در امتداد جداره‌ی ضخامت جسم دارای حالت نزولی می‌باشد.

همان‌طور که در شکل (۲۱-۴) نشان داده شده است تأثیر بارگذاری حرارتی بر توزیع پتانسیل الکتریکی در جسم کاملاً مشهود می‌باشد. همچنین شرایط مرزی بارگذاری الکتریکی در جداره‌ی داخلی و خارجی به طور کامل ارضا شده و بارگذاری حرارتی اثری بر مقار چتانسیل الکتریکی در مرزهای کره ندارد. شکل (۲۲-۴) تأثیر انواع بارگذاری حرارتی در مرزهای جسم را بر توزیع میدان دمایی نشان می‌دهد. مشاهده می‌گردد رفتار میدان دمایی به بارگذاری حرارتی اعمال شده بر جسم وابستگی داشته و با تغییر آن توزیعی صعودی یا نزولی از جداره‌ی داخلی کره پیدا می‌کند.

## جمع‌بندی

نتایج برای مقایسه بهتر و کمی به صورت جداول ارائه می‌گردند.

جدول ۱۲-۴ توزیع تنش شعاعی برای کرهٔ تحت بارگذاری حرارتی

$\frac{\sigma_R}{P}$	$\Theta_i = 125^\circ\text{C}$		$\Theta_i = 100^\circ\text{C}$		$\Theta_i = 75^\circ\text{C}$		$\Theta_i = 50^\circ\text{C}$		$\Theta_i = 25^\circ\text{C}$		
	$\Theta_o = 25^\circ\text{C}$		$\Theta_o = 50^\circ\text{C}$		$\Theta_o = 75^\circ\text{C}$		$\Theta_o = 100^\circ\text{C}$		$\Theta_o = 125^\circ\text{C}$		
	value	%Dif	value	%Diff	value	f	value	f	value	%Diff	
$r=1$	Anal	-1	0.1	-1	0.1	-1	0.1	-1	0.1	-1	0.1
	FEM	-0.999		-0.999		-0.999		-0.999		-0.999	
$r=1.25$	Anal	-0.327	3.6	-0.307	3.2	-0.287	2	0.267	1.1	0.248	0.8
	FEM	-0.315		-0.297		-0.281		0.264		0.246	
$r=1.5$	Anal	0	---	0	---	0	---	0	---	0	---
	FEM	0		0		0		0		0	

جدول ۱۳-۴ میدان جابه‌جایی شعاعی برای کرهٔ تحت بارگذاری حرارتی

$\mathbf{u}_r \times 1000$	$\Theta_i = 125^\circ\text{C}$		$\Theta_i = 100^\circ\text{C}$		$\Theta_i = 75^\circ\text{C}$		$\Theta_i = 50^\circ\text{C}$		$\Theta_i = 25^\circ\text{C}$		
	$\Theta_o = 25^\circ\text{C}$		$\Theta_o = 50^\circ\text{C}$		$\Theta_o = 75^\circ\text{C}$		$\Theta_o = 100^\circ\text{C}$		$\Theta_o = 125^\circ\text{C}$		
	value	%Diff	value	%Diff	value	%Diff	value	%Diff	value	%Diff	
$r=1$	Anal	1.237	2.8	1.25	2.4	1.26	2.3	1.265	2.5	1.275	2.3
	FEM	1.272		1.28		1.29		1.297		1.305	
$r=1.25$	Anal	0.917	0.7	0.92	0.54	0.925	0.5	0.927	0.2	0.932	0.2
	FEM	0.910		0.915		0.92		0.925		0.930	
$r=1.5$	Anal	0.722	2.7	0.74	2.7	0.76	3	0.78	4	0.797	4
	FEM	0.702		0.72		0.73		0.742		0.76	

جدول ۱۴-۴ میدان دمایی برای کرهٔ تحت بارگذاری حرارتی

$\frac{\theta}{\theta_i}$	$\Theta_i = 125^\circ\text{C}$		$\Theta_i = 100^\circ\text{C}$		$\Theta_i = 75^\circ\text{C}$		$\Theta_i = 50^\circ\text{C}$		$\Theta_i = 25^\circ\text{C}$		
	$\Theta_o = 25^\circ\text{C}$		$\Theta_o = 50^\circ\text{C}$		$\Theta_o = 75^\circ\text{C}$		$\Theta_o = 100^\circ\text{C}$		$\Theta_o = 125^\circ\text{C}$		
	value	%Diff	value	%Diff	value	%Diff	value	%Diff	value	%Diff	
$r=1$	Anal	1	0	1	0	1	0	1	0	1	0
	FEM	1		1		1		1		1	
$r=1.25$	Anal	0.52	0	0.7	0	1	0	1.6	0	3.4	0
	FEM	0.52		0.7		1		1.6		3.4	
$r=1.5$	Anal	0.2	0	0.5	0	1	0	2	0	5	0
	FEM	0.2		0.5		1		2		5	

جدول‌های (۱۲-۴) تا (۱۴-۴) به ترتیب نتایج به دست آمده برای توزیع تنش شعاعی، میدان جابه‌جایی شعاعی و میدان دمایی را از دو روش تحلیلی و اجزای محدود نشان می‌دهد؛ همان‌گونه که مشاهده می‌گردد در محاسبه‌ی میدان جابه‌جایی دو روش دارای اختلاف اندک، لکن مشهودتری می‌باشند. علت اصلی این اختلاف را می‌توان در فرض خطی بودن میدان جابه‌جایی دانست و این فرض منشأ ایجاد اختلاف بین دو روش حل است. جدول (۱۴-۴) نیز نتایج به دست آمده برای میدان دمایی را از دو روش تحلیلی و اجزای محدود نشان می‌دهد؛ همان‌طور که پیداست هر دو روش نتایج یکسانی را برای میدان دما پیش‌بینی می‌کنند.

## فصل ۵

### نتیجه‌گیری و پیشنهادها

## ۱-۵ مقدمه

مخازن کروی به دلیل تقارن در هندسه، قابلیت توزیع مناسب تنش‌های ایجاد شده در اثر انواع بارگذاری‌های متقارن، از مقاومت بالایی برخوردار هستند. دستیابی به روش‌های مختلف تحلیل این گروه از پوسته‌ها، ماده و بارگذاری‌های متنوع، همچنان مورد علاقه‌ی پژوهشگران می‌باشد. در فصل‌های قبل، نتایج مربوط به تحلیل الکترو الاستیک و الکتروترموالاستیک پوسته‌های کروی جدارکلفت ساخته شده از مواد پیزوالکتریک با توزیع توانی خواص در راستای شعاع کره به کمک نظریه‌ی الاستیسیته‌ی مستوی و روش اجزای محدود با استفاده از نرمافزار ANSYS استخراج و ارائه شدند. نتایج حل عددی نیز برای ثابت‌های ناهمگنی ۱، ۰، ۲ و ۲ استخراج و با نتایج حاصل از مدل-سازی مسئله با نرمافزار ANSYS مقایسه شدند.

در این فصل با نگاهی گذرا به فصل‌های قبل به جمع‌بندی نتایج به دست آمده در فصل‌های گذشته پرداخته می‌شود و در صد اختلاف در نتایج، با مبنا قرار دادن نتایج روش تحلیلی بیان می‌گردد. در آخر با پیشنهادهایی به منظور پژوهش در همین راستا این فصل به پایان می‌رسد.

## ۲-۵ نتیجه‌گیری

با توجه به برقرار بودن اصل جمع آثار، نتایج به دست آمده برای تحلیل الکتروترمومکانیکی برابر مجموع نتایج تحلیل حرارتی، الکتریکی و مکانیکی می‌باشد. در ضمن با بررسی جداگانه نتایج حاصل از هریک از بارگذاری‌ها می‌توان تأثیر هرکدام از بارگذاری‌ها را در جابه‌جایی و تشن‌های ایجاد شده در جسم مشاهده کرد.

همان طور که در پژوهش حاضر مشاهده گردید؛ اثر پیزوالکتریک سبب ایجاد رفتار غیرخطی برای پتانسیل الکتریکی می‌گردد. اگر بارگذاری مکانیکی یا حرارتی در مجموعه غالب باشد نتایج بیشتر تحت تأثیر آن‌ها مشاهده می‌شود. نتیجه‌گیری کلی که از مطالعه و پژوهش در زمنیه‌ی مواد پیزوالکتریک حاصل می‌شود حاکی از آن است که مواد پیزوالکتریک با قرار گرفتن تحت میدان‌های

بالای دمایی یا الکتریکی و یا نیروی مکانیکی زیاد خاصیت پیزوالکتریک خود را از دست می‌دهند و در اصطلاح دی‌پلاریزه می‌شوند.

به‌طور خلاصه نتایجی که از این تحقیق به‌دست می‌آید به شرح زیر می‌باشد.

۱. در پوسته‌های کروی تحت فشار خالص، تنش شعاعی مستقل از خواص مکانیکی ماده می-

باشند. در صورتی که تنش محیطی و جابه‌جایی شعاعی وابسته به خواص مکانیکی هستند؛

۲. علی‌رغم اینکه در بارگذاری حرارتی به جسم مورد نظر حرارت داده می‌شود، ولی همان‌طور

که مشاهده می‌شود تنش‌های شعاعی ایجاد شده در جسم فشاری می‌باشند؛

۳. بررسی جداگانه هریک از بارگذاری‌های مکانیکی، حرارتی و الکتریکی حاکی از آن است که

تنش محیطی عموماً اثر غالب را دارد؛

۴. بارگذاری الکتریکی بدون درنظر گرفتن اثر پیزو در ماده، تأثیری در میدان جابه‌جایی ندارد؛

۵. نتایج به‌دست آمده از تحلیل کره‌ی پیزوالکتریک در هریک از بارگذاری‌های فشاری، حرارتی،

الکتریکی و دورانی نشان می‌دهد که سهم بارگذاری فشاری در تنش‌ها و جابه‌جایی شعاعی

ایجاد شده در جسم نسبت به بقیه‌ی بارگذاری‌های اعمال شده بر روی سازه بیشتر است؛

۶. در این مطالعه مشاهده شد که ثابت ناهمگنی  $n$  در مواد FGP پارامتر بسیار تأثیرگذار از

دیدگاه طراحی است که می‌توان با استفاده از آن، توزیع تنش با جابه‌جایی را در راستای

جداره، بهینه کرد به طوری که تغییرات تنش یا جابه‌جایی به کمترین مقدار ممکن برسد؛

۷. طبق پژوهش انجام‌شده بر روی کره‌ی پیزوالکتریک این نتیجه حاصل می‌شود که با اعمال

مناسب بارهای مکانیکی، حرارتی و الکتریکی می‌توان توزیع تنش، جابه‌جایی شعاعی را در

محدوده‌ی مورد نظر کنترل و ارزیابی کرد؛

۸. در بارگذاری دورانی میزان تغییرات جابه‌جایی نصف النهاری از تغییرات جابه‌جایی شعاعی

بیشتر است؛

### ۳-۵ پیشنهادها

با توجه به مطالعات انجام شده در این زمینه پیشنهادهای مختلفی را می‌توان ارائه نمود که برخی از این پیشنهادها به این شرح است.

۱. مطالعه و بررسی سازه‌های با اشکال هندسی مختلف مانند استوانه با ضخامت متغیر،

مخروط، ورق و تیر تحت بارگذاری‌های مختلف؛

۲. تحلیل الکتروترموmekanیکی کره‌های FGPM با تغییر خواص ماده به صورت تابع نمایی و

مقایسه‌ی نتایج آن با پژوهش حاضر؛

۳. تحلیل کره‌های FGM تحت فشار غیر یکنواخت متغیر با زمان ( $p=p(r,t)$ )؛

۴. تحلیل الکتروترموmekanیکی کره‌های ناهمگن با استفاده از نظریه‌ی تغییر شکل برشی

مرتبه‌ی اول؛

۵. تحلیل کره‌های FGM تحت انتقال حرارت گذرا ( $\Theta = \Theta(r,t)$ )؛

## مراجع

- [1] Ventsel E., Krauthammer T.; *Thin Plates and Shells: Theory, Analysis, and Applications*, Marcel Dekker, New York, 2001.
- [2] Ugural A.C.; *Stresses in Plates and Shells*, McGraw-Hill, New York, 1981.
- [3] Ugural A.C., Fenster S.K.; *Advanced Strength and Applied Elasticity*, 4<sup>th</sup> ed., Prentice Hall, New Jersey, 2003.
- [4] Mirsky I., Hermann G.; *Axially motions of thick cylindrical shells*, J. Appl. Mech., Vol. 25, pp. 97-102, 1958.
- [5] Gautschi G.; *Piezoelectric Sensorics: Force, Strain, Pressure, Acceleration and Acoustic Emission Sensors, Materials and Amplifiers*, Springer, Berlin, 2002.
- [6] Holler F.J., Skoog D.A., Crouch S.R.; *Principles of Instrumental Analysis*, 6<sup>th</sup> ed., Cengage Learning, 2007.
- [7] Uchino K.; *Advanced piezoelectric materials: Science and technology*, Woodhead Publishing Limited, Cambridge, 2010.
- [8] Brown C.B., Goodman L.E.; *Gravitational stresses in accreted bodies, Proceedings of the Royal Society of London*, series A 276.
- [۹] قارونی ح؛ تحلیل ترمولاستیک استوانه‌های چرخان جدار کلفت FGM با تغییرات نمایی مدول الاستیسیته به کمک تئوری تغییر شکل برشی مرتبه‌ی اول، پایان‌نامه‌ی کارشناسی ارشد، دانشکده‌ی مهندسی مکانیک، دانشگاه صنعتی شاهرود، شاهرود، زمستان ۱۳۹۰.
- [10] Ghorbanpour Arani A., Kolahchi R., Mosallaie Barzoki A.A., Loghman A.; *Electro-thermo-mechanical behaviors of FGPM spheres using analytical method and ANSYS software*, Applied Mathematical Modeling, Vol. 36, pp. 139-157, 2012.
- [۱۱] قناد مهدی، رحیمی غلامحسین، اسماعیل‌زاده خادم سیامک؛ حل عمومی استوانه‌های جدار کلفت متقارن محوری از مواد ناهمگن FG بر مبنای تئوری الاستیسیته‌ی مستوی، مجله‌ی فنی و مهندسی مدرس، مکانیک، ش. ۳، صص. ۴۳-۳۱، پاییز ۱۳۸۹.
- [12] Eslami M.R., Babaei M.H., Poultangari R.; *Thermal and mechanical stresses in a FG thick sphere*, Journal of Pressure Vessels and Piping, Vol. 82, pp. 522-527, 2005.

[13] Tutuncu N.; *Stresses in Thick-Walled FGM Cylinders with Exponentially-Varying Properties*, Engineering Structures, 29, pp. 2032-2035, 2007.

[۱۴] ی. بیات، م. قناد، م. بوژمهرانی؛ تحلیل تئوری و عددی کره‌های جدار پختگی تحت فشار از مواد ناهمگن، نوزدهمین همایش سالانه مهندسی مکانیک ایران، دانشگاه بیرجند، بیرجند، ۲۰-۲۲، اردیبهشت، ۱۳۹۰.

[15] Bayat Y., Ghannad M.; *General Solution of Rotating Thick walled spheres under Thermal and Pressure loading*, The 11<sup>th</sup> Iranian Aerospace Society Conference, Shahid Sattari Aeronautical University of Science and Technology, 2012.

[16] Ghannad M., Zamani-Nejad M.; *Complete closed-form Solution for Pressurized Heterogeneous thick spherical Shells*, Mechanika, 18(5), pp. 508-516, 2012.

[17] Bayat Y., Ghannad M., Torabi H.; *Analytical and numerical analysis for the FGM thick sphere under combined pressure and temperature loading*, Arch Appl Mech, 82, pp.229-242, 2012.

[18] Chen W.Q.; *Problems of radially polarized piezoelectric bodies*, International Journal. Solids structure, 33, pp. 4317-4332, 1998.

[19] Wang X., Zhong Z.; *the General Solution of Spherically Isotropic Magnetoelastic Media and Its Applications*, European Journal of Mechanics A/Solids, 22, pp. 953-969, 2003.

[20] Dai H.L., Wang X.; *Thermo-electro-elastic transient responses in piezoelectric hollow structures*, International Journal of Solids and Structures, 42, pp. 1151-1171, 2005.

[21] Dai H.L., Xiao X., Fu Y.M.; *Analytical Solutions of Stresses in Functionally Graded Piezoelectric Hollow Structures*, Solid State Communications, 150, pp. 763-767, 2010.

[22] Kar A., Kanoria M.; *Generalized thermoelastic functionally graded orthotropic hollow sphereunder thermal shock with three-phase-lag effect*, European Journal of Mechanics A/Solids, 29, pp. 757-767, 2009.

[23] Ghorbanpour Arani A., Mosallaie Barzoki A.A., Kolahchi R., Mozdianfar M.R., Loghman A.; *Semi-analytical solution of time-dependent electro-thermo-mechanical creep for radially polarized piezoelectric cylinder*, Computers and Structures, 89, pp. 1494-1502, 2011.

- [24] Rahimi G.H., Arefi M., Khoshgoftar M.J.; *Application and analysis of functionally graded piezoelectrical rotating cylinder as mechanical sensor subjected to pressure and thermal loads*, Applied Mathematics and Mechanics, 32(8), pp. 997-1008, 2011.
- [25] Ying CH., Zhi-fei SH.; *Analysis of functionally graded piezothermoelastic hollow cylinder*, Jornal of Zhejiang Univercity Science, 6(A)9, pp. 956-961, 2005.
- [26] Ghorbanpour Arani A., Jafari Fesharaki J., Mohammadimehr M., Golabi. S.; *Electro- magnet -thermo-mechanical Behaviors of a RadiallyPolarized FGPM Thick Hollow Sphere*, Journal of Solid Mechanics, 4, pp. 305-315, 2010.
- [27] Ghorbanpour Arani A., Kolahchi R., Mosallaie Barzoki A.A., Loghman A.; *Electro- thermo-mechanical behaviors of FGPM Spheres using analytical method and ANSYS software*, Applied Mathematical Modeling, 36, pp. 139-157, 2012.
- [28] Dai H.L., Jiang H.J., Yang L.; *Time-dependent behaviors of a FGPM hollow sphere under the the coupling of multi-fields*, Solid State Sciences, 14, pp. 587-597, 2012.

[۲۹] پرهیزکار یعقوبی م؛ تحلیل ترموموالاستیک استوانه‌های چرخان جدار خارجی FGM پیزوالکتریک به کمک نظریه‌ی تغییر شکل برشی مرتبه‌ی اول با توزیع توانی خواص، پایان‌نامه‌ی کارشناسی ارشد، دانشکده‌ی مهندسی مکانیک، دانشگاه صنعتی شاہرود، شاہرود، شهریور ۱۳۹۲.

[۳۰] م. پرهیزکار، م. قناد؛ تحلیل عددی استوانه‌ی FGM دارای گشودگی از نوع دایروی و مربعی، یازدهمین کنفرانس انجمن هوافضای ایران، دانشگاه علوم و فنون هوایی شهید ستاری، تهران، ۱۳۹۰-۱۳۹۱ اسفند.

[31] Yang J.; *the Mechanics of Piezoelectric Structures*, World Scientific Publishing, Singapore, 2006.

[32] Ansys Co.; *Coupled-Field Analysis Guide*, ANSYS Inc., USA, 2009.

[33] Reddy J.N.; *an Introduction to Continuum Mechanics: With Applications*, ambridge University Press, New York, 2008.

[۳۴] رحیمیان م. اسکندری قادری م؛ *مکانیک محیط‌های پیوسته*، دانشگاه تهران، تهران، ۱۳۸۷.



## **Abstract**

In this research, the governing equation of heterogeneous axisymmetric thick-walled piezoelectric sphere subjected to electrical, thermal and mechanical loading based on the plane elasticity theory is presented. The material properties are assumed to vary nonlinearly in the radial direction. The temperature distribution is assumed to be a function of radius. Using FEM simulations, the analytical findings for FGPM spheres under the influence of internal pressure, electric gradient and electro-thermo-mechanical loads were compared to finite element results. It was observed that the two methods results are in good agreement. It is concluded that by changing the value of  $n_i$ , the stresses and displacement distribution of FGM can be so modified that the lowest stress levels are reached.

**Key words:** Hollow sphere, FGPM, Plane elasticity theory, FEM, Rotational sphere.



**University of Shahrood**  
**Mechanical Engineering Faculty**

**Thermoelastic analysis of heterogeneous rotating  
thick-walled sphere using plane elasticity theory  
with power-varying properties**

Foad Savari

**Superviser:**

Dr. Mehdi Ghannad

February 2015